

รายงานวิจัยฉบับสมบูรณ์

โครงการ

ผลของการเดิมແທໄອອอนที่ມีต่อสมบัติของสารເຟຣີໂຣອີເລືກຕຣິກ
ບິສມັສໂຊເດີມຕິຕານີຕ່ເຊຣາມິກ
Effects of Cation Substitutions on the Properties of Ferroelectric
Bismuth Sodium Titanate (BNT) - Based Ceramics

ลิขสิทธิ์มหาวิทยาลัยเชียงใหม่
Copyright © by Chiang Mai University
All rights reserved

สนับสนุนโดยสำนักงานคณะกรรมการการอุดมศึกษา และสำนักงานกองทุนสนับสนุนการวิจัย

(ความเห็นในรายงานนี้เป็นของผู้วิจัย สาขาวิชา และสาขาวิชาระหว่างสาขาวิชา ไม่จำเป็นต้องเห็นด้วยเสมอไป)

กิตติกรรมประกาศ

ผู้วิจัยได้รับมอบหมายให้ดำเนินการวิจัยในหัวข้อ “การพัฒนาคุณภาพนักศึกษาในมหาวิทยาลัยเชียงใหม่” ของอาจารย์ดร. อนุชา วัชระภาสร ประจำปี พ.ศ. 2547 ในการทำงานวิจัยนี้ ผู้วิจัยได้รับสนับสนุนการวิจัย (สกอ.) สำหรับงบประมาณสนับสนุนทั้งหมดจากทุนพัฒนาศักยภาพ

ขอขอบพระคุณ ศาสตราจารย์เกียรติคุณ ดร. ทวี ตันตระศิริ ในฐานะนักวิจัยที่ปรึกษา ผู้ได้ให้คำแนะนำที่เป็นประโยชน์อย่างยิ่งต่อผู้วิจัย ทั้งด้านแนวความคิดในการทำงานวิจัยและจริยธรรมในการเป็นนักวิจัยที่ดีและมีคุณภาพ จนทำให้งานวิจัยขึ้นนี้สำเร็จลุล่วงไปได้ด้วยดี และทำให้ผู้วิจัยได้เรียนรู้ประสบการณ์อันมีค่า และมีความมั่นใจที่จะวางแผนเพื่อทำวิจัยอื่นๆต่อไป

ขอขอบคุณคณะวิทยาศาสตร์ และภาควิชาฟิสิกส์ คณะวิทยาศาสตร์ มหาวิทยาลัยเชียงใหม่ สำหรับสถานที่ ครุภัณฑ์ และอุปกรณ์เครื่องมือที่ใช้ในการทำการวิจัย และขอขอบคุณนักศึกษาทั้งระดับปริญญาตรีและโท คณาจารย์ เจ้าหน้าที่ ข้าราชการและพนักงานมหาวิทยาลัย ประจำภาควิชาฟิสิกส์ทุกท่านที่ได้ให้ความช่วยเหลือジャンวนิจัยนี้สำเร็จลุล่วงไปได้

สุดท้ายนี้ ขอขอบพระคุณครอบครัวของผู้วิจัย เพื่อร่วมงานและเจ้าหน้าที่ทุกท่าน ณ หน่วยวิจัยอิเล็กโทรเคมีก ภาควิชาฟิสิกส์ คณะวิทยาศาสตร์ มหาวิทยาลัยเชียงใหม่ ที่ได้ส่งเสริมสนับสนุนและเป็นกำลังใจตลอดมา หาก有任何งานวิจัยฉบับนี้มีสิ่งใดขาดตกบกพร่อง ผู้วิจัยต้องขออภัยเป็นอย่างสูง และหวังว่ารายงานวิจัยฉบับนี้จะเป็นประโยชน์สำหรับผู้ที่สนใจในงานด้านนี้ต่อไปตามสมควร

จัดทำโดย อาจารย์ ดร. อนุชา วัชระภาสร
Copyright © by Chiang Mai University
All rights reserved

บทคัดย่อ

รหัสโครงการ: MRG4780073
ชื่อโครงการ: ผลงานการเติมแคมท์ไอ้อนที่มีต่อสมบัติของสารเฟริ่โรอิเล็คตริกบิสมัลโซเดียมติตาเนตที่
ชื่อนักวิจัย: อาจารย์ ดร. อุนชา วัชระภาสร มหาวิทยาลัยเชียงใหม่
E-mail address: anucha@stanfordalumni.org
ระยะเวลาโครงการ: 2 ปี

งานวิจัยนี้ มีจุดประสงค์เพื่อต้องการศึกษาสมบัติของเซรามิกบิสมัลโซเดียมติตาเนตที่
ถูกเจือด้วยแคมท์ไอ้อนประภาคต่างๆ เช่น เชอร์โคเนียม หังสเดนและไดสโปรสเซียมเป็นต้น
โดยการศึกษาจะเริ่มตั้งแต่วิธีการเตรียมผงให้ได้ผงที่มีความบริสุทธิ์สูงทั้งในกรณีที่มีสารเจือและ
ไม่มีสารเจือ จากนั้นจึงนำผงไปอัดเป็นเม็ดเซรามิกที่อุณหภูมิต่างๆ กันเพื่อศึกษาผลของอุณหภูมิ
ที่มีต่อการแน่นตัวและลักษณะของเซรามิกที่ได้ จากนั้นจึงนำเซรามิกไปตรวจสอบโครงสร้าง
จุลภาคและสมบัติทางไดอิเล็คทริกเพื่อนำมาเปรียบเทียบกัน ระหว่างไอ้อนชนิดต่างๆ ที่เดิมลง
ไปและเปรียบเทียบกับระบบอื่นๆ ที่ได้มีผู้วิจัยไว้แล้ว

จากการวิจัยพบว่าการเติมเซอร์โคเนียมออกไซด์และหังสเดโนอกไซด์ลงในบิสมัลโซเดียมติตาเนต ทำให้ขนาดเกรณของเซรามิกโตขึ้นเล็กน้อยในขณะที่การเติมไดสโปรสเซียมออกไซด์ทำให้เกรณมีขนาดเล็กลง ดูเหมือนว่าการแทนที่ของไอ้อนในตำแหน่ง B จะให้ผลในแบบของโครงสร้างจุลภาคที่ตรงข้ามกับการแทนที่ไอ้อนในตำแหน่ง A สำหรับสมบัติเชิงกลดูเหมือนว่าการเติม สารเจือลงไปไม่ทำให้สมบัติเปลี่ยนมากนักถึงแม้ว่าโดยรวมจะสมบัติเดิมขึ้นเมื่อเทียบกับบิสมัลโซเดียมติตาเนตบริสุทธิ์ อย่างไรก็ตาม ในเบื้องต้นสมบัติไดอิเล็คทริก การแทนที่ด้วยไอ้อน เชอร์โคเนียมทำให้เกิดพีคที่อุณหภูมิต่ำในการฟรากะว่างค่าคงที่ไดอิเล็คทริกกับอุณหภูมิ และทำให้ลักษณะของกราฟมีความกว้างเพิ่มขึ้นแทนที่จะเป็นพีค สำหรับไอ้อนหังสเดนจะสังเกตเห็นเพียง พีคที่อุณหภูมิต่ำโดยที่ค่าของค่าคงที่ไดอิเล็คทริกไม่ต่างกันกับชิ้นงานที่ไม่มีสารเจือ ในบิสมัลโซเดียมติตาเนตเจือด้วยไดสโปรสเซียมในปริมาณต่ำ ทำให้ค่าคงที่ไดอิเล็คทริกมีค่าสูงกว่าในชิ้นงานอื่นๆ เมื่อเดิมลงไปในปริมาณสูงขึ้น พบว่าค่าคงที่ไดอิเล็คทริกมีค่าเสถียรและไม่ขึ้นอยู่กับอุณหภูมิและความถี่ ดูเหมือนว่าการเจือด้วยไดสโปรสเซียมลงในบิสมัลโซเดียมติตาเนต อาจนำไปสู่การทำวัสดุไดอิเล็คทริกที่มีค่าคงที่ไดอิเล็คทริกที่มีความเสถียรสูงในช่วงอุณหภูมิและความถี่ที่กว้าง ถ้าหากทำให้ค่าคงที่ไดอิเล็คทริกสูงขึ้นได้

คำหลัก: บิสมัลโซเดียมติตาเนต เฟริ่โรอิเล็คทริก ไดอิเล็คทริก

Abstract

Project Code:	MRG4780073
Project Title:	Effects of Cation Substitutions on the Properties of Ferroelectric Bismuth Sodium Titanate (BNT)-Based Ceramics
Investigator:	Dr. Anucha Watcharapasorn Chiang Mai University
E-mail Address:	anucha@stanfordalumni.org
Project Period:	2 years

This research aims at a study of properties of bismuth sodium titanate ceramics which were doped with various ions such as zirconium, tungsten and dysprosium. The study begins with finding the optimum process for preparation of high-purity doped and undoped powders. The powders were then pressed into pellets which were sintered at various sintering temperatures to investigate the influence of temperature on densification and characteristics of the ceramics. Afterwards, the ceramics were then characterized for their microstructures and dielectric properties so that the results among different dopants and those found in literature could be compared.

The results from the research showed that addition of zirconium oxide and tungsten oxide into BNT caused a slight increase in grain size of the doped ceramics while the addition of dysprosium oxide caused a decrease in grain size. It seems that B-site substitution had the opposite effect on developed microstructure compared with A-site substitution. For mechanical properties, the effects were not large for the doped BNT ceramics although it seemed to be slightly better than pure BNT. However, in terms of dielectric properties, substitution with zirconium ion caused peaks at low temperature in dielectric constant-temperature curves with increasingly diffused transition. For tungsten ion, only low-temperature peaks were observed but the values were not different from undoped samples. In dysprosium-doped BNT, the dielectric constant at low doping showed higher values than the other doped and undoped samples. At higher dysprosium content, the dielectric constant became independent of temperature and frequency. The latter showed some promise for being utilized in devices that required high-stability of dielectric constant over a wide temperature and frequency range.

Keywords: bismuth sodium titanate, ferroelectric, dielectric

สารบัญ

กิตติกรรมประกาศ

บทคัดย่อภาษาไทย

บทคัดย่อภาษาอังกฤษ

บทที่ 1 บทนำ

1.1 ทีมและความสำเร็จ

1.2 วัตถุประสงค์

บทที่ 2 ทฤษฎีและวรรณกรรมปริทัศน์

2.1 สภาพเพียงชื่อเล็กตระกิ สภาพไฟโหรือเล็กตระก และสภาพไฟโหรือเล็กตระก

2.2 ตัวเก็บประจุและสมบัติได้อย่างตระกิ

2.3 สมบัติเชิงกลของวัสดุ

2.4 ผลของสารเจือที่มีต่อสมบัติของวัสดุไฟโหรือเล็กตระก

2.5 วัสดุบิสเมล์เดียมติดตาม

บทที่ 3 วิธีการทดลอง

3.1 การเตรียมผงบิสเมล์เดียมติดตาม

3.2 การเตรียมผงบิสเมล์เดียมติดตามที่มีสารเจือ

3.2.1 การเตรียมผงบิสเมล์เดียมติดตามที่มีสารเจือด้วยเซอร์โคเนียม

3.2.2 การเตรียมผงบิสเมล์เดียมติดตามที่มีสารเจือด้วยทังสเทน

3.2.3 การเตรียมผงบิสเมล์เดียมติดตามที่มีสารเจือด้วยไดส์ปอร์เชียม

3.3 การเตรียมเซรามิก

3.4 การวิเคราะห์สมบัติของเซรามิก

3.4.1 การวิเคราะห์เพลส

3.4.2 การวิเคราะห์สมบัติทางกายภาพ

3.4.3 การวิเคราะห์โครงสร้างทางเคมีภysis

3.4.4 การวัดสมบัติเชิงกล

3.4.5 การวัดสมบัติทางไดอิเล็กตระก

ก

ข

ค

1

1

2

3

3

7

12

15

16

20

20

20

20

20

21

22

22

22

22

22

23

23

23

23

บทที่ 4 ผลการทดลองและการวิเคราะห์ผล	24
4.1 บิสมัสโซเดียมติตาเนต	24
4.1.1 ผงบิสมัสโซเดียมติตาเนต	24
4.1.2 เซรามิกบิสมัสโซเดียมติตาเนต	24
4.2 บิสมัสโซเดียมติตาเนตเจือด้วยเซอร์โคเนียม	26
4.2.1 ผลจากการเตรียมผงบิสมัสโซเดียมติตาเนตที่เจือด้วยเซอร์โคเนียม	26
4.2.2 ผลจากการเตรียมเซรามิกบิสมัสโซเดียมติตาเนตที่เจือด้วยเซอร์โคเนียม	28
4.2.3 ผลการตรวจสอบสมบัติทางกายภาพของเซรามิก	34
4.2.4 ผลการตรวจสอบสมบัติเชิงกลของเซรามิก	36
4.2.4.1 การกดแบบวิกเกอร์	36
4.2.4.2 การกดแบบบูนป	42
4.2.4.3 ผลการหาค่ามอญลัสของยัง	47
4.2.4.4 ผลการหาค่าความหนาแน่นต่อรอยแยก	48
4.2.5 ผลการตรวจสอบสมบัติโดยเล็คตริกของเซรามิก	50
4.3 บิสมัสโซเดียมติตาเนตเจือด้วยทังสเทน	57
4.3.1 ผลจากการเตรียมผงบิสมัสโซเดียมติตาเนตที่เจือด้วยทังสเทน	57
4.3.2 ผลจากการเตรียมเซรามิกบิสมัสโซเดียมติตาเนตที่เจือด้วยทังสเทน	58
4.3.3 ผลการตรวจสอบสมบัติทางกายภาพของเซรามิก	65
4.3.4 ผลการตรวจสอบสมบัติเชิงกลของเซรามิก	65
4.3.5 ผลการตรวจสอบสมบัติโดยเล็คตริกของเซรามิก	67
4.4 บิสมัสโซเดียมติตาเนตเจือด้วยไดสโปรเซียม	73
4.4.1 ผลจากการเตรียมเซรามิกบิสมัสโซเดียมติตาเนตที่เจือด้วยไดสโปรเซียม	73
4.4.2 ผลการตรวจสอบโครงสร้างจุลภาคและสมบัติทางกายภาพของเซรามิก	74
4.4.3 ผลการตรวจสอบสมบัติโดยเล็คตริกของเซรามิก	76
บทที่ 5 สรุปผลการวิจัยและข้อเสนอแนะ	79
5.1 สรุปผลการวิจัย	79
5.2 ข้อเสนอแนะ	80
เอกสารอ้างอิง	81
Output จากโครงการวิจัยที่ได้รับทุนจาก สกอ. และ สกว.	83
ภาคผนวก	85

บทที่ 1

บทนำ

1.1 ที่มาและความสำคัญ

ในปัจจุบัน สารเฟรโรอิเล็กตทริก (ferroelectric) ซึ่งจัดอยู่ในกลุ่มสารที่มีคุณสมบัติทางเพี้ยโซอิเล็กตทริก (piezoelectric) มีความสำคัญต่อชีวิตมนุษย์ในหลายด้าน สารเหล่านี้ได้ถูกนำไปใช้ในอุปกรณ์หลายชนิด เช่น ตัวขับร้า (actuators) และตัวแปลง (transducers) เป็นต้น นอกจากนี้ สารจำพวกนี้ยังได้ถูกนำไปใช้สร้างเครื่องมือทางการแพทย์หลายชนิด เช่น อัลตราโซนิก มอเตอร์ (ultrasonic motors) ที่มีประสิทธิภาพในการทำงานนิ่ง และเครื่องตรวจวัดอัลตราซาวน์ เป็นต้น นอกจากอุปกรณ์เหล่านี้แล้ว สารเฟรโรอิเล็กตทริกก็เริ่มจะมีบทบาทในชีวิตประจำวันของมนุษย์เพิ่มมากขึ้น โดยเฉพาะในด้านที่เกี่ยวกับสุขภาพฯ

แต่เนื่องจากสารส่วนใหญ่ที่ใช้ในปัจจุบันประกอบไปด้วยธาตุตะกั่วเป็นสำคัญ จึงทำให้เกิดปัญหาเรื่องสารพิษต่อก้างอยู่ในสิ่งแวดล้อม ตั้งแต่ส่วนเหลือใช้ของสารตั้งต้น เช่น ออกไซเด茨ของตะกั่ว (PbO หรือ Pb_3O_4) ในการผลิตสาร酇เซอร์โคเนตติตาเนต (PZT) หรือ酇แลนทานัมเซอร์โคเนตติตาเนต (PLZT) จนถึงการนำกลับมาใช้ใหม่ (recycling) และการกำจัดของหลังจากที่อุปกรณ์ต่างๆหมดอายุการใช้งาน นอกจากนี้ การใช้อุปกรณ์ทางการแพทย์จะต้องคำนึงถึงว่าสารเฟรโรอิเล็กตทริกนี้ จะต้องเข้ากันได้และไม่ทำปฏิกิริยากับส่วนใดส่วนหนึ่งของร่างกาย มนุษย์ (biocompatible) เนื่องจากปัญหาดังกล่าว จึงจำเป็นที่จะต้องหาสารเฟรโรอิเล็กตทริกที่ไม่มีสารตะกั่วเป็นส่วนผสมและมีคุณสมบัติใกล้เคียงกับสารที่ใช้อยู่ในปัจจุบัน

ถึงแม้ว่าในขณะนี้ จะมีการค้นพบสารเฟรโรอิเล็กตทริกที่ไม่มีตะกั่วเป็นส่วนผสมอยู่เป็นจำนวนไม่น้อย ยกตัวอย่างเช่น $BaTiO_3$, $LiNbO_3$ และ $Bi_4Ti_3O_{12}$ เป็นต้น แต่จากการศึกษางานวิจัยของกลุ่มวิจัยต่างๆพบว่า เมื่อเปรียบเทียบสมบัติทางเพี้ยโซอิเล็กตทริกของสารเหล่านี้กับสารประกอบ PLZT แล้ว สารเหล่านี้ยังมีคุณสมบัติไม่ดีพอที่จะนำไปใช้งานได้ อย่างไรก็ตาม มีการพบว่าสารประกอบ บิสมัลโซเดียมติตาเนต ($Bi_{0.5}Na_{0.5}TiO_3$ หรือ BNT มีคุณสมบัติทางเฟรโรอิเล็กตทริก ที่อาจจะทำให้ได้รึน์ได้โดยการเติมสารชนิดอื่นที่เรียกว่า สารดีอ (dopant) ลงไปในลattice (Lattice) ของวัสดุเพื่อเปลี่ยนสมบัติของสารนี้

ในสิบกว่าปีที่ผ่านมา ได้มีการศึกษาผลของการเติม dopant ลงในสาร BNT เซรามิก แต่ส่วนใหญ่จะเป็นการศึกษาแบบสุม ซึ่งลักษณะของผลของการทดลองที่ได้จะมีลักษณะแตกต่างกันออกไปตามชนิดของสารที่เติม ซึ่งทำให้การวิเคราะห์ผลไม่มีความต่อเนื่อง นอกจากนี้

การรายงานผลจากแต่ละกลุ่มวิจัยยังไม่สมบูรณ์นัก ยกตัวอย่างเช่น ใน BNT-based เซรามิก บางตัวก็ไม่มีการนำเสนอค่าทางเพียวโไฮเดคตริก ที่จำเป็นต้องใช้ในการเปรียบเทียบสมบัติของสารต่างๆ เพื่อที่จะสามารถคัดเลือก dopant ที่เหมาะสมและนำมาปรับปรุงให้ BNT เซรามิก มีสมบัติที่ดีขึ้น นอกจากนี้ การวิจัยในเรื่องชนิดของ dopant รวมไปถึงวิธีการสังเคราะห์สาร (materials synthesis) ลักษณะทางโครงสร้างทางจุลภาค (microstructures) และบทบาทของสิ่งปนเปื้อน (impurities) ที่จะมีผลอย่างมากต่อสมบัติทางเพริโอและเพียวโไฮเดคตริกของสารชนิดนี้ยังไม่เป็นที่แพร่หลายนัก ซึ่งข้อมูลเหล่านี้สามารถนำไปเป็นตัว旁ชี้ถึงองค์ประกอบของ dopant ที่เหมาะสมที่สุด เพื่อที่จะทำให้ BNT-based เซรามิก สามารถเข้ามาแทนที่สารเพียวโไฮเดคตริกที่มีตะกั่วเป็นองค์ประกอบ เช่น PLZT และเลดเมกนีเซียมไนโอดิบัต (PMN) หรือเลดเมกนีเซียมไนโอดิบัตแล็ตติตาเนต (PMN-PT)

1.2 วัสดุประสงค์

การทำวิจัยนี้ จุดประสงค์หลักคือเพื่อศึกษาวิธีการเตรียมผง BNT และ BNT ที่มีสารเจือที่มีความบริสุทธิ์สูงโดยใช้วิธีการทำปฏิกิริยาระหว่างผงผสมของสารตั้งต้น จากนั้นเจิงหาลักษณะทางกายภาพและองค์ประกอบทางเคมีของผงที่เตรียมได้ และในการทำเซรามิกจะหาตัวแปรต่างๆ ที่มีผลต่อการแปรนตัวของเซรามิก เช่น อุณหภูมิ เป็นต้น หลังจากนั้น จึงทำการวิเคราะห์โครงสร้างจุลภาค องค์ประกอบทางเคมีและสมบัติทางไดอิเลคตริก เพื่อศึกษาผลของสารเจือชนิดต่างๆที่มีต่อสมบัติดังกล่าว

ลิขสิทธิ์มหาวิทยาลัยเชียงใหม่
Copyright[©] by Chiang Mai University
All rights reserved

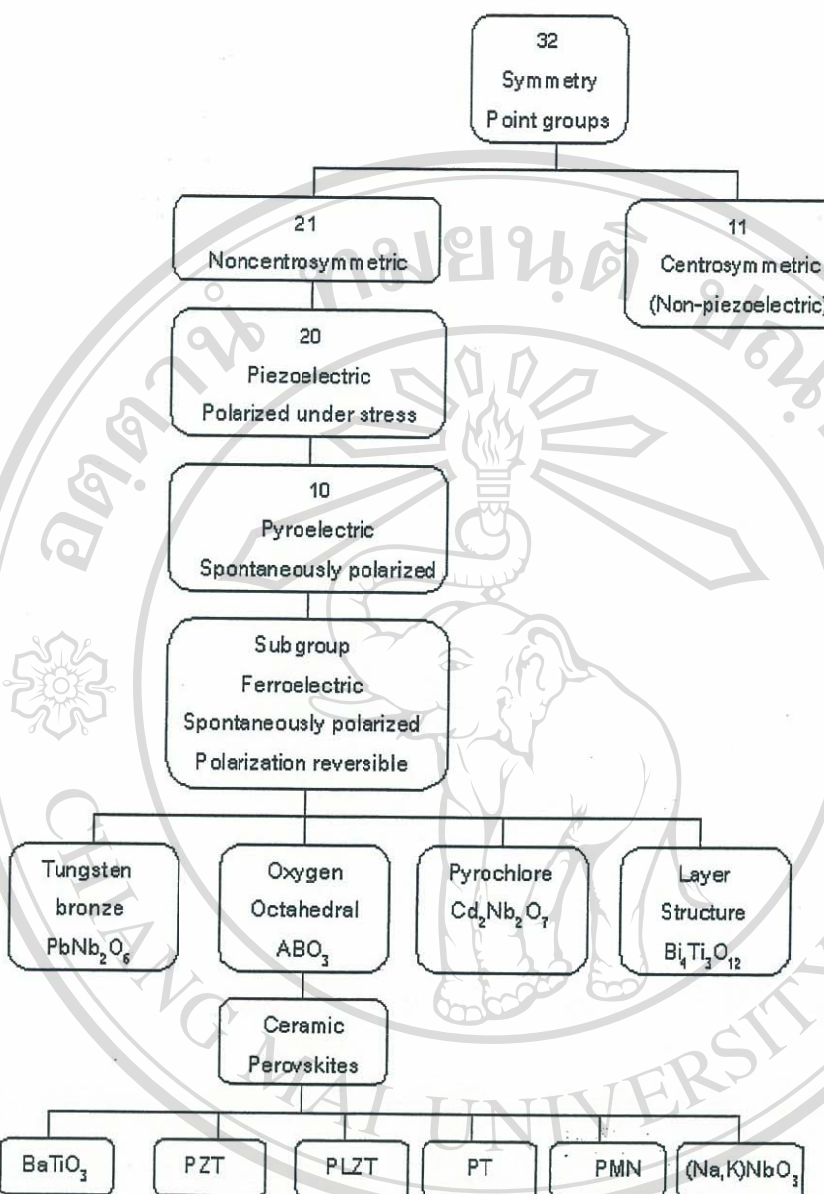
บทที่ 2

ทฤษฎีและวรรณกรรมปริทัศน์

2.1 สภาพเพียโซอิเล็กตทริก สภาพไฟโรอิเล็กตทริกและสภาพเฟรโรอิเล็กตทริก

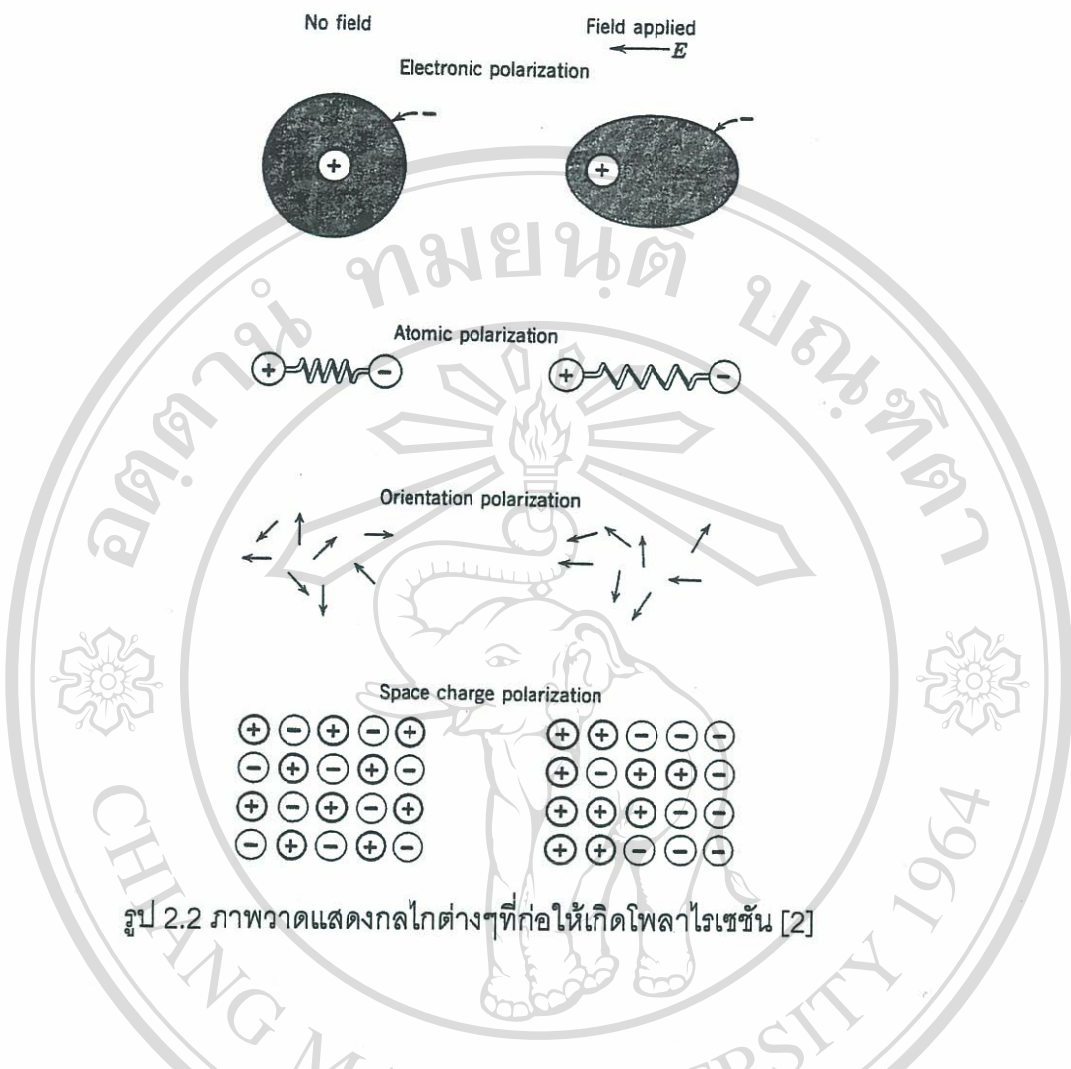
สภาพเพียโซอิเล็กตทริก (Piezoelectricity) สภาพไฟโรอิเล็กตทริก (Pyroelectricity) และสภาพเฟรโรอิเล็กตทริก (Ferroelectricity) จัดเป็นสมบัติทางไฟฟ้าของวัสดุจำพวกหนึ่งที่มีโครงสร้างผลึกแบบ Noncentrosymmetric (ดูรูป 2.1) โดยวัสดุที่มีสมบัติทางเฟรโรอิเล็กตทริกจะเป็นกลุ่มย่อยที่อยู่ภายใต้วัสดุที่สามารถแสดงความเป็นเพียโซอิเล็กตทริกได้ อาจจะกล่าวได้อีกแห่งหนึ่งว่า วัสดุเฟรโรอิเล็กตทริกทุกตัวสามารถแสดงสมบัติเพียโซอิเล็กตทริก แต่วัสดุเพียโซอิเล็กตทริกบางตัวอาจจะไม่มีสภาพเฟรโรอิเล็กตทริก ดังนั้น จาก การพิจารณาในเรื่องของความสมมาตร (Symmetry) ในจำนวนกลุ่มจุด (Point group) ทั้งหมด 32 กลุ่มแล้ว จะมีอยู่ 20 กลุ่มที่มีสภาพเพียโซอิเล็กตทริก และมีอยู่ 10 กลุ่มที่มีสภาพเป็นไฟโรอิเล็กตทริก ส่วนกลุ่มที่มีสภาพเฟรโรอิเล็กตทริกจะอยู่ภายใต้กลุ่มไฟโรอิเล็กตทริกอีกทีหนึ่ง

ุดกำเนิดของสภาพทางไฟฟ้าทั้งสามชนิดมาจากการเกิดโพลาไรเซชัน (Polarization) ภายในวัสดุนั้น โดยสามารถเกิดขึ้นได้จากหลายสาเหตุดังแสดงไว้ในรูป 2.2 กลไกแรกคือ Electronic polarization ที่เกิดจากการเคลื่อนตำแหน่งของกลุ่มหมอกอิเล็กตรอนเทียบกับตำแหน่งของนิวเคลียสภายใต้สนามไฟฟ้า กลไกที่สองเป็นการเลื่อนตำแหน่งของไอออนบวกและลบ จึงเรียกว่า Atomic หรือ Ionic polarization กลไกที่สามที่มักจะไม่ค่อยพบในเชิงมหภาคคือ Orientation polarization โดยที่ข้าไฟฟ้าถาวร (Permanent dipole moment) เกิดจากประจุบวกและลบที่ไม่สมดุลกันภายในโมเลกุลหรือไอออนซับช้อน (Complex ion) และภายใต้สนามไฟฟ้าข้าไฟฟ้าถาวรเหล่านี้จะเรียงตัวไปในทิศทางเดียวกันกับทิศของสนามไฟฟ้า กลไกในการเกิดโพลาไรเซชันอย่างที่สีเกิดจากประจุเคลื่อนที่ (Mobile charges) ที่มีอยู่ภายใต้วัสดุแต่เนื่องจากภาครเคลื่อนที่ของประจุดังกล่าวถูกขัดขวางจากรอยต่อ (Interfaces) ภายในวัสดุทำให้มีความสามารถเคลื่อนที่ไปยังผิวและพยายามออกตรงอิเล็กโทรด (Electrodes) ได้ จึงถูกกักไว้ในตัววัสดุนั้น และเมื่อมีสนามไฟฟ้ามีการกระทำจึงส่งผลให้วัสดุนั้นมีความจุไฟฟ้า (Capacitance) เพิ่มขึ้น เมื่อดูจากวงจรภายนอก สำหรับความสามารถในการเกิดโพลาไรเซชัน (Polarizability) ของแต่ละกลไกสามารถตรวจได้จากการให้สนามไฟฟ้ากระแสนสัมพันธ์ระหว่าง Polarizability และความถี่ของสนามไฟฟ้าจะมีลักษณะคล้ายกับดังในรูป 2.3

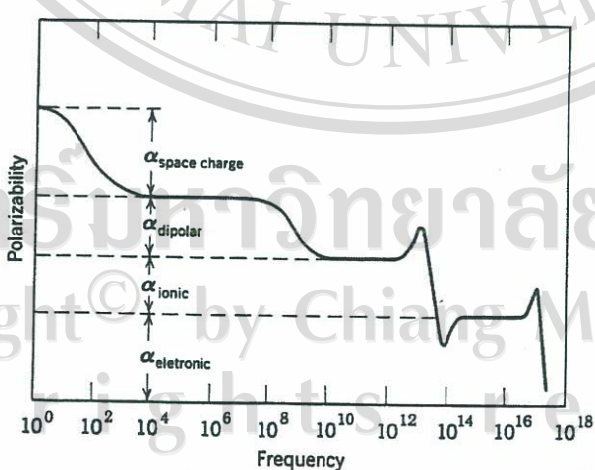


รูป 2.1 ตารางแสดงความสัมพันธ์ระหว่างกลุ่มวัสดุที่มีโครงสร้างผลึกหรือ Point group เป็นแบบ Noncentrosymmetry และกลุ่มย่อยที่สามารถแสดงความเป็นเพี้ยโซอิเลคตريك ไฟโรอิเลคตريكและเฟรโรอิเลคตريك [1]

Copyright[©] by Chiang Mai University
All rights reserved



รูป 2.2 ภาพวิเคราะห์แสดงกลไกต่างๆที่ก่อให้เกิดโพลาไรเซชัน [2]



รูป 2.3 กราฟแสดงความสัมพันธ์ระหว่าง Polarizability และความถี่ของสนามไฟฟ้า [2]

จากการพิจารณาการเกิดโพลาไรเซชันและลักษณะสมมาตรของผลึก สภาพเพียงโซ่อิเล็กตريكในวัสดุจะเกิดจากการเลื่อนตำแหน่งของไอออนบวกและไอออนลบ เนื่องจากแรงกระทำภายในออก เช่น สนามไฟฟ้า (Electric field) หรือแรงกล (Mechanical force) เป็นต้น สำหรับสภาพเพียงโซ่อิเล็กตريكเป็นปรากฏการณ์ที่ย้อนกลับได้ (Reversible process) นั่นคือ เมื่อให้สนามไฟฟ้าแก่วัสดุเพียงโซ่อิเล็กตريك วัสดุนั้นสามารถยึดหรือหลุดตัวได้ จะเรียกว่าเป็นผลกลับ (Converse effect) และเมื่อให้แรงแก่าวัสดุนั้น จะเกิดการสะสมของประจุบวกและลบบนผิวของวัสดุ ทำให้วัสดุนั้นมีลักษณะคล้ายๆกับแบบเดอร์ หรือว่าเป็นผลโดยตรง (Direct effect) ของปรากฏการณ์นี้ ส่วนผิดต้านให้ของวัสดุจะมีประจุบวกหรือลบ ขึ้นอยู่กับว่าแรงเค้นที่ให้กับวัสดุเป็นแบบแรงเค้นดึง (Tensile stress) หรือแรงเค้นอัด (Compressive stress) สำหรับวัสดุเพียงโซ่อิเล็กตريكที่ไม่ใช่เฟรโรอิเล็กต릭 เมื่อไม่มีแรงกระทำต่อวัสดุ ค่าโพลาไรเซชันจะเป็นศูนย์

วัสดุจำพวกไฟโรโซ่อิเล็กตريكและเฟรโรโซ่อิเล็กตريكนั้น จะเป็นวัสดุเพียงโซ่อิเล็กตريكที่มี Spontaneous polarization เกิดขึ้นภายในวัสดุ นั่นคือ ข้าไฟฟ้า (Electric dipoles) มีการจัดเรียงตัวไปในทิศทางเดียวกันถึงแม้ว่าจะไม่มีสนามไฟฟ้ามากระทำก็ตาม ทั้งนี้เนื่องจากข้าไฟฟ้าที่เกิดขึ้นภายในวัสดุสามารถส่งแรงที่มีขนาดสูงพอ ที่จะทำให้ข้าไฟฟ้าที่อยู่ใกล้เคียงจัดเรียงตัวไปในทิศเดียวกันได้ และในวัสดุเหล่านี้เมื่ออุณหภูมิเปลี่ยน จะเกิดการเปลี่ยนแปลง ของ Spontaneous polarization และทำให้ค่าประจุบวกและลบที่เกิดขึ้นบนผิวของวัสดุเปลี่ยนไปด้วย ส่วนวัสดุที่เรียกว่าเฟรโรโซ่อิเล็กตริกนั้นจะจำกัดอยู่เฉพาะในกรณีที่ Spontaneous polarization ของวัสดุสามารถกลับทิศ (Reversed) โดยการให้สนามไฟฟ้าเข้าไปได้ โดยที่สนามไฟฟ้านั้นจะต้องมีค่าไม่สูงไปกว่าค่า Dielectric breakdown ซึ่งเป็นค่าสนามไฟฟ้าสูงสุดก่อนที่วัสดุนั้นจะถูกยิงเป็นตัวนำไฟฟ้า (Electrical conductor) สำหรับคำว่าไดอิเล็กต릭 (Dielectrics) นั้นเป็นคำใช้เรียกวัสดุที่ไม่นำไฟฟ้า (Non-conducting)

การใช้งานของวัสดุเฟรโรโซ่อิเล็กตريكในงานที่เกี่ยวข้องกับสภาพเพียงโซ่อิเล็กตريكจะอาศัยข้าไฟฟ้าที่เกิดขึ้นภายในตัววัสดุเป็นสำคัญ ในวัสดุที่เป็นผลึกเดียว (Single crystal) ที่มีเกรนเดียว และมีข้าไฟฟ้าที่เรียงตัวในทิศเดียวกันทั้งหมดหรือที่เรียกว่า Single domain จะถือว่าวัสดุดังกล่าวให้ค่าทางเพียงโซ่อิเล็กตريكและไดอิเล็กตريكที่ดีที่สุด แต่เนื่องจากการสร้างผลึกเดียวต้องอาศัยเทคโนโลยีที่ค่อนข้างสูงและเวลาค่อนข้างนาน ในปัจจุบัน วัสดุเฟรโรโซ่อิเล็กตريكส่วนมากจึงมีลักษณะเป็นเซรามิก นั่นคือเกิดจากการอัดผงให้แน่นแล้วเผาที่อุณหภูมิสูงเพื่อให้ได้ความหนาแน่นใกล้เคียงกับผลึกเดียวมากที่สุด แต่ผลลัพธ์ที่ได้จากการเผาคือวัสดุที่มีหลายเกรนและถึงแม้ว่าเตลละเอกรนจะมีข้าไฟฟ้าทิศทางเดียวแต่ในเกรนอื่นจะมีข้าไฟฟ้าที่หันข้าไปในทิศทางต่างๆกัน ทำให้มี

สามารถใช้งานเซรามิกดังกล่าวได้ ดังนั้น ในปัจจุบันก่อนนำไปใช้งาน เซรามิกจึงต้องผ่านกระบวนการที่เรียกว่า Poling คือนำไฟผ่านสนามไฟฟ้ากระแสตรงเพื่อเหนี่ยวนำให้ช้าไฟฟ้าที่เรียงตัวกันในทิศทางต่างๆในหลายๆเกณฑ์ ให้หันไปในทิศทางเดียวกัน ซึ่งความสมบูรณ์ของ Poling ขึ้นอยู่กับโครงสร้างผลึกของวัสดุนั้น โดยมีค่าประมาณตั้งแต่ 83% ในเฟสเตตระgonol 86% ในเฟสรวมบิโอดราล จนถึง 91% ในเฟสօร์โกรัมบิก เมื่อเทียบกับความสมบูรณ์ของการ Poling ในผลึกเดียว

2.2 ตัวเก็บประจุและสมบัติไดอิเล็กทริก

ในปัจจุบัน วัสดุไฟฟ้าอิเล็กทริกหลายชนิดได้ถูกนำมาใช้ทำเป็นตัวเก็บประจุ (Capacitors) ในวงจรอิเล็กทรอนิกส์ในการทำงานที่ต่างๆ เช่น การบล็อกสัญญาณ การรวมหรือแยกสัญญาณ การแยกกระแสตรงและกระแสลับ การกรองและการเก็บพลังงานเพื่อใช้เป็นแบตเตอรี่ เป็นต้น ประสิทธิภาพของตัวเก็บประจุขึ้นอยู่กับค่าความจุไฟฟ้า (Capacitance, C) ที่มีสมการคือ

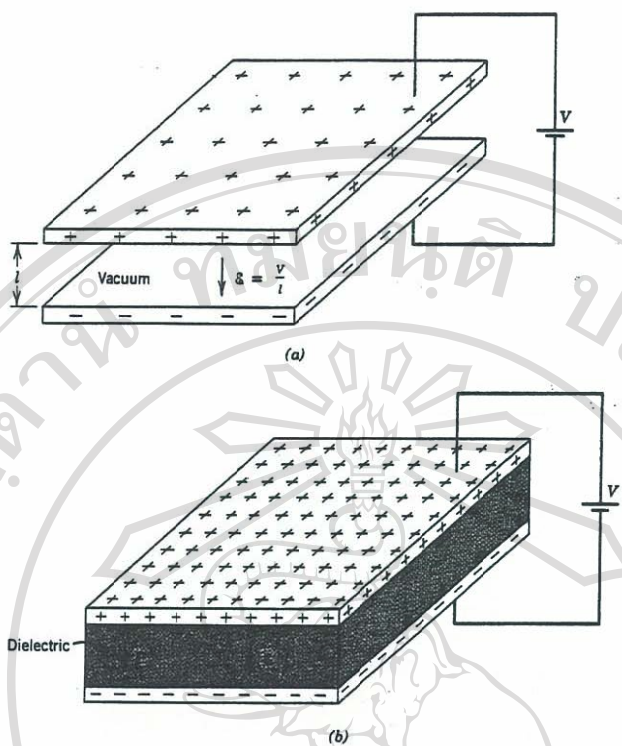
$$C = \frac{Q}{V} \quad (2-1)$$

โดย Q คือปริมาณประจุที่ถูกเก็บไว้และ V คือค่าความต่างศักย์ที่ให้แก่ตัวเก็บประจุ โดยหน่วยของค่าความจุไฟฟ้าคือ คูลอมบ์ต่อโวลต์ (Coulomb/Volt) หรือฟาร์ด (farad, F)

ในกรณีที่ตัวเก็บประจุเป็นแผ่นขนาดที่มีพื้นที่หน้าตัด A และหนา l (ดูรูป 2.4) เมื่อว่างແเน่นนี้ระหว่างอิเล็กโทรดจะให้ความต่างศักย์ V แก่ตัวเก็บประจุ ค่าความจุไฟฟ้า จะมีค่าเท่ากับ

$$C = \epsilon_0 \epsilon_r \frac{A}{l} \quad (2-2)$$

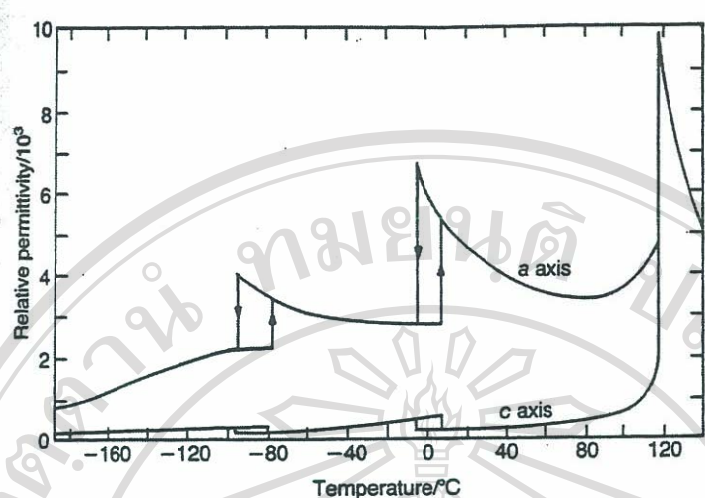
โดย $\epsilon_0 = 8.85 \times 10^{-12} F/m$ คือค่าสภาพย้อมของสูญญากาศ (Permittivity of a vacuum) ϵ_r คือสภาพย้อมสัมพัทธ์ (Relative permittivity) หรือค่าคงที่ไดอิเล็กทริก (Dielectric constant) ของวัสดุ จะเห็นว่าถ้าค่าคงที่ไดอิเล็กทริกมีค่าสูงจะทำให้วัสดุมีความสามารถในการเก็บประจุสูงด้วย



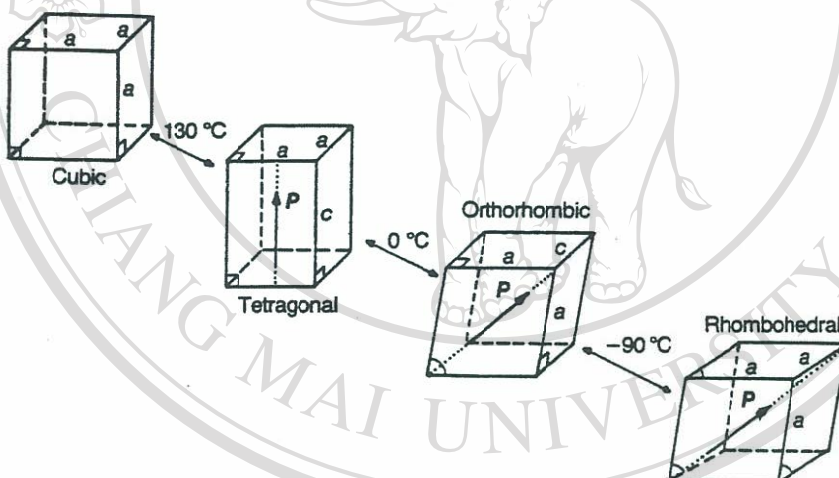
รูป 2.4 ภาพวาดแสดงตัวเก็บประจุแบบแผ่นนานา (a) สูญญากาศอยู่ระหว่างอิเล็กโทรด (b) วัสดุไดอิเลคทริกอยู่ระหว่างอิเล็กโทรด [3]

สำหรับวัสดุเพื่อไดอิเลคทริก นอกจากค่าคงที่ไดอิเลคทริกจะขึ้นกับความถี่ของสนามไฟฟ้าแล้ว (ดังในรูป 2.3) ยังขึ้นอยู่กับอุณหภูมิอีกด้วย ดังตัวอย่าง กราฟระหว่างค่าคงที่ไดอิเลคทริกและอุณหภูมิของเซรามิกแบบเรียมติตาเนต (BaTiO_3) ในรูป 2.5 แบบเรียมติตาเนตถือว่าเป็นวัสดุตัวแรกๆที่ในปัจจุบันยังถูกนำมาใช้ทำเป็นตัวเก็บประจุอยู่ จะเห็นว่าลักษณะของกราฟจะมีพีค (Peaks) ที่แบ่งกราฟออกเป็นสี่ช่วง ซึ่งแต่ละช่วงจะเทียบได้กับการเปลี่ยนโครงสร้างผลึกของแบบเรียมติตาเนต ดังแสดงในรูป 2.6

copyright © by Chiang Mai University
All rights reserved



รูป 2.5 กราฟแสดงค่าคงที่ไดอิเล็กตริกเทียบกับอุณหภูมิของผลึกเดียวแบบเรียมติตาเนต [4]



รูป 2.6 การเปลี่ยนโครงสร้างผลึกในผลึกเดียวแบบเรียมติตาเนตที่ช่วงอุณหภูมิต่างๆ [4]

จากการวัดค่า Spontaneous polarization ของผลึกเดียวแบบเรียมติตาเนตยังพบอีกว่าที่อุณหภูมิ 120°C แบบเรียมติตาเนตจะมีค่า Spontaneous polarization เป็นศูนย์ซึ่งเป็นอุณหภูมิเดียวกับที่โครงสร้างเปลี่ยนจากเตต拉ゴโนล (Tetragonal) เป็นคิวบิก (Cubic) ดังนั้น ที่อุณหภูมนี้จึงเป็นจุดที่วัสดุนี้เปลี่ยนสภาพจากเฟริโวิอิเล็กตริกเป็นพาราอิเล็กตริก (Paraelectric) และเรียกอุณหภูมนี้ว่า อุณหภูมิคูรี (Curie temperature, T_c) โดยความสัมพันธ์ระหว่างค่าคงที่ไดอิเล็กตริกและช่วงอุณหภูมิที่ใกล้กับอุณหภูมิคูรีนี้ จะมีลักษณะโดยประมาณเป็นไปตามกฎของคูรี-ไวซ์ (Curie-Weiss Law) ดังสมการ

$$\varepsilon_r = \frac{A}{T - \theta_c} \quad (2-3)$$

โดย A เป็นค่าคงที่สำหรับวัสดุชนิดหนึ่งๆ และ θ_c คืออุณหภูมิคู่วิป

ผลของความถี่ของสนามไฟฟ้าและอุณหภูมิที่มีต่อค่าคงที่ไดอิเล็คตริกนั้นไม่สามารถแยกออกจากกันได้อย่างชัดเจน สำหรับความถี่ที่ต่ำกว่า 10^{10} Hz จะไม่ส่งผลกระทบมากต่อ Electronic และ Ionic polarizations ที่ถือว่าเป็นกลไกหลักที่ส่งผลให้วัสดุมีค่าคงที่ไดอิเล็คตริกในเซรามิกมีค่าต่างกันไป ตามปกติการวัดค่าไดอิเล็คตริกจะวัดอยู่ในช่วงความถี่ระหว่าง 1 kHz ถึง 1 MHz ในกรณีเดียวกัน การเปลี่ยนแปลงอุณหภูมิไม่มีผลต่อค่าของโพลาไรซ์ชันทั้งสองชนิดนี้มากนัก อย่างไรก็ตาม ที่อุณหภูมิสูงขึ้น ไอโอนและจุดบกพร่อง (Imperfections) สามารถเคลื่อนที่ได้ดีขึ้น และสภาพนำไฟฟ้ากระแสตรง (DC Conductivity) มีค่าเพิ่มขึ้นอย่างรวดเร็ว ผลกระทบจากความสัมพันธ์เหล่านี้ ทำให้ค่าไดอิเล็คตริกที่ความถี่ต่ำมีค่าเพิ่มขึ้นเมื่ออุณหภูมิสูงขึ้น ซึ่งอาจกล่าวได้ว่า เป็นผลของ Ion jump orientation และ Space charge polarizations ที่เกิดจากปริมาณของ พาหะประจุ (Charged carriers) ที่เพิ่มขึ้น และเพื่อป้องกันผลของ Electrode polarization ที่ก่อให้เกิดการเพิ่มค่าของค่าคงที่ไดอิเล็คตริกอย่างผิดปกติ การวัดค่าดังกล่าวจึงต้องกระทำภายใต้ ความถี่ที่สูงกว่า 1 kHz ดังที่ได้กล่าวไปแล้ว

นอกจากค่าคงที่ไดอิเล็คตริกแล้ว สิ่งที่ต้องคำนึงถึงคือพลังงานที่สูญเสียในขณะที่ให้ความต่างศักย์ (หรือสนามไฟฟ้า) แก้วัสดุ ซึ่งค่าที่จะนำมาใช้เปรียบเทียบเรียกว่า Dielectric loss factor หรือค่าสูญเสียไดอิเล็คตริก ($\tan \delta$) ถึงแม้ว่าค่า Loss factor ในเซรามิกจะมีค่าต่ำกว่าวัสดุอื่น เช่น พลาสติก ก็ตาม แต่ในการนำเซรามิกนี้ไปใช้งานจริง ก็ต้องคำนึงถึงค่าสูญเสียไดอิเล็คตริกนี้ ด้วย สำหรับสมการที่เกี่ยวข้องกับค่า Loss factor นี้ สามารถเขียนให้อยู่ในรูปของสภาพนำไฟฟ้า (σ) ของวัสดุ และความถี่ (f) นั่นคือ

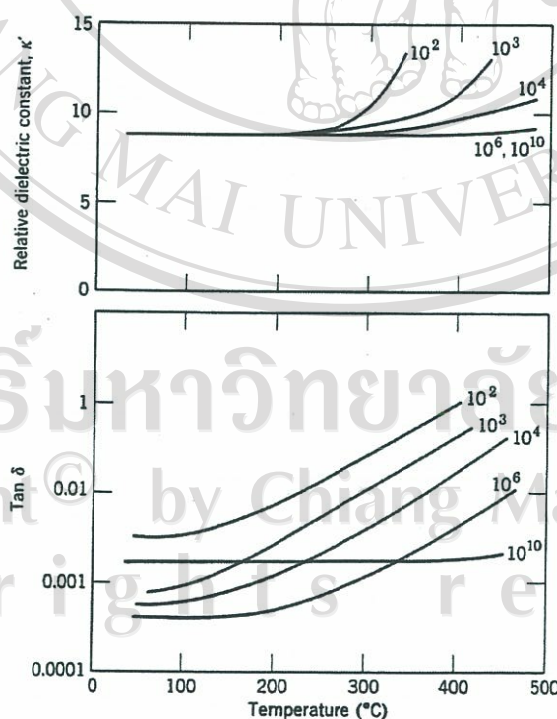
$$\tan \delta = \frac{\sigma}{2\pi f \varepsilon_r \varepsilon_0} \quad (2-4)$$

ค่าสูญเสียไดอิเล็คตริกที่วัดได้จากการทดลองส่วนมากจะมีค่าสูงกว่าที่คำนวณจากสมการ (2-4)

อย่างไรก็ตาม ก็สามารถที่ให้เห็นแนวโน้มได้ว่าค่าสูญเสียไดอิเล็คตริกจะมีค่าสูงขึ้น เมื่ออุณหภูมิสูงขึ้นและที่ความถี่ต่ำ

สาเหตุสำคัญที่ทำให้เกิดการสูญเสียพลังงานในวัสดุเฟริโอเล็กทริกเกิดจากสามกระบวนการ
การหลักคือ (1) การสูญเสียเนื่องจากการเคลื่อนที่ของไอออน (Ion migration losses) ซึ่งส่งผลให้
เกิด DC conductivity losses และ Ion jump and dipole relaxation losses (2) Ion vibration
และ deformation losses (3) Electron polarization losses ในบรรดาสาเหตุทั้งสามนี้ Electron
polarization losses ส่งผลให้เกิดการดูดซับ (Absorption) และการเกิดสีในช่วงของスペกตรัม
(Spectrum) ที่ตามองเห็น Ion vibration และ deformation losses มีผลกระทบที่สำคัญเฉพาะ
ความถี่ในช่วงอินฟราเรด (Infrared) แต่เมื่อมากไปในกรณีที่ความถี่ต่ำกว่า 10^{10} Hz ดังนั้น
ในการคำนึงถึงการใช้วัสดุเซรามิกเฟริโอเล็กทริก Ion migration losses จึงเป็นสาเหตุหลักและ
จะมีค่าสูงที่อุณหภูมิสูงและความถี่ต่ำ การศึกษาเพื่อหาวัสดุที่เหมาะสมในการใช้งาน จึงต้องหา
วัสดุที่ให้ค่าคงที่ไดอิเล็กทริกสูงในขณะเดียวกันต้องให้ค่าสูญเสียไดอิเล็กทริกต่ำด้วย

ลักษณะของภาพตัวอย่างที่แสดงความสัมพันธ์ระหว่างค่าคงที่ไดอิเล็กทริก ค่าสูญเสียได
อิเล็กทริก ความถี่และอุณหภูมิ ลูกแสดงในรูป 2.7 จะเห็นได้ว่าสำหรับวัสดุไดอิเล็กทริกทั่วไป ค่า
คงที่ไดอิเล็กทริกและค่าสูญเสียไดอิเล็กทริกจะมีค่าสูงขึ้นเมื่ออุณหภูมิสูงขึ้นและความถี่ลดลง อาจ
กล่าวได้ว่าขนาดของค่าไดอิเล็กทริกและค่าสูญเสียไดอิเล็กทริกมักจะเปลี่ยนไปในทิศทางเดียวกัน



รูป 2.7 กราฟแสดงความสัมพันธ์ระหว่างค่าคงที่ไดอิเล็กทริก ค่าสูญเสียไดอิเล็กทริก ความถี่และ
อุณหภูมิของเซรามิกอะซูมีนา [2]

สำหรับในวัสดุเฟริโอเล็คตريك ดังที่ได้ยกตัวอย่างของ BaTiO_3 และอธิบายแล้วว่า ค่าคงที่ไดโอลีคต릭จะสูงขึ้นตามอุณหภูมิจนถึงจุดเปลี่ยนโครงสร้างผลึก จึงเกิดเป็นพีคขึ้น และตรงจุดนี้จะมีค่าไดโอลีคต릭สูงเป็นพิเศษโดยเฉพาะตรงตำแหน่งที่เป็นอุณหภูมิครี นอกจากนี้ วัสดุเฟริโอเล็คตريكยังมีคุณสมบัติอื่นอีกที่ทำให้สามารถนำไปใช้งานด้านอิเล็กทรอนิกส์ได้คือ

(ก) มีค่าคงที่ไดโอลีคต릭สูงกว่าค่าอยู่ในช่วง 200-10,000 เมื่อเทียบกับวัสดุไดโอลีคต릭ทั่วไปที่มีค่าอยู่ในช่วง 5-100

(ข) มีค่าสูญเสียไดโอลีคตريكค่อนข้างต่ำ (0.1-7%)

(ค) มีสภาพด้านทานไฟฟ้าสูง ($> 10^{13} \Omega \cdot \text{cm}$)

(ง) มีค่า Dielectric breakdown สูงพอสมควร (100-120 kV/cm สำหรับ bulk และ 500-800 kV/cm สำหรับ thin film)

(จ) พฤติกรรมทางไฟฟ้า (Electrical) ไฟฟ้าเชิงกล (Electromechanical) และไฟฟ้าเชิงแสง (Electrooptic) ไม่เป็นเชิงเส้นตรง (Non-linear)

เนื่องจากไม่วัสดุใดที่สามารถมีคุณสมบัติครบถ้วนข้อ จึงต้องมีการศึกษาและพัฒนาสมบัติ ของวัสดุชนิดต่างๆ ให้เหมาะสมกับการนำไปใช้งานให้ได้ดีที่สุด

2.3 สมบัติเชิงกลของวัสดุ

สมบัติเชิงกล (Mechanical properties) ของวัสดุเฟริโอเล็คตريكมีความสำคัญต่อการนำไปใช้งานจริง เนื่องจากวัสดุเฟริโอเล็คตريكเกือบทั้งหมดที่ใช้งานอยู่ในปัจจุบันเป็นสารประกอบจำพวกออกไซด์ ซึ่งเป็นสารที่มีความแข็งแกร่งแต่อาจจะเปราะ ซึ่งเป็นลักษณะปกติของสารประกอบที่มีพันธะเป็นแบบไอโอนิก (Ionic bonds) ดังนั้น เมื่อวัสดุไดรับแรงเค้นเพื่อผลิตกระแสไฟฟ้า หรือในทางกลับกันต้องการให้วัสดุมีการยืดหรือหดตัวเมื่อไดรับกระแสไฟฟ้า จึงมีความจำเป็นที่จะต้องศึกษาสมบัติเชิงกลของวัสดุเหล่านี้ด้วย ตัวอย่างเช่น ความแข็ง (Hardness) ความแข็งแรง (Strength) สภาพยืดหยุ่น (Elasticity) ความทนทานต่อการแตกหัก (Fracture toughness) เป็นต้น

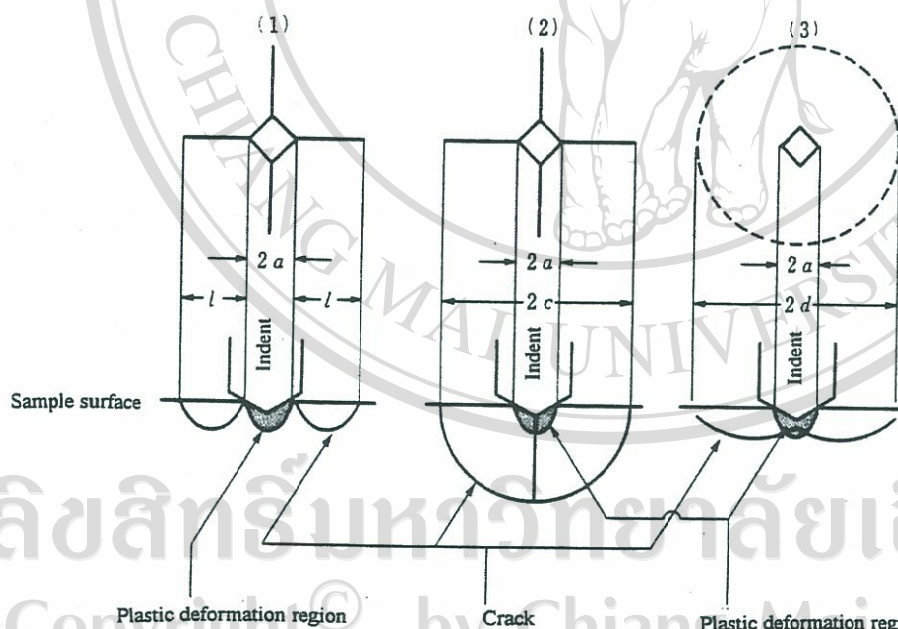
การแตกหักของวัสดุจะเกิดขึ้นก็ต่อเมื่อความเค้นที่วัสดุไดรับสูงกว่าความเค้นวิกฤต (Critical stress, σ_c) ความทนทานต่อการแตกหักของวัสดุหาได้จากสมการ

$$K_{IC} = Y\sigma_c \sqrt{\pi a} \quad (2-5)$$

โดย Y คือพารามิเตอร์ที่ไม่มีหน่วยและขึ้นอยู่กับชิ้นงานและลักษณะของรอยแตกในชิ้นงาน a คือขนาดของรอยแตก ค่าความหนาแน่นต่อการแตกหักนี้เป็นสมบัติของวัสดุที่ขึ้นกับอุณหภูมิ อัตราการเกิดความเครียด (Strain rate) และโครงสร้างจุลภาค (Microstructure)

สำหรับวิธีการวัดความหนาแน่นต่อการแตกหักมีอยู่หลายวิธี เช่น Indentation Micro-fracture (IM) Controlled Surface Flaw (CSF) Chevron Notch (CM) และ Single Edge Notched Beam (SENB) [5] แต่จะได้ผลลัพธ์ที่ถูกต้องมากที่สุดเมื่อเทียบกับวิธีอื่นๆ คือ Indentation Micro-fracture (IM) ซึ่งสามารถวัดความหนาแน่นต่อการแตกหักได้โดยการใช้เครื่องมือเดียวกับ Vickers microhardness tester ซึ่งจะประกอบไปด้วยหัวกดที่ทำจากเพชรรวมถึงปีรัมิด เมื่อกดหัวกดลงไปบนผิวของชิ้นงานจะเห็นรอยแตกและอาจจะเกิดรอยแตกด้วย (ขึ้นอยู่กับแรงที่ใช้กด) ดังแสดงในรูป 2.8 ค่าความหนาแน่นต่อการแตกหัก (K_{IC}) จึงสามารถคำนวณได้จากขนาดของรอยแตกและความยาวของรอยแตก

เครื่องมือที่ใช้ในการทำ IM เรียกว่า Vickers microhardness tester ซึ่งจะประกอบไปด้วยหัวกดที่ทำจากเพชรรวมถึงปีรัมิด เมื่อกดหัวกดลงไปบนผิวของชิ้นงานจะเห็นรอยแตกและอาจจะเกิดรอยแตกด้วย (ขึ้นอยู่กับแรงที่ใช้กด) ดังแสดงในรูป 2.8 ค่าความหนาแน่นต่อการแตกหัก (K_{IC}) จึงสามารถคำนวณได้จากขนาดของรอยแตกและความยาวของรอยแตก



รูป 2.8 ภาพวัดแสดงการเกิดรอยแตกแบบต่างๆ (1) Palmqvist crack (2) Median crack และ (3) Lateral crack [5]

วิธี IM สามารถนำไปใช้กับรอยแตกแบบ Palmqvist หรือแบบ Median ทั้งนี้ เนื่องจากว่าต้องอาศัยการวัดความยาวของรอยแตก (Crack length) จากทฤษฎีของกลศาสตร์การแตกหัก

(Fracture mechanics) Evans et al. [6] ได้เสนอสมการที่จะนำมาใช้ในการคำนวณหาค่าความทนทานต่อการแตกหักในกรณีของ Median crack คือ

$$\text{Median crack} \quad \left(\frac{K_{IC}\phi}{HVa^{1/2}} \right) \left(\frac{E\phi}{HV} \right)^{2/5} = 0.055 \log \left(8.4 \frac{a}{c} \right) \quad (2-6)$$

โดย ϕ คือ Restriction constant HV คือความแข็งแบบ Vickers E คือ Young's modulus a และ c คือ ครึ่งหนึ่ง ของความยาวของรอยแตกและความยาวของรอยแตกตามลำดับ

Niihara [7] ได้ปรับสมการ (2-6) โดยแยกตามชนิดของรอยแตกคือ

$$\text{Palmqvist crack} \quad \left(\frac{K_{IC}}{HVa^{1/2}} \right) \left(\frac{HV}{E} \right)^{2/5} = 0.018 \left(\frac{l}{a} \right)^{-1/2} \quad (2-7)$$

$$\text{Median crack} \quad \left(\frac{K_{IC}}{HVa^{1/2}} \right) = 0.203 \left(\frac{c}{a} \right)^{-3/2} \quad (2-8)$$

นอกจากสมการที่ใช้หาค่าความทนทานต่อการแตกหักที่ได้จากการถูกดึงแล้ว ยังมีสมการที่พบว่ามีความสอดคล้องกับผลการทดลองของการหาความแข็งของวัสดุโดยใช้วิธี Vickers นั้นคือ

$$K_{IC} = 0.016 \left(\frac{E}{HV} \right)^{1/2} \left(\frac{P}{l^{3/2}} \right) \quad (2-9)$$

โดย P คือแรงที่ใช้ในการกด

จากสมการทราบ K_{IC} จะพบว่าตัวแปรที่จำเป็นต้องใช้คือค่าอัตราส่วนระหว่างความเครียด (Strain) และความต้านทานต่อการแตกหัก (Resistance to cracking) ซึ่งในทางทฤษฎีสามารถหาได้จากอัตราส่วนระหว่างความเครียด (Stress) และความ

$$E = \frac{\text{stress}}{\text{strain}} \quad (2-10)$$

แต่ในกรณีที่ไม่สามารถหาค่ามอตูลัสของยังโดยตรงได้ ก็สามารถคำนวณได้จากผลของการวัดความแข็งของวัสดุแบบบูป (Knoop's hardness test) โดยความสัมพันธ์ระหว่างค่ามอตูลัสของยังและความแข็งแบบบูปคือ

$$E = \frac{\alpha HK}{\left(\frac{b}{a} - \frac{b'}{a'} \right)} \quad (2-11)$$

โดย HK คือค่าความแข็งแบบบูป b/a อัตราส่วนระหว่างเส้นทแยงมุมของหัวกดด้านลับต่อเส้นทแยงมุมของหัวกดด้านยาว หัวกดบูป $b/a = 1/7.11 b'/a'$ คืออัตราส่วนระหว่างเส้นทแยงมุมของรอยกดด้านลับต่อเส้นทแยงมุมของรอยกดด้านยาว ส่วน α เป็นค่าคงที่ จากการทดลองของ Marshall และคณะ [8] พบว่ามีค่าประมาณ 0.45

2.4 ผลของสารเจือที่มีต่อสมบัติของวัสดุเฟริโอดิเล็กติก

ข้อได้เปรียบที่สำคัญข้อหนึ่งของวัสดุเฟริโอดิเล็กติก ที่ต่างจากวัสดุไดอิเล็กตريكทั่วไปคือ การที่สามารถเปลี่ยนสมบัติของวัสดุเหล่านี้ได้โดยการเปลี่ยนองค์ประกอบทางเคมี (Chemical composition) และโครงสร้างจุลภาค (Microstructure) ของเซรามิก ซึ่งจากการทดลองพบว่าผลโดยทั่วไปที่อาจเกิดขึ้นเมื่อมีการเติมแคทไอโอนลงในเซรามิกเฟริโอดิเล็กติกคือ (ก) การเลื่อนตำแหน่งของอุณหภูมิครูร์และอุณหภูมิที่มีการเปลี่ยนแปลงเฟส (Transition temperature) (ข) การจำกัดการเคลื่อนที่ของ Domain wall (ค) การเกิดขึ้นของเฟสที่สองและการทำให้เกิดความไม่สม่ำเสมอขององค์ประกอบเคมี (ง) การควบคุมขนาดของผลึก และ (จ) การควบคุมปริมาณของอອซิเจนและค่าเวลน์ของไอโอนของไทยาเนียม ผลที่เกิดขึ้นมีความสำคัญต่อการนำวัสดุเฟริโอดิเล็กติกไปใช้งานดังรายละเอียดต่อไปนี้ [4]

2.4.1 การเปลี่ยนจุดครูร์ (Curie point) ทำให้สามารถเลื่อนจุดสูงสุดของค่าไดอิเล็กต릭ไปยังอุณหภูมิที่จะนำวัสดุนั้นไปใช้งานได้ ตัวอย่างเช่น การเติม Sr^{2+} เข้าไปแทน Ba^{2+} ใน $BaTiO_3$ พบว่าสามารถทำให้ค่าของ T_c ต่ำลง ในขณะที่การเติม Pb^{2+} จะทำให้ T_c สูงขึ้น

2.4.2 ไอโอนของธาตุหวานตัวเดียว เช่น Fe^{3+} Ni^{2+} Co^{3+} ที่สามารถเข้าไปแทนที่ Tl^{4+} สามารถลดการเคลื่อนที่ของ Domain wall และสามารถลดค่าสูญเสียไดอิเล็กตريكได้

2.4.3 การเติม $CaZrO_3$ ลงใน $BaTiO_3$ ทำให้เกิดเป็นวัสดุที่มีองค์ประกอบทางเคมีไม่สม่ำเสมอและทำให้พื้นในกราฟฟิคของค่าไดอิเล็กตريكและอุณหภูมิขยายกว้างขึ้น ถึงแม้ว่าจะมีค่าต่ำกว่า

ในกรณีที่เพคแคบก็ตาม แต่จะทำให้การใช้งานของวัสดุในที่ที่มีหลายช่วงอุณหภูมิมีความเสถียรมากขึ้น

2.4.4 การเติมแคทไอโอนที่มีค่าเวลน์สูงกว่าไอโอนที่เข้าไปแทนที่ เมื่อบริมาณของแคทไอโอนดังกล่าวสูงกว่าประมาณ 0.5% ตัวอย่างเช่น การเติม La^{3+} เพื่อแทนที่ Ba^{2+} หรือ Nb^{5+} เพื่อแทนที่ Ti^{4+} ตามปกติจะลดการเติบโตของผลึก ผลที่ตามมาคือการที่ค่าคงที่ไดอิเล็กตริกที่อุณหภูมิต่างกัน T_c มีค่าเพิ่มขึ้น ขนาดของผลึกหรือเกรนในเซรามิกยังสามารถควบคุมโดยสภาวะที่ใช้ในการเผาซินเตอร์

2.4.5 การเติมแคทไอโอนที่มีค่าเวลน์สูงกว่าที่บริมาณน้อย ($< 0.2\%$) ใน BaTiO_3 พบฯ กำลังให้ค่าสภาพด้านทานไฟฟ้าต่ำลง อย่างไรก็ตาม ในกรณีที่ใช้แคทไอโอนที่มีเวลน์ต่ำกว่า เช่น การใช้ Mn^{3+} แทน Ti^{4+} พบฯ ไอโอนจะทำหน้าที่เป็นตัวรับอิเล็กตรอน (Acceptors) จะทำให้ค่า สภาพด้านทานไฟฟ้าสูงและทำให้สามารถเผาซินเตอร์เซรามิกในบรรยายกาศที่มีอุณหภูมิต่ำได้

ถึงแม้ว่า ข้อมูลดังที่กล่าวมา จะมีประโยชน์ต่อการเลือกนำสารเรื่องมาใช้ แต่ผลที่ควรจะได้จะเป็นจะต้องมีการศึกษาไปพร้อมๆ กับการพัฒนาทฤษฎี เพื่อให้สามารถนำไปสู่การพัฒนาวัสดุ เฟรโรอิเล็กตริกอย่างแท้จริงได้ นอกจากนี้ การที่สามารถเลือกใช้วัสดุที่ไม่ทำให้เกิดผลพิษไม่ว่าจะทางตรงหรือทางอ้อม ย่อมเป็นประโยชน์ต่อการดำรงอยู่ของมนุษย์เช่นกัน

2.5 วัสดุบิสมัสโซเดียมติดาเนต

สารเซรามิกบิสมัสโซเดียมติดาเนต ($\text{Bi}_{0.5}\text{Na}_{0.5}\text{TiO}_3$ หรือ BNT) จัดเป็นสารเฟรโรอิเล็กตริก ที่มีคุณสมบัติทางเพียวโซอิเล็กตริกที่ดีที่สุดด้วยหนึ่งในหมู่สารประกอบที่ไม่มีตัวก่อ จากการวิเคราะห์เซลล์หน่วย(bgit cell) ของสารนี้ ณ. อุณหภูมิห้อง ด้วยเทคนิคการเลี้ยวเบนของรังสีเอ็กซ์ (X-ray Diffraction) พบฯว่ามีแล็ตทิซเป็น Rhombohedral โดยมีค่าคงที่ของแล็ตทิซ (lattice constant) เท่ากับ 3.891 \AA และมุมะระหว่างแกนทั้งสามมีค่าเท่ากับ $89^\circ 36'$ [9] และเนื่องจากสารชนิดนี้ มีโครงสร้างผลึกเป็นแบบ Perovskite จึงเป็นโครงสร้างเดียวกับสารเพียวโซอิเล็กตริกที่สำคัญอีกหลายชนิด เช่น BaTiO_3 , PMN ($\text{Pb}(\text{Mg}_{1/3}\text{Nb}_{2/3})\text{O}_3$) และ PZT ($\text{Pb}(\text{Zr}, \text{Ti})\text{O}_3$) เป็นต้น จึงทำให้ BNT เป็นสารที่มีสมบัติทางเฟรโรอิเล็กตริกที่ดีมาก โดยจากการทดลองพบว่าสารชนิดนี้ มีอุณหภูมิครูรี (T_c) ที่ 320°C ซึ่ง เป็นอุณหภูมิที่สูงพอที่จะสามารถใช้สารนี้ที่อุณหภูมิห้องและที่ อุณหภูมิต่ำกว่า T_c ได้ นอกจากนี้ ค่า Remanent Polarization (P_r) ของสารนี้มีค่าเท่ากับ 38

mC/cm^2 และ Coercive Field (E_c) เท่ากับ 73 kV/cm [10-13] แต่เนื่องจากค่า Coercive Field ที่ค่อนข้างสูง จึงทำให้การศึกษาสมบัติทางเพียโซอิเล็กตริกของสารนี้มีไม่นานนัก

สมบัติอิทธิพลหนึ่งที่น่าสนใจของ BNT คือการเปลี่ยนเฟสในช่วงของอุณหภูมิที่ค่อนข้างกว้าง (Diffuse Phase Transition) ซึ่งเป็นลักษณะเฉพาะตัวของสาร Relaxor Ferroelectrics [5] ซึ่งสารจำพวกนี้เริ่มจะมีบทบาทมากขึ้นในเรื่องของการนำมาประยุกต์ใช้งานอย่างเช่น ให้เป็นตัวเก็บประจุที่มีค่า dielectric constant (ϵ_r) สูงถึง 24,000 ในสาร PMN-PT (90/10) เมื่อเปรียบเทียบกับสารเพียโซอิเล็กตริกทั่วไปเช่น PZT ที่มีค่า ϵ_r อยู่ที่ประมาณ 1,300 [1] และสำหรับสมบัติทางด้านความเครียดที่ถูกเหนี่ยวนำขึ้นโดยการให้สนามไฟฟ้าต่อสารนั้น (Electrostriction) ก็พบว่าสาร Relaxor Ferroelectrics ที่มีคุณสมบัติเหมาะสมที่จะนำไปใช้ในอุปกรณ์จำพวก Transducers, Electrostrictive Actuators และ Micro-Positioning System เนื่องจากความเครียดแปรผันโดยตรงกับสนามไฟฟ้าที่ให้เข้าไป และไม่พบว่ามี Hysteresis loop ซึ่งถ้าหากสมบัตินี้เกิดขึ้นในเซรามิก BNT ก็ย่อมจะบรรลุซึ่งรัตตุประสงค์ของการนำ BNT มาใช้ทำอุปกรณ์อิเล็กทรอนิกแทนสารเพียโซอิเล็กตริกที่ประกอบด้วยตะกั่ว อย่างไรก็ตาม ปัญหาหนึ่งที่ยังมีอยู่ในการศึกษาคุณสมบัติทางเพียโซอิเล็กตริกของ BNT คือการหาความสัมพันธ์ระหว่างการเปลี่ยนแปลงทางโครงสร้างผลึกกับการเปลี่ยนแปลงสมบัติทางเพียโซอิเล็กตริก ซึ่ง Pronin et al. [14] และกลุ่มนักวิจัยบางกลุ่ม [15, 16] พบว่าอุณหภูมิที่เกิดการเปลี่ยนแปลงทางโครงสร้างผลึกของ BNT ไม่ตรงกับอุณหภูมิที่มีการเปลี่ยนค่า dielectric constant ซึ่งจากผลการทดลองนี้ทำให้เกิดข้อสงสัยเกี่ยวกับเฟส (phase) ที่เกิดขึ้นในสารนิดนี้เมื่ออุณหภูมิเพิ่มขึ้น หรือลดลง และ Pronin et al. [14] ยังพบว่าอุณหภูมิแรกที่มีการเปลี่ยนค่า dielectric constant คือประมาณ 220°C แต่จากการทดลองของ Sakata et al. [17] พบว่าที่อุณหภูมิประมาณ 320°C และ 520°C ค่า dielectric constant ที่มีการเปลี่ยนแปลงเหมือนกัน จากข้อมูลดังกล่าว นักวิจัยส่วนมากจะยอมรับว่าในสารเซรามิก BNT มีการเปลี่ยนสมบัติทางไดอิเล็กตริกอยู่ 4 แบบจากอุณหภูมิต่ำไปสูงดังนี้ จากเฟอร์โซอิเล็กตริก -> แอนไทเฟอร์โซอิเล็กตริก (Antiferroelectric) -> พาราอิเล็กตริก (Paraelectric) -> พาราอิเล็กตริก (Paraelectric) ซึ่งมีการเกี่ยวข้องกับการเปลี่ยนโครงสร้างผลึกจาก Rhombohedral -> Rhombohedral หรือ Tetragonal -> Tetragonal -> Cubic ถึงกระนั้นก็ตาม การเกิดสมบัติเนื่องไฟเฟอร์โซอิเล็กตริกของสารนี้ยังเป็นข้อถกเถียงกันอยู่ [18] เนื่องจากยังมีข้อด้อย เช่น ระห่ำง ข้อมูลที่ได้จากการศึกษาค่าโพลาไรเซชัน (polarization) [17] และสมบัติทางโครงสร้างผลึก [15] ของสาร BNT ดังนั้น การศึกษาโครงสร้างทางจุลภาคโดยละเอียดของสารนี้ จึงเป็นสิ่งจำเป็นต่อการทำความเข้าใจและการหาความสัมพันธ์ที่แน่นอน

ระหว่างลักษณะทางโครงสร้างผลึกและคุณสมบัติทางเพียงไครอเล็คตริกของสารนี้ ปัญหาอีกอย่างหนึ่งซึ่งเป็นหัวใจสำคัญในการเริ่มทำโครงการวิจัยนี้ คือการศึกษาการเปลี่ยนค่าทางเพียงไครอเล็คต์ริกของสาร BNT เมื่อมีการเติม dopants ซึ่งการเติมสารดังกล่าว สามารถทำได้สองวิธีคือ ในแง่宏观 (Macroscopic) และในแง่จุลภาค (Microscopic) ในแง่宏观 นั้นจะเป็นการเติมสารลงไปเพื่อสร้างคอมโพสิต (Composites) ซึ่งในกรณีนี้ สมบัติทางเพียงไครอเล็คต์ริกที่ได้นั้น จะเป็นสมบัติเฉลี่ยจากเฟสที่ประกอบกันเป็นคอมโพสิตนั้น ซึ่งข้อด้อยของแต่ละเฟส จะถูกทดแทนโดยข้อดีของอีกเฟสหนึ่ง ส่วนการเปลี่ยนแปลงสมบัติในทางจุลภาคนั้น จะเป็นงานหลักของโครงการวิจัยนี้ ซึ่งการศึกษาการเปลี่ยนแปลงสมบัติทางเพียงไครอเล็คต์ริก ไดอิเล็คต์ริก เพียงไครอเล็คต์ริกและแอนไฟฟ์ร็อกไครอเล็คต์ริกของ BNT-Based เซรามิก จะเกิดจากการเติม dopant เข้าไปในสาร BNT โดยที่ dopant ดังกล่าวจะเข้าไปรวมเป็นเนื้อเดียวกันกับสารแม่ (Matrix) ส่วนปริมาณของ dopant ที่จะใช้เติมเข้าไปนั้น ขึ้นอยู่กับขนาดของไอออนและค่าเวลนีซ (Valency) ของสารนินิดนั้นๆ สำหรับปัจจัยแรก ถ้าขนาดของไอออนของ dopant และขนาดของไอออนใน Matrix มีค่าต่างกันน้อยกว่า 15% ก็จะมีโอกาสสร้างสารละลาย ของแข็งแบบแทนที่ (Substitutional Solid Solution) “ได้ง่าย แต่ถ้าหากต่างกันมากกว่า 15% ปริมาณ dopant ที่เติมเข้าไปได้จะถูกจำกัดให้เหลือน้อยกว่า 1% [2] (ถ้าปริมาณสารเติมมากกว่านี้ จะก่อให้เกิดเฟสอื่นขึ้นแทนที่จะเป็นเฟสเดียวเท่านั้น) ส่วนปัจจัยที่สอง หากไอออนที่เติมเข้าไปมีขนาดต่างจากไอออนใน Matrix การแทนที่ของไอออนจะมีข้อจำกัด เนื่องจากจะต้องมีการเปลี่ยนแปลงโครงสร้างของ defects ขึ้นเพื่อรักษาความเป็นกลางของค่าทางไฟฟ้า (Electrical Neutrality) จากการศึกษาการสร้าง Solid Solutions ของเซรามิก BNT-based ได้มีผู้ทำการทดลองผสมสารในหลายระบบ เช่น BNT-BaTiO₃ [19], BNT-PbTiO₃ [18, 20], BNT-1/2(Bi₂O₃-Sc₂O₃) [21], BNT-(Bi_{0.5}K_{0.5})TiO₃ [22], BNT-KNbO₃ [23] และ BNT-PbZrO₃ [24] เป็นต้น ซึ่งจะสังเกตได้ว่า การแทนที่ของไอออนส่วนใหญ่จะแทนที่ใน A-site สำหรับโครงสร้าง Perovskite (ABO₃) ส่วนในกรณีของ BNT โครงสร้างหรือสูตรทางเคมีอาจจะเปลี่ยนได้เป็น (A_{0.5}A'_{0.5})BO₃ ส่วนไอออนที่เติมเข้าไปใน BNT จะไปอยู่ที่ตำแหน่งในนั้นก็ขึ้นอยู่กับปัจจัยหลักสองชนิดที่ได้กล่าวมาข้างต้น

ในกรณีของการแทนที่ (Bi_{0.5}Na_{0.5}) โดยไอออน Ba²⁺ นั้น Takenaka et al. [19] พบว่าเมื่อเปรียบเทียบกับ สาร BNT บริสุทธิ์แล้ว ค่าคงที่ทางไดอิเล็คต์ริก จะเพิ่มขึ้นและมีค่าสูงสุดเมื่อเติม Ba²⁺ จำนวน 6mol% เข้าไปในระบบ ส่วนค่า Electromechanical coupling factor (k_p) จะลดลง สำหรับค่า loss tangent ($\tan \delta$) ณ อุณหภูมิห้องนั้น จะมีค่าค่อนข้างต่ำ (1.5%)

สำหรับอุณหภูมิคู่ (T_c) นั้นจะลดลงและค่าคงที่เพียโซอิเล็กตริก (d₃₃) นั้นมีค่าสูงขึ้น (125×10^{-12} C/N) เช่นเดียวกับค่าความแข็งแรงเชิงกล (Mechanical Strength) เมื่อศึกษาผลลัพธ์โดยรวมแล้ว กลุ่มวิจัยดังกล่าวได้สรุปว่า สาร BNT Solid Solutions ที่เตรียมได้มีคุณสมบัติเหมาะสม ที่จะนำไปใช้ในอุปกรณ์อัลตราโซนิกความถี่สูง (High-Frequency Ultrasonic Devices) หรือตัวขับร้าเพียโซอิเล็กตริก (Piezoelectric Actuators) แต่สิ่งที่กลุ่มวิจัยยังไม่สามารถที่จะให้คำตอบ ที่แน่นอนได้คือสารเหล่านี้ทำให้สมบัติเชิงกลของสารนี้ดีขึ้นดังนั้นจึงต้องมีการศึกษาต่อไป

สำหรับผลของการทดลองของกลุ่มวิจัยอีกหนึ่ง หากจะสรุปและเบริยบเทียบให้เห็นภาพ โดยรวมนั้นจะทำได้ค่อนข้างลำบากเนื่องจากว่า แต่ละกลุ่มงานวิจัยได้อธิบายถึงสมบัติของระบบ ที่กลุ่มนั้นๆ สนใจโดยไม่ได้รวมถึงข้อมูลที่จำเป็นและสำคัญในการเปรียบเทียบสาร ซึ่งข้อมูลเหล่านี้ รวมไปถึงค่าคงที่ไดอิเล็กตริก (dielectric constant, ϵ_r) ค่า Electromechanical coupling factor (k_p) ค่า dielectric loss (tan δ) ค่าคงที่เพียโซอิเล็กตริก (piezoelectric constant, d₃₃) และค่าความแข็งแรงเชิงกล (Mechanical Strength) โดยสมบัติเหล่านี้มีความสำคัญและควรถูกศึกษาอย่างจริงจังก่อนที่จะสามารถบอกได้ว่าสารชนิดใดเหมาะสมกับการใช้เพื่อเปลี่ยนคุณสมบัติทางเพียโซ-และเฟรชิอิเล็กตริกของ BNT-based เซรามิก ก่อนที่จะสามารถนำสารดังกล่าวไปใช้ทดแทนสารเพียโซอิเล็กตริกที่มีตะกั่วเป็นองค์ประกอบ

ส่วนหนึ่งของการดำเนินงานวิจัยในโครงการนี้คือเพื่อต้องการรวบรวมข้อมูลที่ได้จากการวิจัย ของกลุ่มวิจัยต่างๆ เพื่อกีบเป็นฐานข้อมูลที่จะใช้นำไปจัดทำคัญที่ทำให้สมบัติทางไดอิเล็กตริก ของ BNT-Based เซรามิกเปลี่ยนไป อีกส่วนหนึ่งของการดำเนินโครงการวิจัยนี้คือ เพื่อที่จะศึกษาผลของการเติม dopant อย่างเป็นระบบโดยจะเน้นไปที่การเติม dopant ที่จะทำให้สมบัติทางไฟฟ้าเชิงกล และทางไดอิเล็กตริกของเซรามิกเปลี่ยนไปอย่างเหมาะสมสมกับการนำไปใช้ในงานนั้นๆ ตัวอย่างเช่น การเติมแอลานทันมัม (La³⁺) ลงไปในสาร PZT เพื่อทำให้สารชนิดนี้มีสมบัติที่ดีขึ้น และพบว่า PLZT ที่ความเข้มข้นของ La³⁺ ต่างๆ ก็จะมีคุณสมบัติทางไดอิเล็กตริกและเพียโซอิเล็กตริกต่างกันออกไป นอกจากนี้ยังพบว่าการเติม La³⁺ ยังช่วยให้สารเซรามิก PZT มีความโปร่งใส (Transparency) มากขึ้น ซึ่งในกรณีนี้ ก็สามารถนำสารโปร่งใสนำไปใช้ในงานที่เกี่ยวข้องกับ Electro-optic Applications ได้ [1]

จะเห็นได้ว่าการพัฒนาคุณสมบัติของสาร BNT โดยการเติม dopant ลงไปที่ล้านนิด รวมทั้งมีการศึกษาโครงสร้างทางจุลภาค ตำแหน่งที่ไอออนของสารนั้นเข้าไปอยู่ (Site Substitution) คุณสมบัติทางไดอิเล็กตริกและเพียโซอิเล็กตริก น่าจะให้ข้อมูลที่สามารถสรุปได้และนำไปสู่การพัฒนาคุณภาพของสารนี้ได้แน่นอนมากยิ่งขึ้น

บทที่ 3

วิธีการทดลอง

3.1 การเตรียมผงบิสมัสโซเดียมติตาเนต

วิธีการเตรียมผงบิสมัสโซเดียมติตาเนตคำนวนจากสารเคมี



สารตั้งต้นทุกตัวจะมีความบริสุทธิ์มากกว่า 98% โดยเริ่มแรก สารตั้งต้นทุกตัวจะถูกบดรวมกันในกระป๋องพลาสติกที่มีเม็ดบดเซอร์โคเนียม (Zirconia milling balls) และเอทานอล (Ethanol) เป็นเวลา 24 ชั่วโมง ซึ่งวิธีนี้เรียกว่า วิธี Ball mill หลังจากนั้นจึงนำไปอบ ให้แห้งที่อุณหภูมิ ต่ำกว่า 100 °C จากนั้น จึงนำไปเผาแคล์ไนซ์ (Calcination) ในช่วงอุณหภูมิ 800-1000 °C เพื่อตรวจสอบว่าอุณหภูมิได้เป็นอุณหภูมิที่เหมาะสม

3.2 การเตรียมผงบิสมัสโซเดียมติตาเนตที่มีสารเจือ

การเตรียมผงบิสมัสโซเดียมติตาเนตที่มีสารเจือนั้น จะค่อนข้างซับซ้อนกว่าการเตรียมผง BNT บริสุทธิ์ ทั้งนี้เนื่องจากว่าในบางกรณีที่ต้องการเติมสารเจือที่มีค่าเวลน์ต่างไปจากไอออนที่จะเข้าไปแทนที่ จำเป็นต้องคำนึงถึงทั้งความสมดุลของประจุและความสมดุลของมวลด้วย

3.2.1 การเตรียมผงบิสมัสโซเดียมติตาเนตเจือด้วยเซอร์โคเนียม

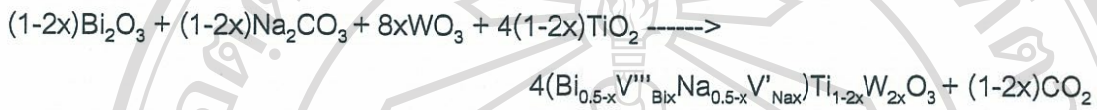
ในกรณีนี้ จะใช้เซอร์โคเนียมออกไซด์ (ZrO_2) ในการทำปฏิกิริยาเคมี เพื่อสร้างเป็นสารละลายของแข็งที่มีสูตรเคมีคือ $\text{Bi}_{0.5}\text{Na}_{0.5}\text{Ti}_{1-x}\text{Zr}_x\text{O}_3$ เนื่องจาก ไอออนเซอร์โคเนียมมีประจุเท่ากับไอออนแทพาเนียม ดังนั้น สมการเคมีที่ใช้ในการคำนวนปริมาณสารที่ต้องใช้คือ



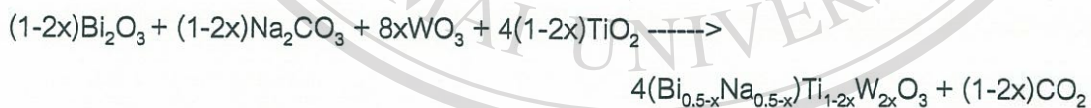
3.2.2 การเตรียมผงบิสมัสโซเดียมติตาเนตเจือด้วยทังสเทน

เนื่องจากสารประกอบที่ใช้ในการเตรียมคือทังสเทนออกไซด์ (WO_3) ซึ่งค่าเวลน์ของไอออนทังสเทนคือ +6 และเมื่อเทียบขนาดของรัศมีไอออนของทังสเทนและแทพาเนียมพบว่ามีค่าใกล้เคียงกันมากนั่นคือ $r(\text{W}^{6+}) = 0.6 \text{ \AA}$ และ $r(\text{Ti}^{4+}) = 0.605 \text{ \AA}$ ดังนั้น ไอออนทังสเทนจึงน่าที่จะเข้าไป

อยู่แทนที่ไอออนไฟฟานี้ยมมากที่สุด อย่างไรก็ตาม ทั้งสเทนยังสามารถมีเวลน์ +5 และ +4 ส่วนรัศมีของไอออนจะมีค่าสูงขึ้นตามลำดับ ในส่วนของการหาสมการเคมีเพื่อที่จะคำนวณปริมาณสารที่ต้องใช้ จะใช้ไอออนทั้งสเทนที่มีเวลน์ +6 เป็นหลัก จากค่าเวลน์ที่ต่างกันของไอออนทั้งสเทนและไฟฟานี้ สมการที่ใช้จึงต้องทำให้เกิดความสมดุลประจุและมวล ซึ่งจากข้อจำกัดดังกล่าวก่อให้เกิดจุดบกพร่องขึ้น จุดบกพร่องที่ว่านี้ ตามความน่าจะเป็นแล้วควรมาจาก Vacancy ของไอออนของบิสมัสและโซเดียม ดังสมการ



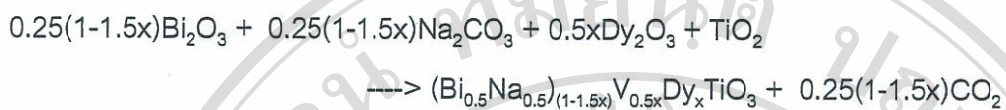
โดย $\text{V}'''_{\text{Bi}x}$ และ $\text{V}'_{\text{Na}x}$ เป็นลักษณะการระบุชนิดและประจุของจุดบกพร่องที่เกิดขึ้นตามวิธีการระบุของโคโรกอริงค์ (Kroger-Vink notation) ซึ่ง $\text{V}'''_{\text{Bi}x}$ หมายถึง ช่องว่าง (Vacancy) ที่เกิดขึ้นตรงตำแหน่งของไอออนบิสมัสและมีประจุ -3 ส่วน $\text{V}'_{\text{Na}x}$ หมายถึงช่องว่างที่เกิดขึ้นตรงตำแหน่งของไอออนโซเดียมและมีประจุ -1 อย่างไรก็ตาม ใน การคำนวณปริมาณสารที่ใช้นั้น ไม่จำเป็นต้องใส่ช่องว่างที่เกิดขึ้นลงไปในการคำนวณ เนื่องจากว่า ช่องว่างดังกล่าว เป็นมวลที่หายไปแต่เขียนไว้เพื่อแสดงถึงความสมดุลของประจุที่เกิดขึ้นภายในวัสดุเท่านั้น ดังนั้น สมการที่ใช้ในการคำนวณปริมาณสารในการสังเคราะห์ผง BNT ที่เจือด้วย W คือ



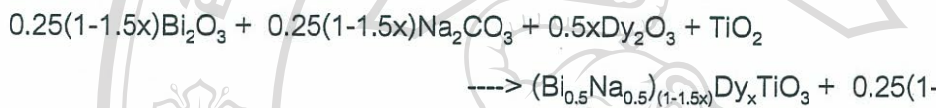
3.2.3 การเตรียมผงบิสมัสโซเดียมติดตามเจือด้วยไดส์โพรเซียม

สำหรับกรณีนี้ สารตั้งต้นที่ใช้ในการเติมลงใน BNT คือ Dy_2O_3 ดังนั้น ประจุตั้งต้นของไอออนไดส์โพรเซียมคือ +3 ในความเป็นจริงสารประกอบของไดส์โพรเซียมสามารถมีไอออนไดส์โพรเซียมที่มีประจุ +2 หรือ +3 ก็ได้ และจากการประมาณค่ารัศมีไอออนของไดส์โพรเซียมในสารประกอบออกไซด์ รัศมีไอออนของไดส์โพรเซียมที่มีเลขค่าออดิเนชัน (Coordination number) เท่ากับ 8 คือ $r(\text{Dy}^{2+})=1.109 \text{ \AA}$ และ $r(\text{Dy}^{3+})=1.027 \text{ \AA}$ จะเห็นว่ารัศมีของไอออนไดส์โพรเซียมมีขนาดใหญ่กว่าของไฟฟานี้ แต่ตำแหน่งที่ไดส์โพรเซียมเข้าไปแทนที่น่าจะเป็นตำแหน่งของไอออนบิสมัสหรือโซเดียม สำหรับเลขค่าออดิเนชันเดียวกัน รัศมีของไอออนทั้งสองคือ $r(\text{Bi}^{3+}) = 1.17$

\AA และ $r(\text{Na}^+) = 1.18 \text{ \AA}$ จะเห็นว่ามีรัศมีที่ใกล้เคียงกันมากกว่าของไ tha เนียม สำหรับสมการที่ได้จะเน้นถึงการเข้าไปแทนที่ของไอออนไดส์โลหะเป็นหลัก โดยการเข้าไปแทนที่นั้น จะคำนึงถึงว่าไดส์โลหะจะเข้าไปแทนที่บิสมัลและโซเดียมในปริมาณที่เท่ากัน ตามสมการ



และสมการที่ใช้ในการคำนวนปริมาณสารที่ต้องใช้คือ



3.3 การเตรียมเซรามิก

หลังจากที่ผงผสมได้ผ่านการแคลลไชน์แล้ว จึงถูกนำไปปฏิเคราะห์ด้วยวิธีการเลี้ยงเบนของรังสีเอกซ์ (X-ray diffraction) เพื่อตรวจสอบดูเฟส (Phase) ที่เกิดขึ้น เมื่อได้เฟสที่ต้องการแล้วจึงนำลงไปอัดด้วยแรงดันสูง ให้ออกมาเป็นเม็ดมีเส้นผ่าศูนย์กลางประมาณ 1.5 มม. และหนาประมาณ 2 มม. จากนั้น จึงนำไปวางในถ้วยอะลูมินา (Alumina crucible) และปิดฝาเพื่อป้องกันการสูญเสียของวัสดุผ่านการระเหย สำหรับอุณหภูมิที่ใช้เผาซินเตอร์จะอยู่ในช่วงตั้งแต่ 900-1200 °C โดยเผาเป็นเวลา 2 ชั่วโมง จึงได้มีเดเซรามิก หลังจากนั้นจึงนำไปปฏิเคราะห์หาสมบัติอื่นๆต่อไป

3.4 การวิเคราะห์สมบัติของเซรามิก

3.4.1 การวิเคราะห์เฟส

ในการวิเคราะห์เฟสของเซรามิก BNT ทั้งที่มีและไม่มีสารเจือ จะใช้เครื่อง Powder X-ray diffractometer เป็นหลักในการวิเคราะห์ โดยช่วงของมุม 2θ ที่ใช้คัดจะมีค่าประมาณ 20-60 องศา โดยมีความละเอียดในการวัดเท่ากับ 0.002 องศา เครื่องมือที่ใช้คือรุ่น JEOL JDX-8030

3.4.2 การวิเคราะห์สมบัติทางกายภาพ

การวิเคราะห์สมบัติทางกายภาพจะรวมไปถึงมวลที่หายไปหลังเผาซินเตอร์ และความหนาแน่นของชิ้นงานโดยวิธี Archimedes

3.4.3 การวิเคราะห์โครงสร้างทางจุลภาค

โครงสร้างทางจุลภาค (Microstructure) จะถูกศึกษาโดยใช้กล้องจุลทรรศน์อิเล็กตรอนแบบส่องกราด (Scanning electron microscope, SEM) รุ่น JEOL JSM 5910LV โดยนอกจากโครงสร้างจุลภาคแล้ว องค์ประกอบทางเคมีโดยประมาณยังสามารถได้จากเครื่อง SEM นี้ โดยอาศัยการวิเคราะห์รังสีเอกซ์ที่ออกมายังชิ้นงาน ที่เรียกว่าการวัดใน Mode EDX (Energy-dispersive X-ray analysis)

3.4.4 การวัดสมบัติเชิงกล

การวัดสมบัติเชิงกลจะเน้นเรื่องของการวัดค่าความแข็งแบบวิกเกอร์และนูป โดยใช้ เครื่อง Vickers microhardness tester (Galileo Microscan OD'98) และ Knoop microhardness tester (Matzuwa MXT α -7 Type D) และน้ำหนักที่ใช้กดคือ 1000 กิวัมและ 300 กิวัม ตามลำดับ

3.4.5 การวัดสมบัติทางไดอิเล็คต์ริก

ค่าคงที่ไดอิเล็คต์ริกและค่าสูญเสียไดอิเล็คต์ริกวัดจากเครื่อง LCZ Meter (HP 4276A) ที่ เชื่อมต่อกับเตา โดยความถี่ที่ใช้คืออยู่ในช่วง 1 kHz ถึง 1 MHz และช่วงอุณหภูมิของชิ้นงานมีค่า ประมาณ 30-450 °C

ลิขสิทธิ์มหาวิทยาลัยเชียงใหม่
Copyright © by Chiang Mai University
All rights reserved

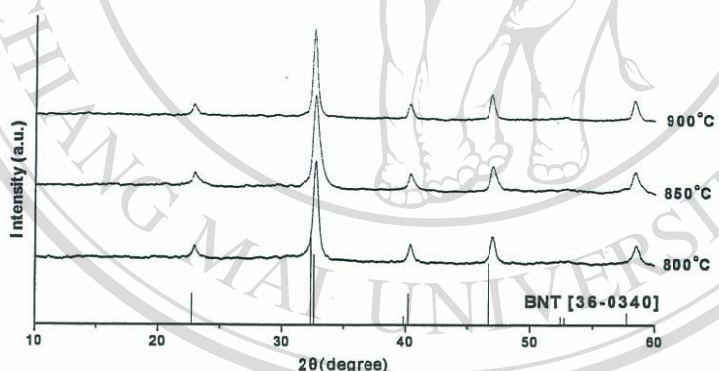
บทที่ 4

ผลการทดลองและการวิเคราะห์ผล

4.1 บิสมัลโซเดียมติตาเนต

4.1.1 ผงบิสมัลโซเดียมติตาเนต

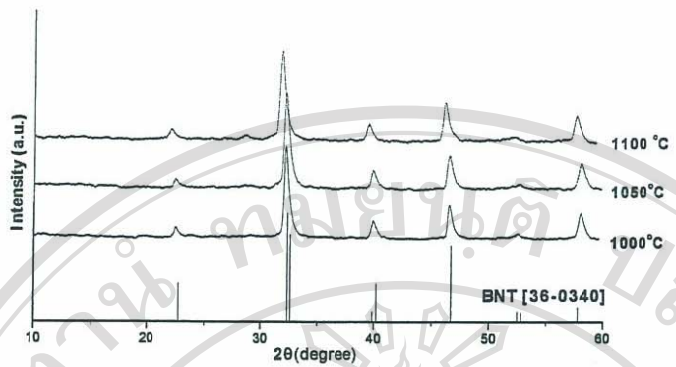
จากการวิเคราะห์ด้วยการเลี้ยวเบนของรังสีเอกซ์ (รูป 4.1) พบว่า การสังเคราะห์บิสมัลโซเดียมติตาเนตที่ช่วงอุณหภูมิ $800\text{--}900\text{ }^{\circ}\text{C}$ ให้ผลที่ไม่แตกต่างกัน นั่นคือ ได้เฟสเดียวที่มีโครงสร้างผลึกเป็นแบบรhombohedral ตาม JCPDS file หมายเลข 36-0340 ดังแสดงไว้ในรูป 4.1 เพื่อเปรียบเทียบ สำหรับผงบิสมัลโซเดียมติตาเนตที่ใช้ในการเผาซินเตอร์เพื่อทำเป็นเซรามิกและเปรียบเทียบสมบัติกับเซรามิกบิสมัลโซเดียมติตาเนตที่มีสารเจือจิ้งมาจากการเผาซินเตอร์ที่ $800\text{ }^{\circ}\text{C}$ ทั้งนี้ ตามปกติที่อุณหภูมิต่างๆ กัน การทำซินเตอร์ที่เกิดจากการระเหยของสารประกอบที่มีความอันไออกซ์ (Vapor pressure) สูงจะมีน้อยกว่า และจะทำให้วัสดุมีองค์ประกอบทางเคมีที่ใกล้เคียงกับส่วนผสมตอนเริ่มต้นที่สุด



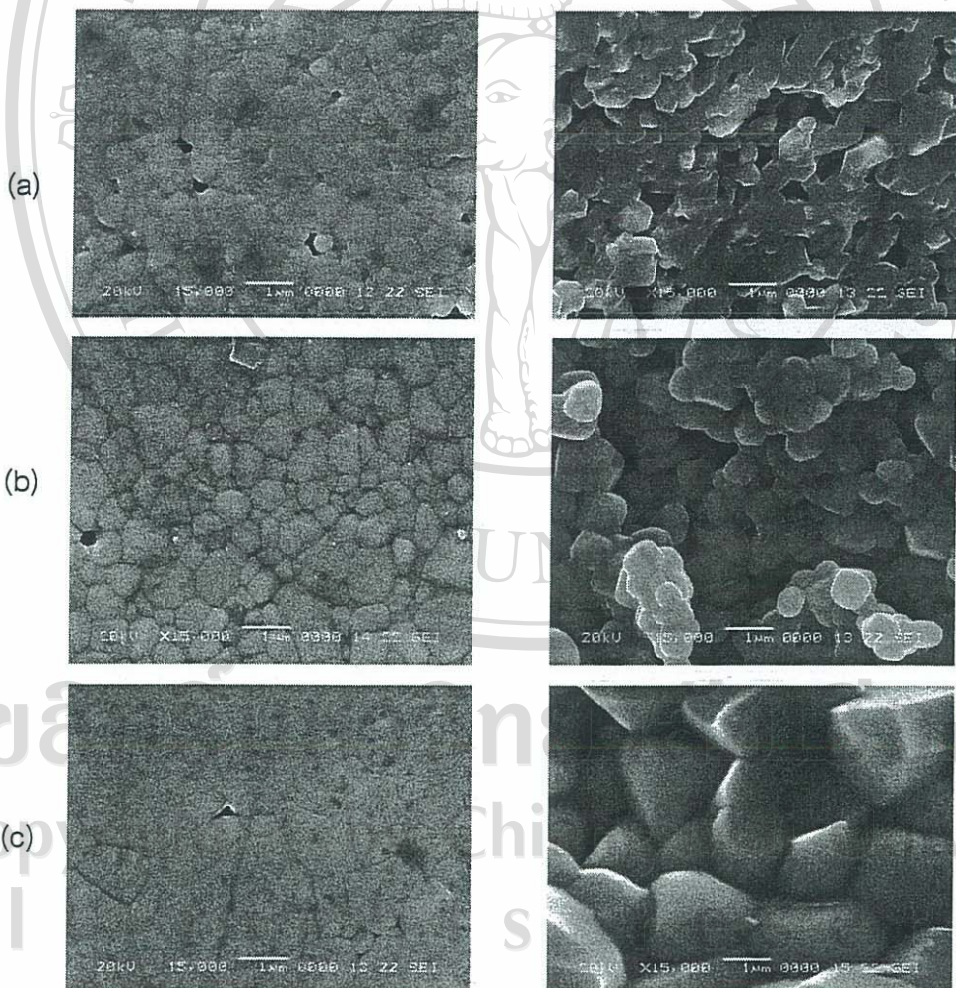
รูป 4.1 แผนภาพเลี้ยวเบนของรังสีเอกซ์ของผงบิสมัลโซเดียมติตาเนตที่อุณหภูมิแคลร์ไซน์ต่างๆ

4.1.2 เซรามิกบิสมัลโซเดียมติตาเนต

เมื่อนำผงแคลร์ไซน์ที่อัดเป็นเม็ด นำไปเผาซินเตอร์ที่ช่วงอุณหภูมิต่างๆ พบว่า ดังแต่ อุณหภูมิ $1000\text{ }^{\circ}\text{C}$ ขึ้นไป เซรามิก BNT จะมีความหนาแน่นสูงกว่า 95% ของความหนาแน่นในทางทฤษฎี และจากแนวโน้มที่วัดได้พบว่า ความหนาแน่นจะสูงขึ้นเมื่ออุณหภูมิซินเตอร์สูงขึ้น รูป 4.2 แสดงแผนภาพการเลี้ยวเบนของรังสีเอกซ์ของเซรามิก BNT ที่ถูกเผาที่อุณหภูมิซินเตอร์ตั้งแต่ 1000 ถึง $1100\text{ }^{\circ}\text{C}$ จะสังเกตได้ว่า ตำแหน่งที่เป็นพีคจะมีความกว้างของพีคและความเข้มสัมพัทธ์ไม่ต่างกัน และเมื่อเทียบกับผงที่แคลร์ไซน์พบว่า มีแผนภาพการเลี้ยวเบนของรังสีเอกซ์เป็นเช่นเดียวกัน จึง



รูป 4.2 แผนภารการเรย์เวนของรังสีเอกซ์ของเซรามิก BNT ที่เผาที่อุณหภูมิชินเตอร์ต่างๆ



รูป 4.3 ภาพโคลงสร้างจุลภาคของพื้นผิว (ซ้าย) และรอยหัก (ขวา) ของเซรามิก BNT ที่เผาชินเตอร์ที่อุณหภูมิ (a) 1000 °C (b) 1050 °C และ (c) 1100 °C

อาจกล่าวได้ว่า การเผาซินเตอร์ที่อุณหภูมิสูงไม่ทำให้โครงสร้างผลึกของ BNT เปลี่ยนไป อย่างไรก็ตาม การศึกษาโครงสร้างอุลภาคของเซรามิก BNT ด้วยกล้องจุลทรรศน์อิเล็กตรอนแบบสองกราดพบว่า เมื่ออุณหภูมิสูงขึ้น จะทำให้ขนาดของเกรนใหญ่ขึ้นและมีรูพุนลดลง ดังแสดงในรูป 4.3 ซึ่งสอดคล้องกับแนวโน้มของความหนาแน่นที่วัดได้

สำหรับสมบัติอื่นๆของเซรามิก BNT จะได้ถูกอธิบายร่วมกับเซรามิก BNT ที่มีสารเจือชั้นต่างๆดังรายละเอียดข้างล่าง

4.2 บิสมัลโซเดียมติดตานะเจือด้วยเซอร์โคเนียม

4.2.1 ผลจากการเตรียมผงบิสมัลโซเดียมติดตานะที่เจือด้วยเซอร์โคเนียม

เตรียมผงบิสมัลโซเดียมติดตานะที่เจือด้วยเซอร์โคเนียม ด้วยวิธีการนำสารตั้งต้นคือ Bi_2O_3 , Na_2CO_3 , TiO_3 และ ZrO_2 มาทำการบดอย่างผสมด้วยวิธีผสมแบบ ball – milling ในอัตราส่วนตั้งสมการ

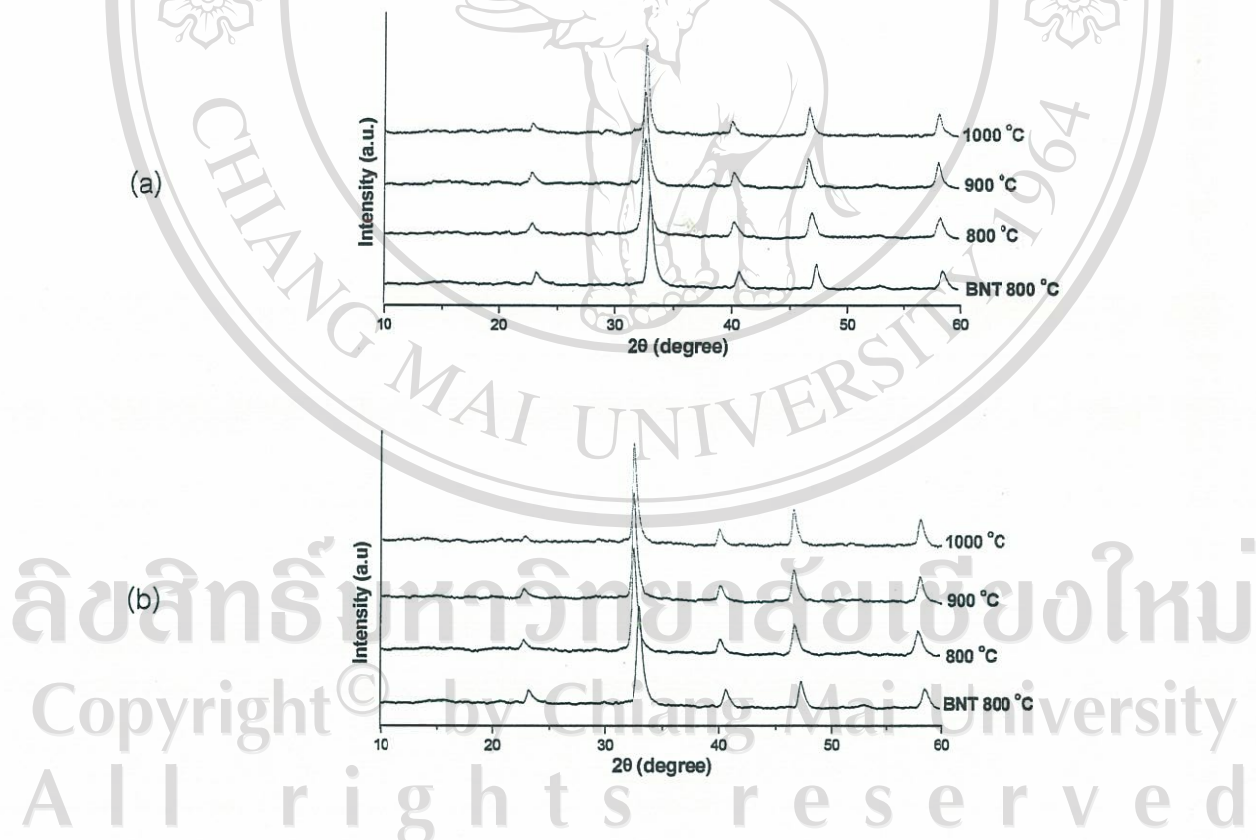


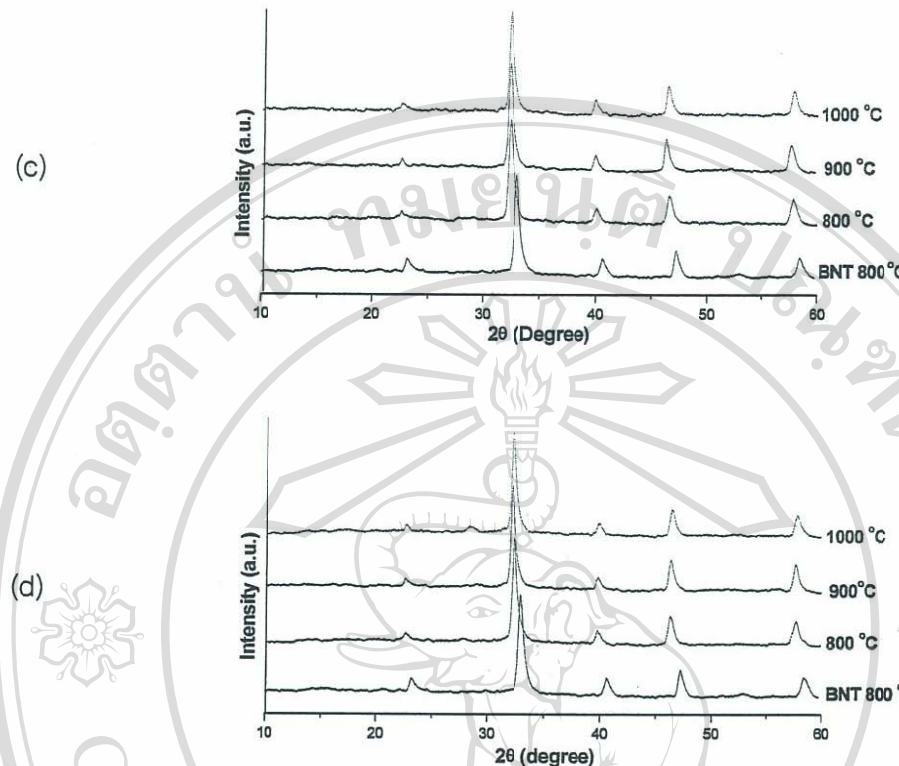
โดยที่ $x = 0.05, 0.10, 0.15, 0.20$ ตามลำดับ แล้วนำไปทำการศึกษาหาเงื่อนไขในการเผาเคลือบที่เหมาะสมต่อการเตรียมผง BNT ที่เจือด้วยเซอร์โคเนียม โดยการนำสารที่ผ่านการเผาเคลือบที่อุณหภูมิต่างๆ นั้นไปตรวจสอบเพื่อทดสอบด้วยเทคนิคการเลี้ยวเบนของรังสีเอกซ์ (XRD) และการตรวจสอบโครงสร้างอุลภาคด้วยกล้องจุลทรรศน์อิเล็กตรอนแบบสองกราด (SEM)

ผลการตรวจสอบเฟสที่เกิดขึ้นด้วยเทคนิคการเลี้ยวเบนด้วยรังสีเอกซ์ (XRD) ของผง BNT ที่เจือด้วยเซอร์โคเนียมที่เตรียมได้ในงานวิจัยนี้เมื่อทำการเผาเคลือบที่อุณหภูมิ 800°C , 900°C และ 1000°C เป็นเวลา 2 ชั่วโมง โดยมีอัตราการขึ้น-ลงของอุณหภูมิ $5^\circ\text{C}/\text{นาที}$ พบว่าทุกอุณหภูมิการเผาเคลือบสามารถใช้เตรียมสาร BNT เจือด้วยเซอร์โคเนียมได้ เพราะพื้นผิวของภาพในเตาอุณหภูมนั้นจะได้ฟื้คที่ไม่แตกต่างกันมากนักเมื่อเทียบกับพื้นผิวของ BNT บริสุทธิ์ และยังคงความเป็นเฟสเดียว (single phase) ดังแสดงในรูป 4.4 อย่างไรก็ตาม จะสังเกตเห็นว่าตำแหน่งของพื้นที่คงที่ของ BNT ที่เจือด้วยเซอร์โคเนียม จะขยายไปทางซ้ายมือ เมื่อเทียบกับตำแหน่งของพื้นที่ใน BNT บริสุทธิ์ แสดงให้เห็นว่าการเติมเซอร์โคเนียมลงในแลตทิซของ BNT ไม่ทำให้โครงสร้างผลึกเปลี่ยนไปแต่จะทำให้ขนาดของหน่วยเซลล์ (Unit cell) โตขึ้นเล็กน้อย และขนาดจะเพิ่มขึ้นตามปริมาณของเซอร์โคเนียมที่เติมลงไป ผลการวิเคราะห์นี้สอดคล้องกับความจริงที่ว่าขนาดของ

ไอโอนเซอร์โคเนียม ($r_{Zr^{4+}}=0.72$ Å) มีขนาดใหญ่กว่าไอโอนไททาเนียม ($r_{Ti^{4+}}=0.605$ Å) และเมื่อไอโอนเซอร์โคเนียมเข้าไปแทนที่ไอโอนไททาเนียม จึงทำให้ขนาดของหน่วยเซลล์ใหญ่ขึ้น

ถึงแม้ว่าในการเตรียมผง BNT เจือด้วยเซอร์โคเนียม แสดงให้เห็นว่าในช่วงอุณหภูมิที่ศึกษา สามารถใช้เตรียมผงที่เป็นเฟสเดียวได้ทุกอุณหภูมิ แต่เมื่อคำนึงถึงว่า ที่อุณหภูมิสูงขึ้นจะมีอัตราการสูญเสียวัสดุที่ระหบอย่างมากกว่าที่อุณหภูมิต่ำและทำให้วัสดุที่เตรียมได้มีองค์ประกอบทางเคมีต่างไปจากปริมาณสัมพัทธ์ของสารตั้งต้นที่ใช้ในการสังเคราะห์ ดังนั้น ในกรณีทดลองนี้จึงเลือกใช้ผงที่เตรียมได้จากการเผาแคลไนท์ 800°C ในการเตรียมเซรามิก BNT ที่เจือด้วยเซอร์โคเนียม

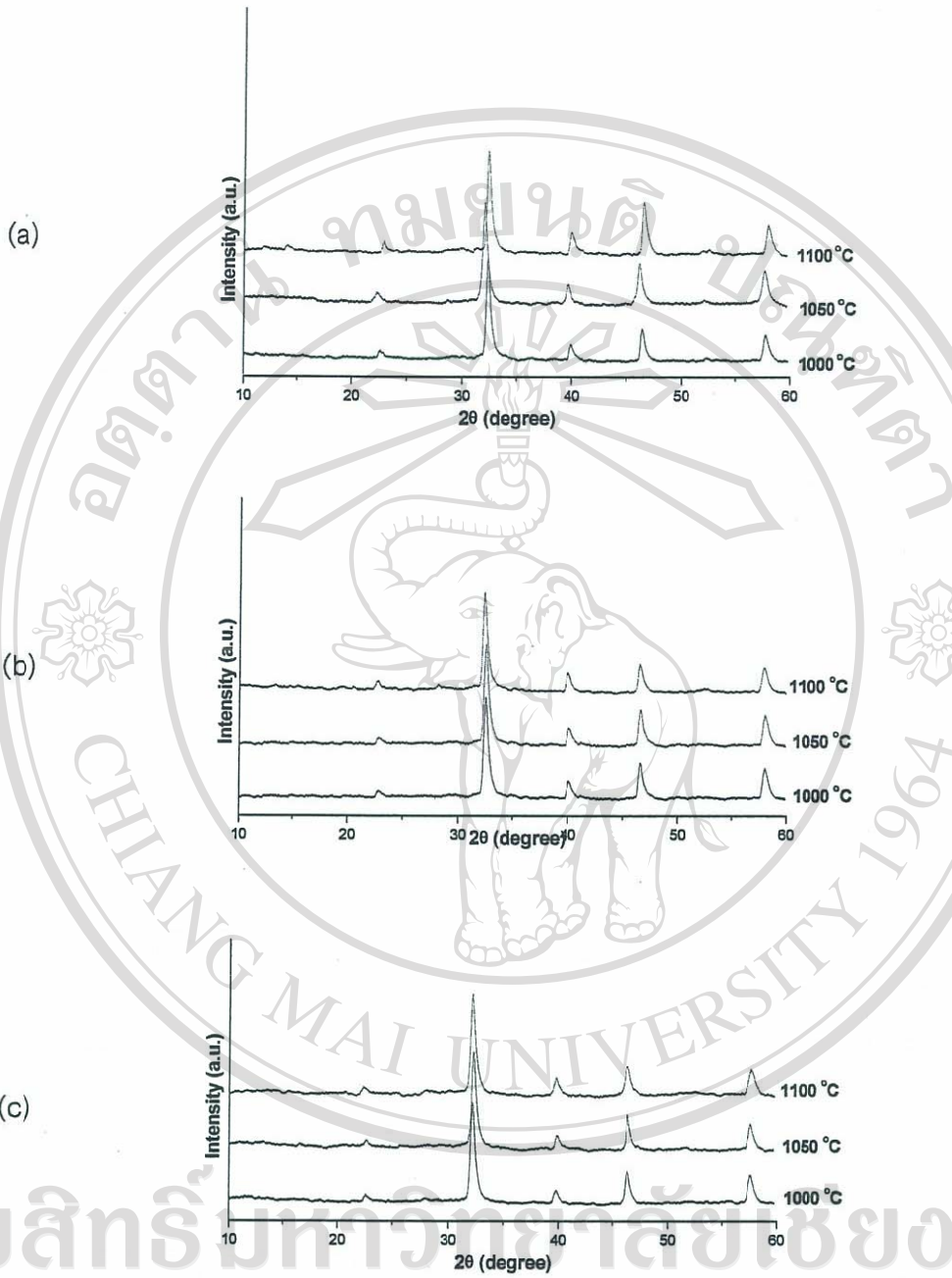




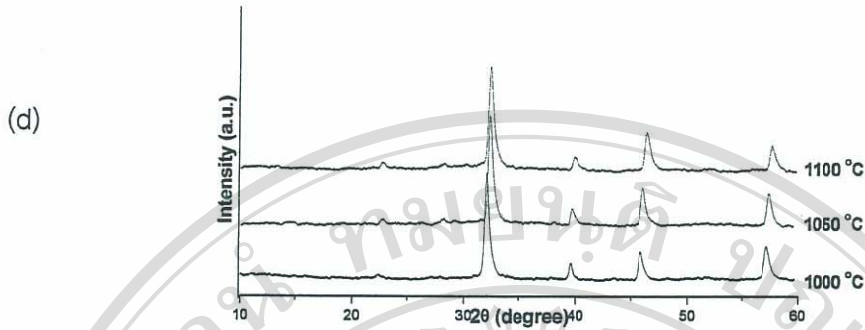
รูป 4.4 แผนภาพเลี่ยวนะของรังสีเอกซ์ของ BNT เจือด้วย (a) 5mol%Zr (b) 10mol%Zr (c) 15mol%Zr (d) 20mol%Zr

4.2.2 ผลจากการเติมเซรามิกบิสมัลโซเดียมติดตามที่เจือด้วยเซอร์โคเนียม

หลังจากเติมเซรามิกโดยการนำผง BNT ที่เจือด้วยเซอร์โคเนียมที่ได้มาทำการอัดขึ้นรูปแล้วนำไปทำการศึกษาหาเนื้อนิ่งในการเผาซินเตอร์ที่เหมาะสมต่อการเติมเซรามิก โดยการนำชิ้นงานเซรามิกที่ผ่านการเผาซินเตอร์ที่อุณหภูมิต่าง ๆ นั้นไปตรวจสอบเพื่อวิเคราะห์คุณภาพด้วยเทคนิคการเลี้ยวเบนของรังสีเอกซ์ (XRD) และการตรวจสอบโครงสร้างจุลทรรศน์โดยเล็กตรอนแบบส่องกราด (SEM) หลังจากที่นำผง BNT ไปทำการอัดขึ้นรูปแล้วนำไปทำการเผาซินเตอร์ที่อุณหภูมิ 1000 - 1100 °C เป็นเวลา 2 ชั่วโมง โดยมีอัตราการขึ้น-ลงของอุณหภูมิ 5 °C/นาที จึงนำชิ้นงานที่ได้มาตรวจสอบเพื่อเก็บข้อมูลด้วยเทคนิคการเลี้ยวเบนด้วยรังสีเอกซ์ (XRD) ดังแสดงในรูป 4.5



Copyright[©] by Chiang Mai University
All rights reserved



รูป 4.5 แผนภาพการเลี้ยงบนของรังสีเอกซ์ของเซรามิก BNT เจือด้วย (a) 5mol%Zr (b) 10mol%Zr (c) 15mol%Zr (d) 20mol%Zr ที่อุณหภูมิชินเตอร์ต่างๆ

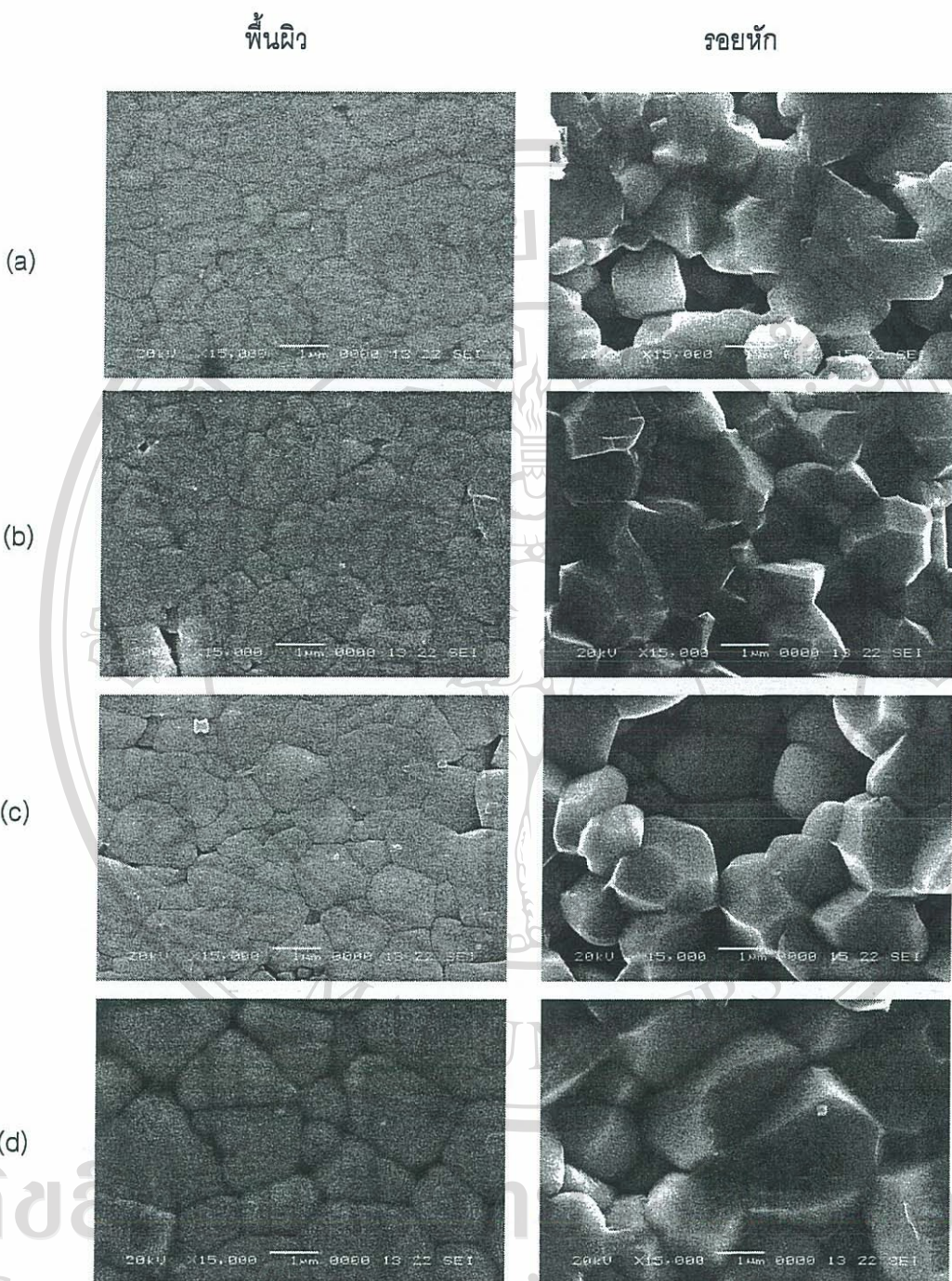
จากนั้นทำการวิเคราะห์โครงสร้างจุลภาค ด้วยกล้องจุลทรรศน์อิเล็กตรอนแบบส่องกราด (SEM) โดยการวิเคราะห์โครงสร้างจุลภาคนี้ได้ใช้กำลังขยายที่ 15,000 เท่า โดยทำการตรวจสอบลักษณะของโครงสร้างทางจุลภาคบริเวณพื้นผิวและบริเวณรอยหัก ดังแสดงในรูป 4.6 ถึง 4.8

พิจารณา rup 4.6-4.8 บริเวณรอยหักของเซรามิก พบค่ำเมื่อทำการเผาชินเตอร์ที่อุณหภูมิ 1000 °C เซรามิก BNT ที่มีปริมาณเซอร์โคเนียม 5 mol% และ 10 mol% เป็นการแตกหักแบบทะลุผ่านเกรน ส่วนเซรามิก BNT ที่มีปริมาณเซอร์โคเนียม 15 mol% และ 20 mol% เป็นการแตกหักแบบตามขอบเกรน

เมื่อทำการเผาชินเตอร์ที่อุณหภูมิ 1050 °C เซรามิก BNT ที่มีปริมาณเซอร์โคเนียม 5 mol% เป็นการแตกหักแบบทะลุผ่านเกรน ส่วนเซรามิก BNT ที่มีปริมาณเซอร์โคเนียม 10 mol%, 15 mol% และ 20 mol% เป็นการแตกหักแบบตามขอบเกรน

เมื่อทำการเผาชินเตอร์ที่อุณหภูมิ 1100 °C เซรามิก BNT ที่เจือด้วยเซอร์โคเนียมทั้งหมด เป็นการแตกหักแบบตามขอบเกรน

จากการวิเคราะห์บริเวณพื้นผิวของเซรามิกพบว่า ปริมาณรูปฐานจะลดลงเมื่อทำการเผาชินเตอร์ที่อุณหภูมิสูงขึ้น ส่วนขนาดของอนุภาคจะใหญ่ขึ้นเมื่อทำการเผาชินเตอร์ที่อุณหภูมิที่สูงขึ้น เนื่องจากการเคลื่อนที่ของขอบเกรน โดยอาศัยแรงดันที่เกิดจากความแตกต่างของพลังงานอิสระ ของขอบเกรนทั้งสองข้าง ขอบเกรนจะเคลื่อนที่เข้าหากันด้วยศูนย์กลางของความโค้ง ทำให้ขอบเกรนเคลื่อนที่เข้าหากันเป็นการลดพื้นที่ของขอบเกรน ทำให้เกรนมีขนาดใหญ่ขึ้น จากนั้นจึงนำเซรามิก BNT ที่เจือด้วยเซอร์โคเนียมไปทำการตรวจสอบสมบัติทางกายภาพ และสมบัติเชิงกลต่อไป

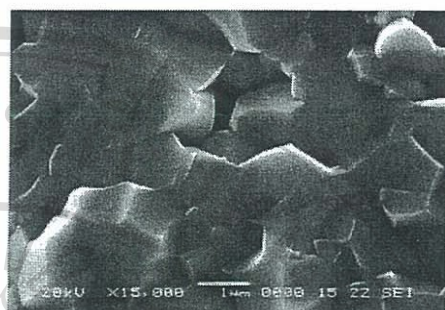
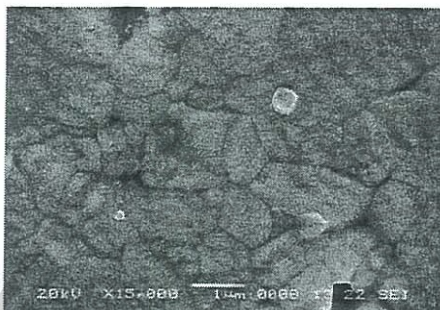


รูป 4.6 ภาพ SEM ของเซรามิก BNT เจือด้วย (a) 5mol%Zr (b) 10mol%Zr (c) 15mol%Zr (d)
20mol%Zr ที่ถูกเผาชินเตอร์ที่อุณหภูมิ 1000 °C

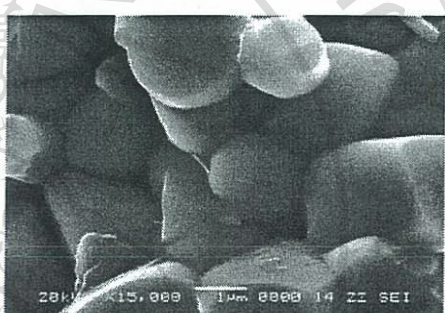
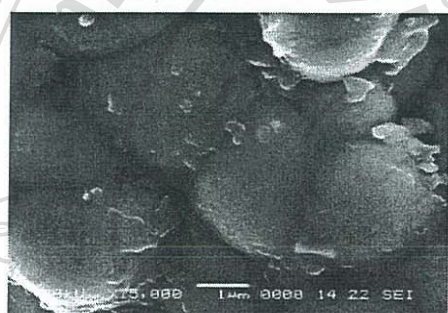
พื้นผิว

รอยหัก

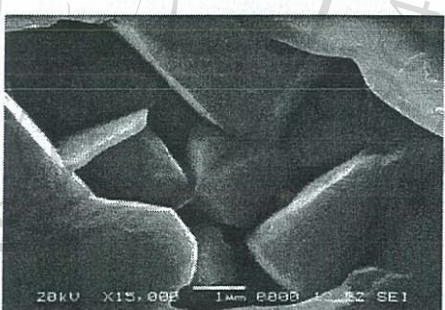
(a)



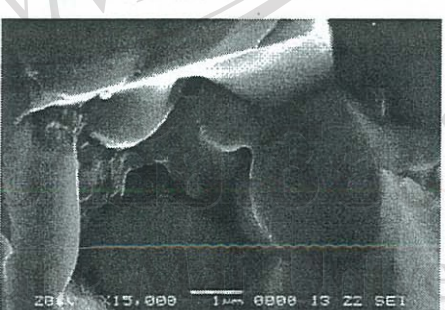
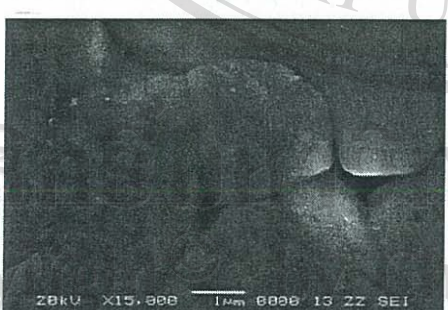
(b)



(c)



(d)

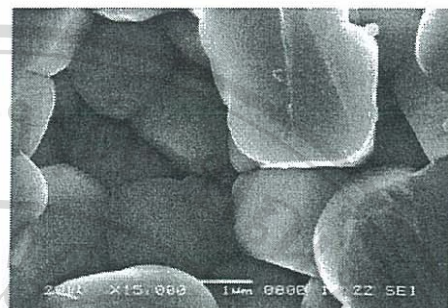
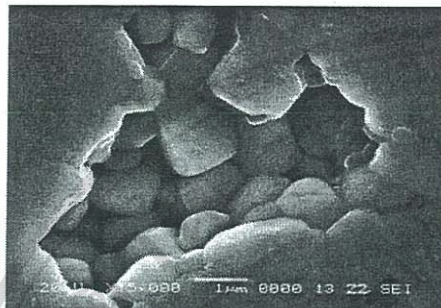


รูป 4.7 ภาพ SEM ของเซรามิก BNT เจือด้วย (a) 5mol%Zr (b) 10mol%Zr (c) 15mol%Zr (d) 20mol%Zr ที่ถูกเผาชิ้นเตอร์ที่อุณหภูมิ 1050 °C

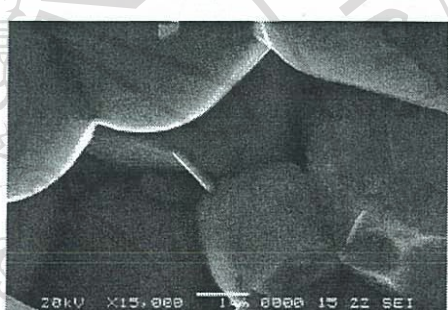
พื้นผิว

รอยหัก

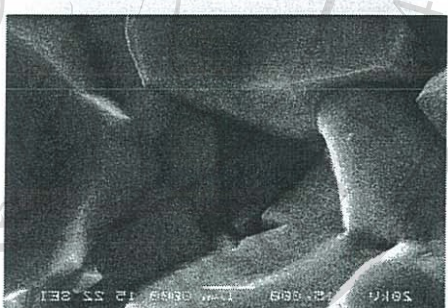
(a)



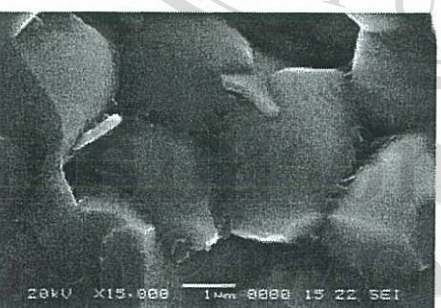
(b)



(c)



(d)



รูป 4.8 ภาพ SEM ของเซรามิก BNT เจือด้วย (a) 5mol%Zr (b) 10mol%Zr (c) 15mol%Zr (d)
20mol%Zr ที่ถูกเผาชินเตอร์ที่อุณหภูมิ 1100 °C

4.2.3 ผลการตรวจสอบสมบัติทางกายภาพของเซรามิก

นำชิ้นงานเซรามิก BNT และเซรามิก BNT ที่เจือด้วยเซอร์โคเนียม ที่ผ่านการเผาชินเตอร์ ในช่วงอุณหภูมิ $1000\text{-}1100\text{ }^{\circ}\text{C}$ เป็นเวลา 2 ชั่วโมง โดยมีอัตราการขึ้น-ลงของอุณหภูมิ $5\text{ }^{\circ}\text{C}/\text{นาที}$ มาทำการตรวจสอบสมบัติทางกายภาพ โดยจะทำการสังเกตจากลักษณะ คำนวนหาค่าความหนาแน่น และค่าร้อยละการลดตัวเชิงเส้น มีรายละเอียดดังนี้

การตรวจสอบค่าความหนาแน่นของเซรามิก BNT และเซรามิก BNT ที่มีเซอร์โคเนียมผสมอยู่ตั้งแต่ $5\text{mol}\%$, $10\text{mol}\%$, $15\text{mol}\%$ และ $20\text{mol}\%$ ตามลำดับซึ่งผลการทดสอบที่ได้แสดงดังในตาราง 4.1

ตาราง 4.1 แสดงค่าความหนาแน่นของเซรามิก BNT และเซรามิก BNT ที่เจือด้วยเซอร์โคเนียม

Zr (mol%)	ความหนาแน่น (g/cm ³)		
	1000 °C	1050 °C	1100 °C
0	5.87	5.89	5.97
5	5.70	5.80	5.73
10	5.72	5.81	5.90
15	5.84	5.86	5.92
20	5.90	6.12	6.17

จากผลการทดสอบในตาราง 4.1 พบร่ว่าค่าความหนาแน่นของเซรามิก BNT อยู่ในช่วง $5.87\text{-}5.97\text{ g/cm}^3$ มีค่าสูงสุดที่อุณหภูมิ $1100\text{ }^{\circ}\text{C}$ คือเท่ากับ 5.97 g/cm^3 และค่าความหนาแน่นของเซรามิก BNT ที่เจือด้วยเซอร์โคเนียมอยู่ในช่วง $5.70\text{-}6.17\text{ g/cm}^3$ มีค่าสูงสุดที่อุณหภูมิ $1100\text{ }^{\circ}\text{C}$ คือเท่ากับ 6.17 g/cm^3

ดังนั้น เซรามิก BNT มีค่าความหนาแน่นมากขึ้น เมื่อทำการเผาชินเตอร์ที่อุณหภูมิสูงขึ้น และเมื่อทำการเผาชินเตอร์ที่อุณหภูมิเดียวกันของเซรามิก BNT ที่เจือด้วยเซอร์โคเนียม พบร่ว่าถ้าปริมาณของเซอร์โคเนียมเพิ่มขึ้น ความหนาแน่นก็จะมีค่ามากขึ้นด้วย แต่เมื่อทำการเปรียบเทียบค่าความหนาแน่นระหว่างเซรามิก BNT กับเซรามิก BNT ที่เจือด้วยเซอร์โคเนียม พบร่ว่าเซรามิก BNT + $20\text{mol}\% \text{ Zr}$ เท่านั้นที่มีค่าความหนาแน่นมากกว่าเซรามิก BNT

การตรวจสอบค่าเบอร์เซ็นต์การหดตัวเชิงเส้นของเซรามิก BNT และเซรามิก BNT ที่มีเซอร์โคเนียมผสมอยู่ด้วยแต่ 5mol%, 10mol%, 15mol% และ 20mol% ตามลำดับ ซึ่งผลการทดสอบที่ได้แสดงในตาราง 4.2

ตาราง 4.2 แสดงค่าเบอร์เซ็นต์การหดตัวเชิงเส้นของเซรามิก BNT และเซรามิก BNT ที่เจือด้วยเซอร์โคเนียม

Zr (mol%)	เบอร์เซ็นต์การหดตัวเชิงเส้น (%)		
	1000 °C	1050 °C	1100 °C
0	19.08	20.07	20.68
5	15.69	15.88	17.05
10	15.91	17.59	18.02
15	16.48	18.00	18.10
20	19.88	20.13	21.33

จากตาราง พบร่วมค่าเบอร์เซ็นต์การหดตัวเชิงเส้นของเซรามิก BNT อุ่นในช่วง 19.08 – 20.68 มีค่าสูงสุดที่อุณหภูมิ 1100 °C คือเท่ากับ 20.68 และค่าเบอร์เซ็นต์การหดตัวเชิงเส้นของเซรามิก BNT ที่เจือด้วยเซอร์โคเนียมอยู่ในช่วง 15.69 – 21.33 มีค่าสูงสุดที่อุณหภูมิ 1100 °C คือเท่ากับ 21.33 ซึ่งคาดว่าการหดตัวมีผลมาจากการเคลื่อนตัวเชื่อมติดกันของอนุภาคในขณะทำการเผาซินเตอร์ดังที่ได้กล่าวมาแล้วดังนั้น เซรามิก BNT มีค่าเบอร์เซ็นต์การหดตัวเชิงเส้นมากขึ้น เมื่อทำการเผาซินเตอร์ที่อุณหภูมิสูงขึ้นและเมื่อทำการเผาซินเตอร์ที่อุณหภูมิเดียวกันของเซรามิก BNT ที่เจือด้วยเซอร์โคเนียม พบร่วมค่าประมาณของเซอร์โคเนียมเพิ่มขึ้น เบอร์เซ็นต์การหดตัวเชิงเส้นก็จะมีค่ามากขึ้นด้วย แต่เมื่อทำการเปรียบเทียบค่าเบอร์เซ็นต์การหดตัวเชิงเส้นระหว่างเซรามิก BNT กับเซรามิก BNT ที่เจือด้วยเซอร์โคเนียมพบว่าเซรามิก BNT + 20mol%Zr เท่านั้นที่มีค่าเบอร์เซ็นต์การหดตัวเชิงเส้นมากกว่าเซรามิก BNT ซึ่งแนวโน้มสอดคล้องกับค่าความหนาแน่นที่วัดได้

4.2.4 ผลการตรวจสอบสมบัติเชิงกลของเซรามิก

นำชิ้นงานเซรามิก BNT และเซรามิก BNT ที่เจือด้วยเซอร์โคเนียม ที่ผ่านการเผาชินเตอร์ ในช่วงอุณหภูมิ $1000\text{-}1100\text{ }^{\circ}\text{C}$ เป็นเวลา 2 ชั่วโมง โดยมีอัตราการขึ้น-ลงของอุณหภูมิ $5\text{ }^{\circ}\text{C}/\text{นาที}$ มาทำการทดสอบด้วยเครื่องวัดความแข็งทางจลภาค โดยหัวกดแบบวิกเกอร์และแบบนูป ซึ่งใช้แรงในการกด 1,000 กรัม และ 300 กรัมตามลำดับ แล้วนำค่าที่ได้ไปหาค่าความแข็งในหน่วยวิกเกอร์ (HV) และนูป (HK) ค่ามอดูลัสของยัง (E) และค่าความต้านทานรอยแตก (K_{IC})

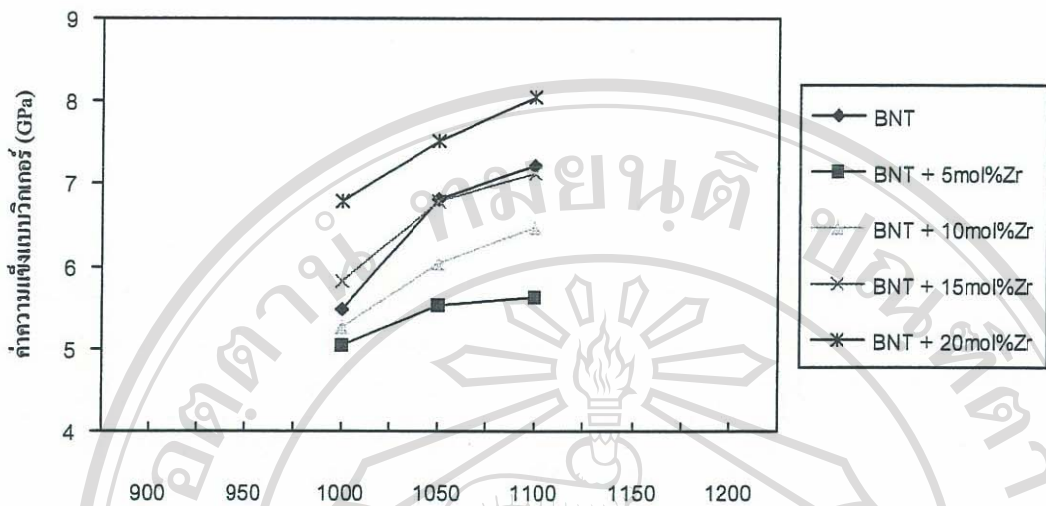
4.2.4.1 การกดแบบวิกเกอร์ (Vickers Indentation)

การตรวจสอบค่าความแข็งแบบวิกเกอร์ของเซรามิก BNT และเซรามิก BNT ที่มีเซอร์โคเนียมผสมอยู่ตั้งแต่ 5mol%, 10mol%, 15mol% และ 20mol% ตามลำดับ ซึ่งผลการทดสอบที่ได้แสดงในตาราง 4.3

ตาราง 4.3 แสดงค่าความแข็งแบบวิกเกอร์ของเซรามิก BNT และเซรามิก BNT ที่เจือด้วยเซอร์โคเนียม

Zr (mol%)	ค่าความแข็งแบบวิกเกอร์ (GPa)		
	1000 °C	1050 °C	1100 °C
0	5.47	6.82	7.24
5	5.04	5.53	5.63
10	5.27	6.03	6.48
15	5.81	6.80	7.12
20	6.80	7.53	8.06

จากผลการทดสอบในตาราง 4.3 สามารถนำไปเขียนกราฟแสดงความสัมพันธ์ระหว่างค่าความแข็งแบบวิกเกอร์กับอุณหภูมิในการเผาชินเตอร์ ดังแสดงในรูป 4.9



รูป 4.9 กราฟแสดงความสัมพันธ์ระหว่างค่าความแข็งแบบวิกเกอร์กับอุณหภูมิในการเผาชินเตอร์

พิจารณากราฟ 4.9 ซึ่งเป็นกราฟแสดงความสัมพันธ์ระหว่างค่าความแข็งแบบวิกเกอร์ของเซรามิกกับอุณหภูมิในการเผาชินเตอร์ พบร่วมกับค่าความแข็งของเซรามิก BNT อยู่ในช่วง 5.47 – 7.24 GPa มีค่าสูงสุดที่อุณหภูมิ 1100 °C คือเท่ากับ 7.24 GPa และค่าความแข็งของเซรามิก BNT ที่เจือด้วยเซอร์โคเนียมอยู่ในช่วง 5.04 – 8.06 GPa มีค่าสูงสุดที่อุณหภูมิ 1100 °C คือเท่ากับ 8.06 GPa

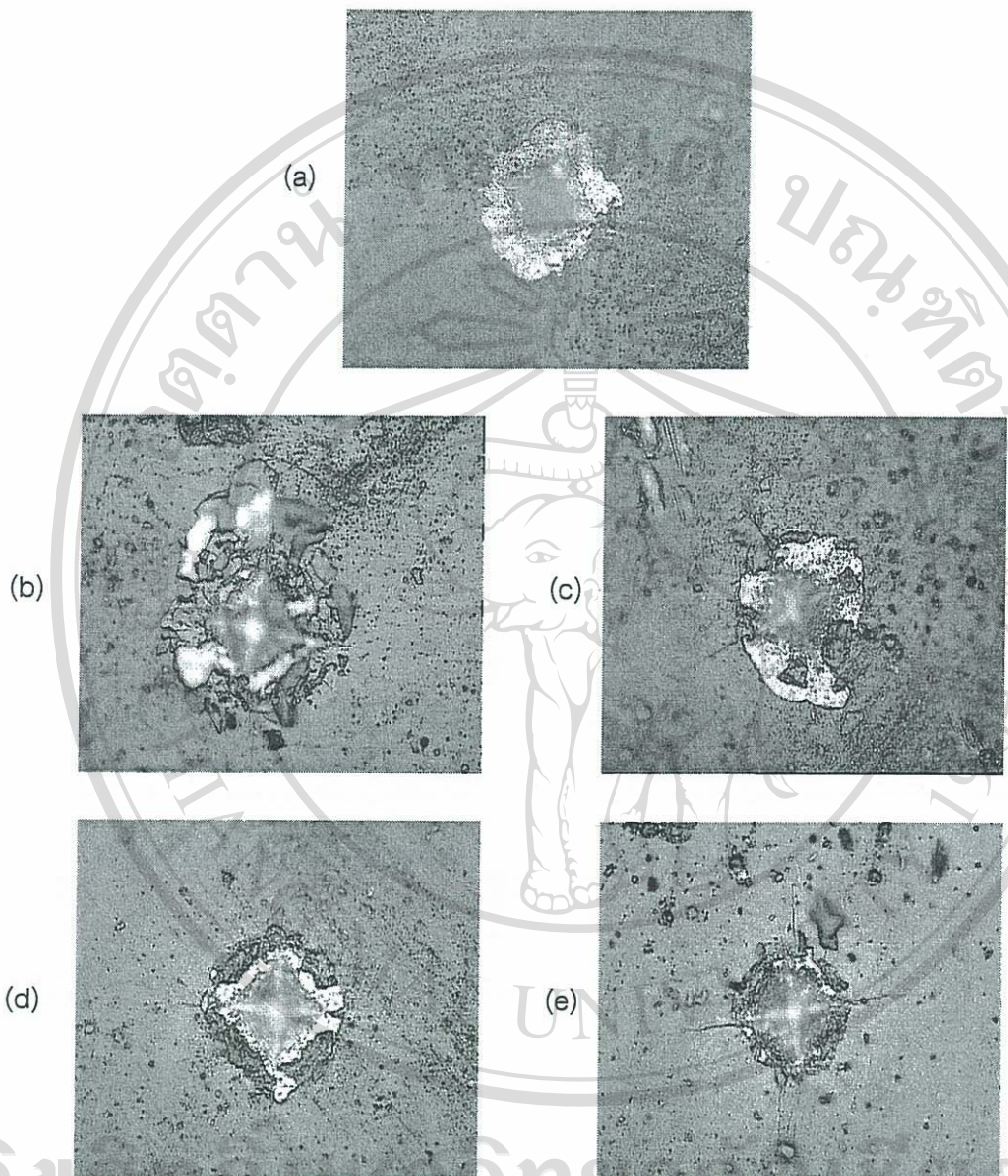
ดังนั้น เซรามิก BNT มีค่าความแข็งแบบวิกเกอร์มากขึ้น เมื่อทำการเผาชินเตอร์ที่อุณหภูมิสูงขึ้น และเมื่อทำการเผาชินเตอร์ที่อุณหภูมิเดียวกันของเซรามิก BNT ที่เจือด้วยเซอร์โคเนียม พบร่วมกับริมาณของเซอร์โคเนียมเพิ่มขึ้น ค่าความแข็งแบบวิกเกอร์จะมีค่ามากขึ้นด้วยแต่เมื่อทำการเบรียบเทียบค่าความแข็งแบบวิกเกอร์ระหว่างเซรามิก BNT กับเซรามิก BNT ที่เจือด้วยเซอร์โคเนียม พบร่วมกับเซรามิก BNT + 20mol%Zr เท่านั้นที่มีค่าความแข็งแบบวิกเกอร์สูงกว่าเซรามิก BNT

จากการวิจัยของ วรรณาลัย ไชยสาร [25] ที่ศึกษาถึงสมบัติเชิงกลในเซรามิกแบบเรียวม ไททาเนต-เลดเซอร์โคเนตไททาเนต (PZT-BT) พบร่วมกับค่าความแข็งแบบวิกเกอร์อยู่ในช่วง 3 – 5 GPa และงานวิจัยของ ขันทอง ทรงศิริ [26] ที่ศึกษาถึงสมบัติเชิงกลของเซรามิกผสานเลดแมกนีเซียมไนโตรเจต – เลดเซอร์โคเนตไททาเนต (PMN-PZT) พบร่วมกับค่าความแข็งแบบวิกเกอร์อยู่ในช่วง 4 – 5 GPa กล่าวได้ว่า ค่าความแข็งแบบวิกเกอร์ของเซรามิกที่เตรียมได้ในกราฟดังนี้มีค่าที่สูงกว่า PZT-BT และ PMN-PZT เล็กน้อย

เมื่อพิจารณาข้อถ่ายของรอยกดแบบวิกเกอร์ ในรูป 4.10 ถึง 4.12 พบร่วมกับการทดสอบน้ำหนักในการกด 1,000 กรัมนั้นอาจจะมากเกินไป เนื่องจากรอยกดที่ได้จะจะลึกลงไปในเนื้อเซรามิก และเกิดความเสียหายบริเวณขอบ ๆ รอยกด ทำให้เห็นขอบของรอยกดและรอยแตก (crack) ที่เกิดจากการกดตรงบริเวณมุนหั้ง 4 ด้านของรอยกดไม่ซัดเจน ทำให้ค่าความแข็งแบบวิกเกอร์ที่คำนวณได้นั้นอาจเกิดความคลาดเคลื่อน สำหรับคุณภาพที่ใช้ช่วงน้ำหนักตั้งแต่ 600-900 กรัม ไม่มีอยู่ในชุดคุณภาพที่การทดลองและการเลือกใช้แรงในการกด 500 กรัม พบร่วมกับรอยกดที่ซัดเจน จึงจำเป็นต้องเลือกใช้แรงในการกด 1,000 กรัม อย่างไรก็ตาม แนวโน้มของค่าความแข็งแบบวิกเกอร์ที่ได้ ดูเหมือนว่าจะแปรผันตามความหนาแน่นของเซรามิก ที่ทุกๆ อุณหภูมิ ชีนเตอร์ นั่นคือ ชิ้นงานที่มีความหนาแน่นที่สุดจะมีความแข็งมากที่สุด

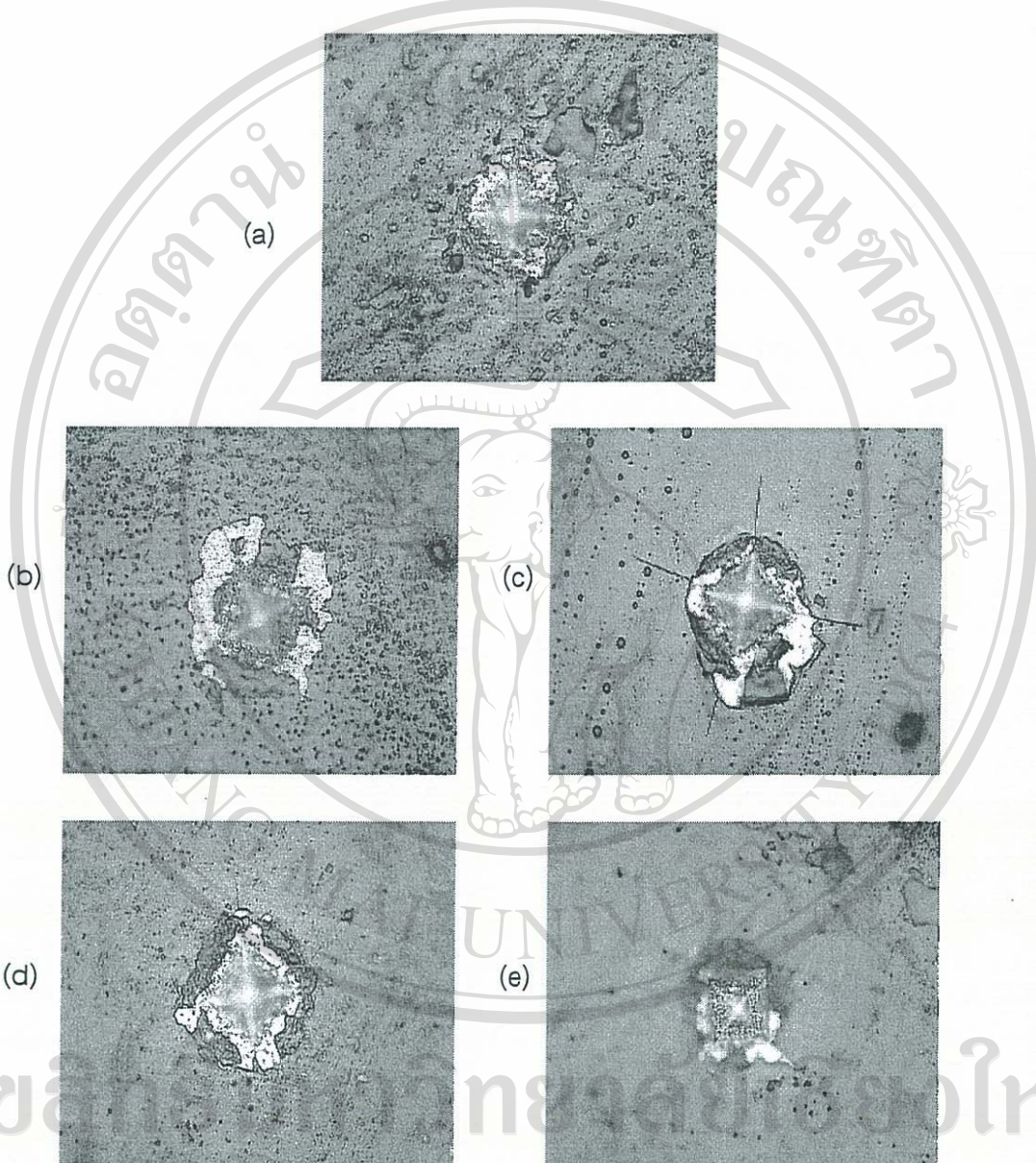


ลิขสิทธิ์มหาวิทยาลัยเชียงใหม่
Copyright © by Chiang Mai University
All rights reserved

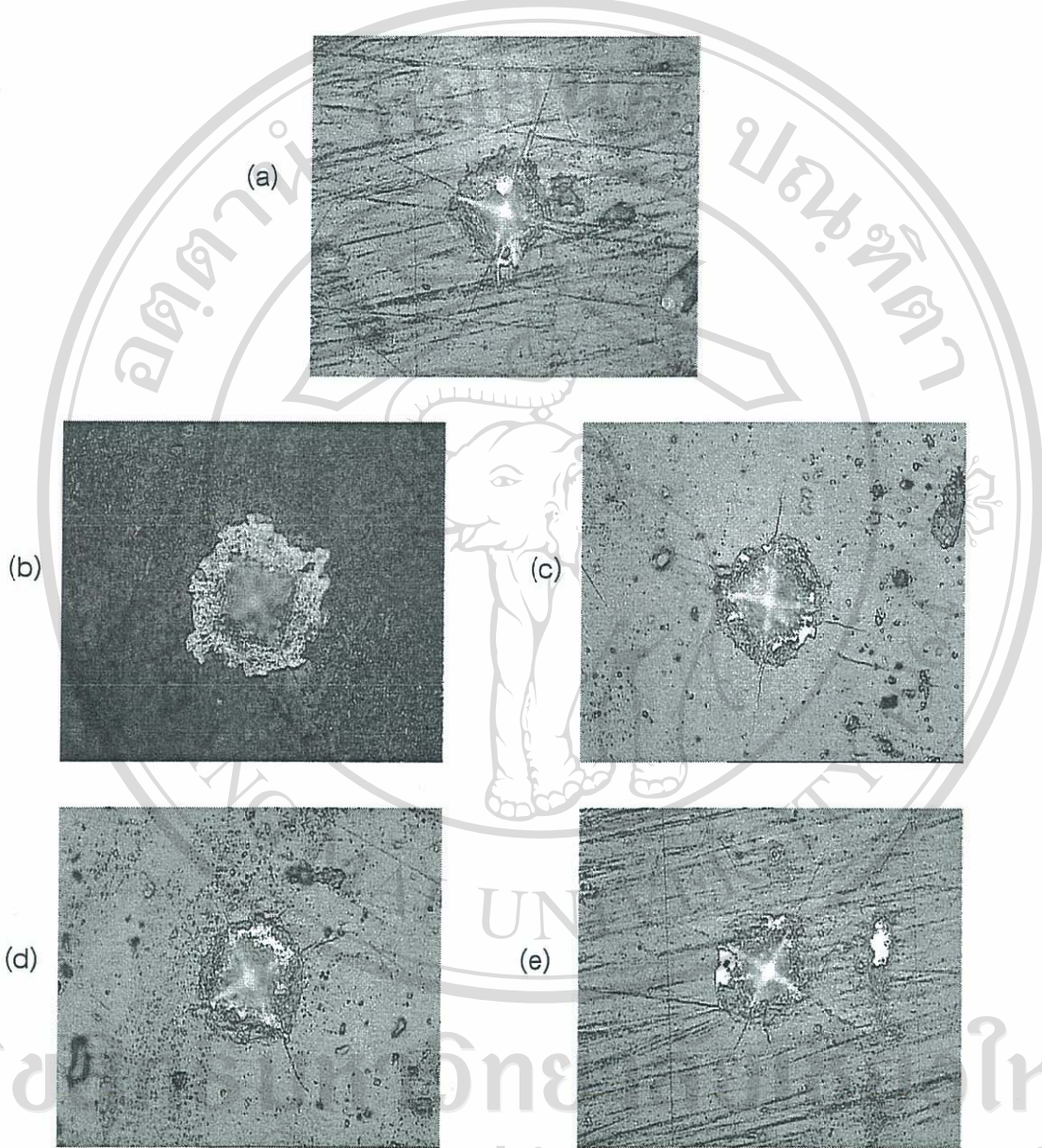


อิปสาร์เมษห้าวอย่าเด้อร้อยใน Copyright[©] by Chiang Mai University

รูป 4.10 ภาพถ่ายจากกล้องจุลทรรศน์แสงข้องเรămิก BNT ที่เจือด้วย (a) 0mol%Zr (b) 5mol%Zr (c) 10mol%Zr (d) 15mol%Zr และ (e) 20mol%Zr ที่ถูกเผาชິນເຕອຮີທີ່ຄຸນໜູນ 1000 °C



รูป 4.11 ภาพถ่ายจากกล้องจุลทรรศน์แสงของเซรามิก BNT ที่เจือด้วย (a) 0mol%Zr (b) 5mol%Zr (c) 10mol%Zr (d) 15mol%Zr และ (e) 20mol%Zr ที่ถูกเผาชิ้นเตอร์ที่อุณหภูมิ 1050 °C



รูป 4.12 ภาพถ่ายจากกล้องจุลทรรศน์แสงขาวของเซรามิก BNT ที่เจือด้วย (a) 0mol%Zr (b) 5mol%Zr (c) 10mol%Zr (d) 15mol%Zr และ (e) 20mol%Zr ที่ถูกเผาชิ้นเตอร์ที่อุณหภูมิ 1100 °C

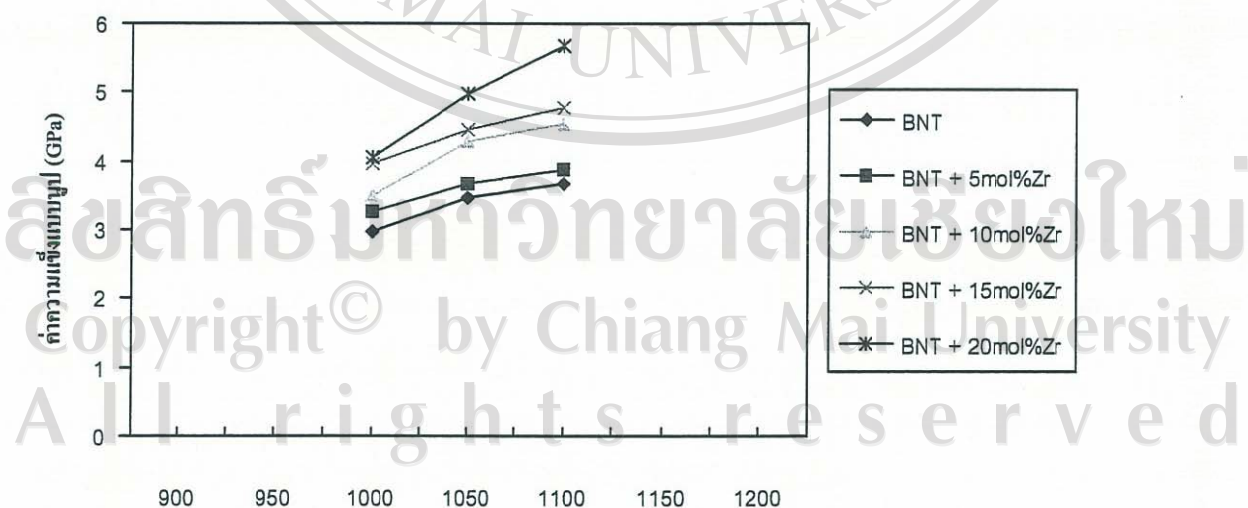
4.2.4.2 การทดสอบแบบนูป (Knoop Indentation)

การตรวจสอบค่าความแข็งแบบนูปของเซรามิก BNT และเซรามิก BNT ที่มีเซอร์โคเนียมผสมอยู่ตั้งแต่ 5mol%, 10mol%, 15mol% และ 20mol% มีผลการทดสอบที่ได้แสดงดังตาราง 4.4

ตาราง 4.4 แสดงค่าความแข็งแบบนูปของเซรามิก BNT และเซรามิก BNT ที่เจือด้วยเซอร์โคเนียม

Zr (mol%)	ค่าความแข็งแบบนูป (GPa)		
	1000 °C	1050 °C	1100 °C
0	2.97	3.46	3.66
5	3.27	3.66	3.86
10	3.50	4.29	4.54
15	3.97	4.47	4.77
20	4.05	4.98	5.69

จากการทดสอบในตาราง 4.4 สามารถนำไปเขียนกราฟแสดงความสัมพันธ์ระหว่างค่าความแข็งแบบนูปกับอุณหภูมิในการเผาเซินเตอร์ ดังแสดงในรูป 4.13



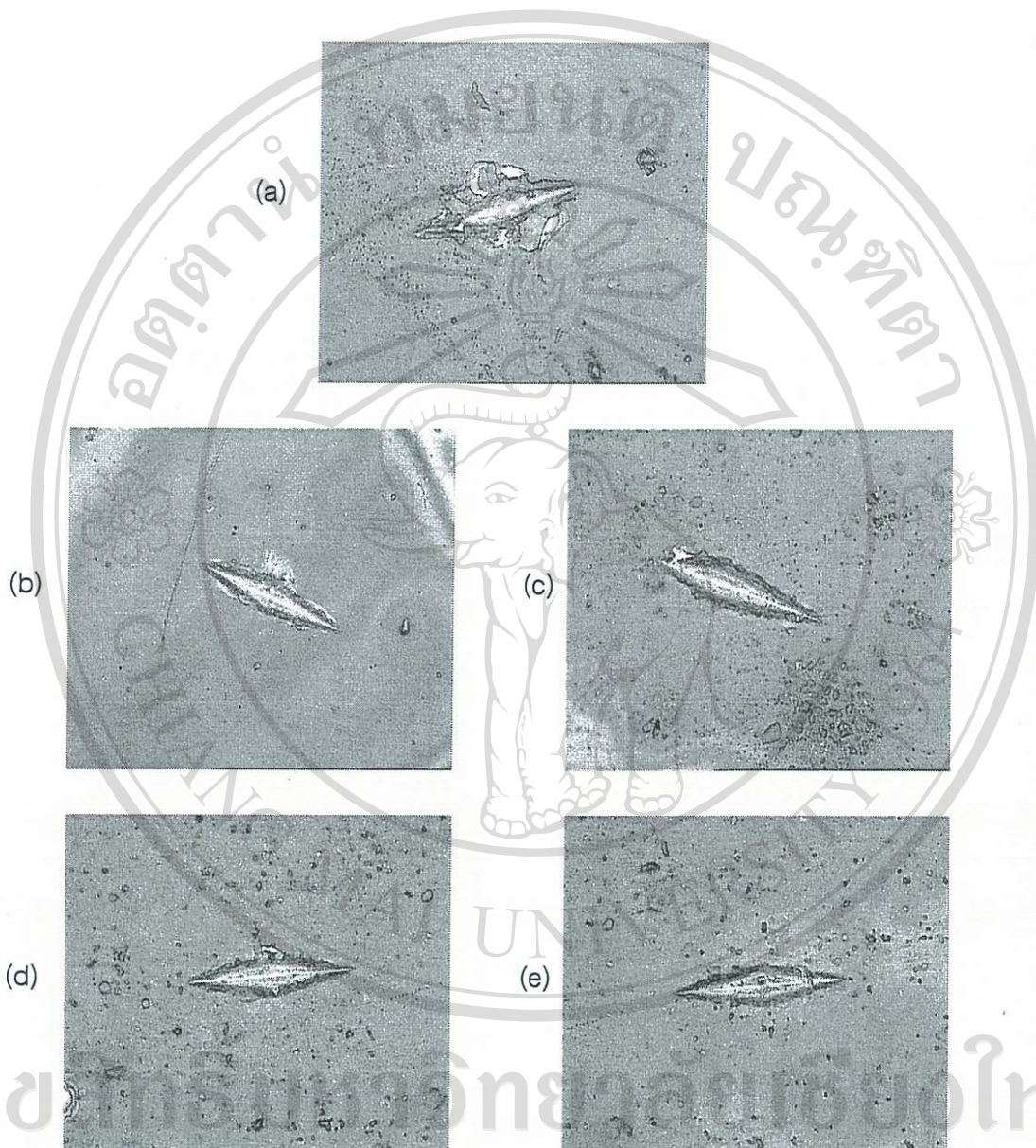
รูป 4.13 กราฟแสดงความสัมพันธ์ระหว่างค่าความแข็งแบบนูปกับอุณหภูมิในการเผาเซินเตอร์

เมื่อพิจารณารูป 4.13 ซึ่งเป็นกราฟแสดงความสัมพันธ์ระหว่างค่าความแข็งแบบนูบของเซรามิกกับอุณหภูมิในการเผาชินเตอร์ ($^{\circ}\text{C}$) พบร่วมกับความแข็งแบบนูบของเซรามิก BNT อยู่ในช่วง 2.97-3.66 GPa มีค่าความแข็งแบบนูบสูงสุดที่อุณหภูมิ $1100\ ^{\circ}\text{C}$ คือเท่ากับ 3.66 GPa และค่าความแข็งแบบนูบของเซรามิก BNT ที่เจือด้วยเซอร์โคเนียมอยู่ในช่วง 3.27-5.69 GPa มีค่าความแข็งแบบนูบสูงสุดที่อุณหภูมิ $1100\ ^{\circ}\text{C}$ คือเท่ากับ 5.69 GPa

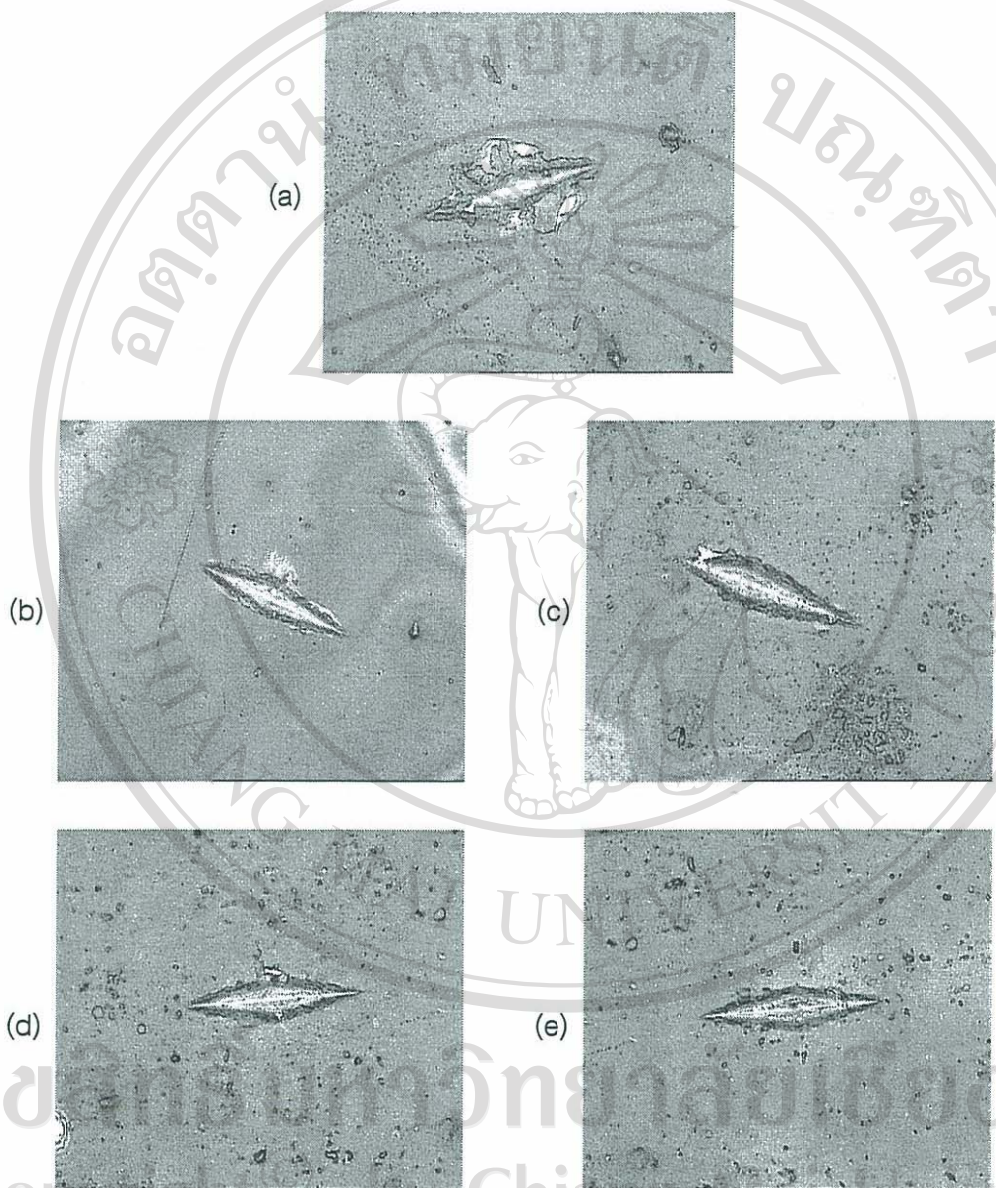
ดังนั้น เซรามิก BNT มีค่าความแข็งแบบนูบมากขึ้น เมื่อทำการเผาชินเตอร์ที่อุณหภูมิสูงขึ้นและเมื่อทำการเผาชินเตอร์ที่อุณหภูมิต่ำกวันของเซรามิก BNT ที่เจือด้วยเซอร์โคเนียมพบว่าถ้าบินานของเซอร์โคเนียมเพิ่มขึ้นค่าความแข็งแบบนูบปกติจะมีค่าน้ำหนักขึ้นด้วย และเมื่อทำการเปรียบเทียบค่าความแข็งแบบนูบระหว่างเซรามิก BNT กับเซรามิก BNT ที่เจือด้วยเซอร์โคเนียมพบว่าเซรามิกที่เจือด้วยเซอร์โคเนียมนั้นมีค่าความแข็งแบบนูบมากกว่าเซรามิก BNT ที่ทุกๆ อุณหภูมิชินเตอร์

จากแนวโน้มของค่าความแข็งที่แตกต่างกันระหว่างค่าความแข็งแบบนูบและแบบวิกเกอร์นั้น อาจจะเป็นเพราะว่า ความคลาดเคลื่อนของการวัดรอยกดของนูบจะมีน้อยกว่าแบบวิกเกอร์ทั้งนี้ เนื่องจากลักษณะของหัวกดที่แตกต่างกัน อีกอย่างหนึ่ง น้ำหนักในการกดที่ใช้กับการวัดแบบนูบปกติน้อยกว่าที่ใช้ในการวัดแบบวิกเกอร์ สำหรับรอยกดที่ได้จากการวัดแบบนูบนั้น ได้แสดงไว้ในรูป 4.14 ถึง 4.16

ลิขสิทธิ์มหาวิทยาลัยเชียงใหม่
Copyright[©] by Chiang Mai University
All rights reserved



รูป 4.14 ภาพถ่ายจากกล้องจุลทรรศน์แสงขาวของเซรามิก BNT ที่เจือด้วย (a) 0mol%Zr (b) 5mol%Zr (c) 10mol%Zr (d) 15mol%Zr และ (e) 20mol%Zr ที่ถูกเผาชิ่นเตอร์ที่อุณหภูมิ 1000 °C



รูป 4.15 ภาพถ่ายจากกล้องจุลทรรศน์แสงข้องเร童年 BNT ที่เจือด้วย (a) 0mol%Zr (b) 5mol%Zr (c) 10mol%Zr (d) 15mol%Zr และ (e) 20mol%Zr ที่ถูกเผาเซนเตอร์ที่อุณหภูมิ 1050 °C



รูป 4.16 ภาพถ่ายจากกล้องจุลทรรศน์แสงข้องเรืองมิค ของ BNT ที่เจือด้วย (a) 0mol%Zr (b) 5mol%Zr (c) 10mol%Zr (d) 15mol%Zr และ (e) 20mol%Zr ที่ถูกเผาเซ็นเตอร์ที่อุณหภูมิ 1100 °C

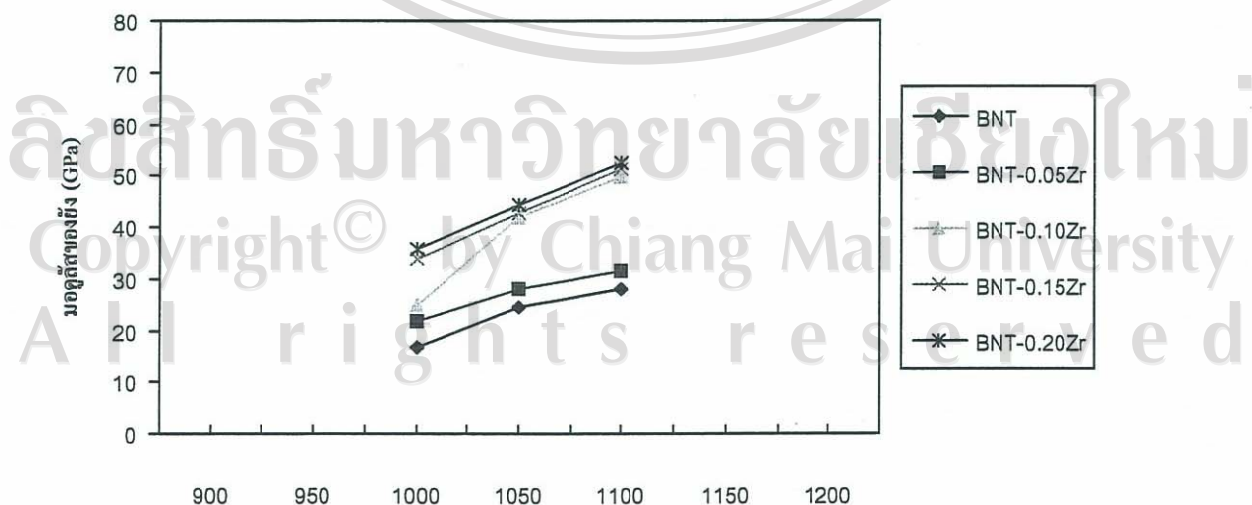
4.2.4.3 ผลการหาค่ามอดูลัสของยัง (Young's Modulus)

การหาค่ามอดูลัสของยังของเซรามิก BNT และเซรามิก BNT ที่มีเซอร์โคเนียมผสมอยู่ตั้งแต่ 5mol%, 10mol%, 15mol% และ 20mol% ตามลำดับ มาทำการทดสอบด้วยเครื่องวัดความแข็งทางอุลตราซาวด์แบบบูป ซึ่งใช้แรงในการกด 300 กรัม จึงสามารถนำไปคำนวณค่าบัญชีมอดูลัสของเซรามิกจากสมการ (2-11) ซึ่งผลการทดสอบที่ได้แสดงในตาราง 4.5

ตาราง 4.5 แสดงค่ามอดูลัสของยังของเซรามิก BNT และเซรามิก BNT ที่เจือด้วยเซอร์โคเนียม

Zr (mol%)	Young's Modulus (GPa)		
	1000 °C	1050 °C	1100 °C
0	16.71	24.33	27.92
5	21.64	27.92	31.58
10	25.00	41.97	49.83
15	33.71	42.89	51.33
20	35.74	44.29	52.27

จากผลการทดสอบในตาราง 4.5 สามารถนำไปเขียนกราฟแสดงความสัมพันธ์ระหว่างค่า มอดูลัสของยังกับอุณหภูมิในการเผาเซินเตอร์ ดังแสดงในรูป 4.17



รูป 4.17 กราฟแสดงความสัมพันธ์ระหว่างค่ามอดูลัสของยังกับอุณหภูมิในการเผาเซินเตอร์

เมื่อพิจารณาปุ่ป 4.17 ซึ่งเป็นกราฟแสดงความสัมพันธ์ระหว่างค่ามอดูลัสของยัง กับ อุณหภูมิในการเผาเซินเตอร์ ($^{\circ}\text{C}$) พบว่าเซรามิก BNT มีค่ามอดูลัสของยังอยู่ในช่วง 16.71-27.92 GPa มีค่ามอดูลัสของยังสูดที่อุณหภูมิ $1100\ ^{\circ}\text{C}$ คือเท่ากับ 27.92 GPa และเซรามิก BNT ที่เจือด้วยเซอร์โคเนียม มีค่ามอดูลัสของยังอยู่ในช่วง 21.64-52.27 GPa มีค่ามอดูลัสของยังสูดที่อุณหภูมิ $1100\ ^{\circ}\text{C}$ คือเท่ากับ 52.27 GPa

ดังนั้น เซรามิก BNT มีค่ามอดูลัสของยังมากขึ้น เมื่อทำการเผาเซินเตอร์ที่อุณหภูมิสูงขึ้น และเมื่อทำการเผาเซินเตอร์ที่อุณหภูมิเดียวกันของเซรามิก BNT ที่เจือด้วยเซอร์โคเนียม พบว่าถ้า ปริมาณของเซอร์โคเนียมเพิ่มขึ้นค่ามอดูลัสของยังก็จะมีค่ามากขึ้นด้วย และเมื่อทำการเบรียบ เทียบค่ามอดูลัสของยังระหว่างเซรามิก BNT กับเซรามิก BNT ที่เจือด้วยเซอร์โคเนียม พบว่า เซรามิกที่เจือด้วยเซอร์โคเนียมนั้นมีค่ามอดูลัสของยังมากกว่าเซรามิก BNT

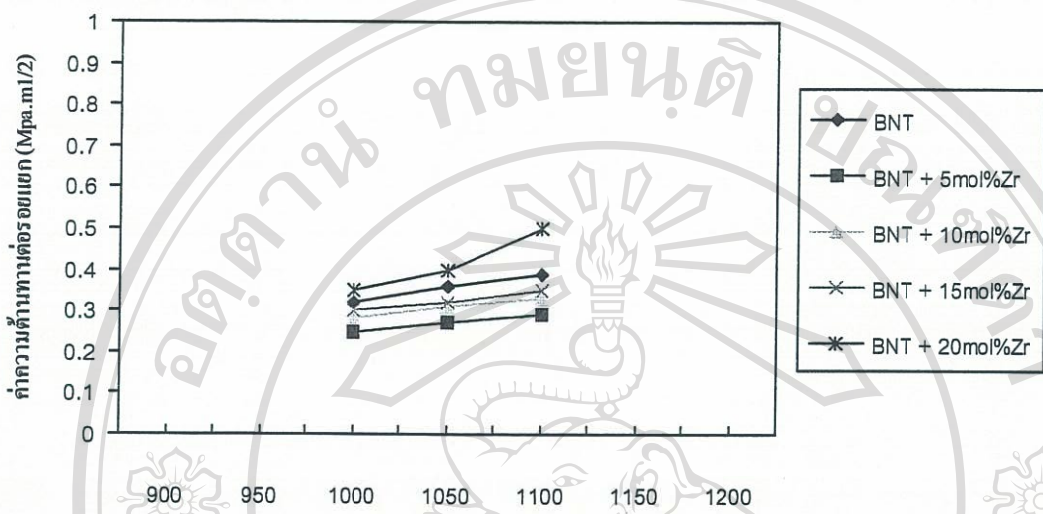
4.2.4.4 ผลการหาค่าความทนทานต่อรอยแยก (Fracture Toughness, K_{Ic})

การตรวจสอบค่าความทนทานต่อรอยแยกของเซรามิก BNT และเซรามิก BNT ที่มี เซอร์โคเนียมผสมอยู่ดังแต่ 5mol%, 10mol%, 15mol% และ 20mol% ตามลำดับ มาทำการทดสอบด้วยเครื่องวัดความแข็งทางจุลภาคโดยหัวดับเบลวิกเกอร์ ซึ่งใช้แรงในการกด 1,000 กรัม พบว่า ลักษณะของรอยแตกนั้นมีรอยแตก (crack) ออกมายากมุนทั้ง 4 ด้านของรอยกด (รูป 4.10 ถึง 4.12) จึงสามารถนำไปคำนวณค่าความทนทานต่อรอยแยกของเซรามิกจากสมการ (2-9) ซึ่งผลการทดสอบที่ได้แสดงในตาราง 4.6

ตาราง 4.6 แสดงค่าความทนทานต่อรอยแยกของเซรามิก BNT และเซรามิก BNT ที่เจือด้วย เซอร์โคเนียม

Zr (mol%)	ค่าความทนทานต่อรอยแยก (MPa.m $^{1/2}$)		
	1000 °C	1050 °C	1100 °C
0	0.32	0.36	0.39
5	0.25	0.27	0.29
10	0.28	0.31	0.33
15	0.30	0.32	0.35
20	0.35	0.40	0.44

จากผลการทดสอบในตาราง 4.6 สามารถนำໄไปเขียนกราฟแสดงความสัมพันธ์ระหว่างค่าความทันทานต่อรอยแยกกับอุณหภูมิในการเผาชินเตอร์ ดังแสดงในรูป 4.18



รูป 4.18 กราฟแสดงความสัมพันธ์ระหว่างค่าความทันทานต่อรอยแยกกับอุณหภูมิในการเผาชินเตอร์

เมื่อพิจารณารูป 4.18 ซึ่งเป็นกราฟแสดงความสัมพันธ์ระหว่างค่าความทันทานต่อรอยแยกกับอุณหภูมิในการเผาชินเตอร์ ($^{\circ}\text{C}$) พบว่าเซรามิก BNT มีค่าความทันทานต่อรอยแยกอยู่ในช่วง $0.32\text{-}0.39 \text{ MPa.m}^{1/2}$ มีค่าความทันทานต่อรอยแยกสูงสุดที่อุณหภูมิ $1100 \text{ }^{\circ}\text{C}$ คือเท่ากับ $0.39 \text{ MPa.m}^{1/2}$ และเซรามิก BNT ที่เจือด้วยเซอร์โคเนียม มีค่าความทันทานต่อรอยแยกอยู่ในช่วง $0.35\text{-}0.50 \text{ MPa.m}^{1/2}$ มีค่าความทันทานต่อรอยแยกสูงสุดที่อุณหภูมิ $1100 \text{ }^{\circ}\text{C}$ คือเท่ากับ $0.50 \text{ MPa.m}^{1/2}$ ซึ่งค่าความทันทานต่อรอยแยกจะเบร往事ต์กับค่ามอคูลัสของยังและจะแปรผกผันกับค่าความยาวของรอยแตกที่เกิดจากหักด้วยแบบบิกเกอร์ โดยมีความสัมพันธ์ดังสมการ (2-9)

ดังนั้น เซรามิก BNT มีค่าความทันทานต่อรอยแยกมากขึ้น เมื่อทำการเผาชินเตอร์ ที่อุณหภูมิสูงขึ้นและเมื่อทำการเผาชินเตอร์ที่อุณหภูมิเดียวกันของเซรามิก BNT ที่เจือด้วยเซอร์โคเนียม พบว่าถ้าปริมาณของเซอร์โคเนียมเพิ่มขึ้นค่าความทันทานต่อรอยแยกจะมีค่ามากขึ้นด้วย และเมื่อทำการเบรียงเบี้ยบค่าความทันทานต่อรอยแยกระหว่างเซรามิก BNT กับเซรามิก BNT ที่เจือด้วยเซอร์โคเนียม พบว่าเซรามิก BNT + 20mol%Zr มีค่าความทันทานต่อรอยแยกมากกว่าเซรามิก BNT

4.2.5 ผลการตรวจสอบสมบัติไดอิเล็คตริกของเซรามิก

เมื่อนำสารเซรามิก BNT และเซรามิก BNT ที่มี Zr ผสมอยู่ตั้งแต่ 5mol%, 10mol%, 15mol% และ 20mol% ที่เตรียมได้มาศึกษาถึงการเปลี่ยนแปลงสมบัติไดอิเล็คตริก กับอุณหภูมิที่ความต้องต่างๆ โดยใช้เครื่องมือและอุปกรณ์ดังที่ได้กล่าวในบทที่ 3 ได้ผลการทดลอง ดังรูป 4.19 - 4.21 นอกจากนี้ ค่าคงที่ไดอิเล็คตริกและค่าสูญเสียไดอิเล็คตริกที่อุณหภูมิห้องและที่อุณหภูมิ 320 °C ได้ถูกใส่ไว้ในตาราง 4.7 และ 4.8 เพื่อการเปรียบเทียบ

จากรูปจะเห็นว่าที่ทุกอุณหภูมิชินเตอร์ กราฟของค่าไดอิเล็คตริกของ BNT จะมีลักษณะคล้ายคลึงกันนั่นคือจะมีพีคอยู่ตรงช่วงอุณหภูมิครึ่ง ส่วนรับค่าคงที่ไดอิเล็คตริกที่อุณหภูมิห้อง จะมีค่าใกล้เคียงกันคือประมาณ 600 แต่ที่อุณหภูมิ 320 °C แนวโน้มของค่าไดอิเล็คตริกจะมีค่าลดลงเล็กน้อยเมื่ออุณหภูมิชินเตอร์สูงขึ้น

เมื่อกราฟของแต่ละอุณหภูมิชินเตอร์ จะพบว่าการเจอด้วยเซอร์โคเนียมทำให้ความต้านทานระหว่างค่าไดอิเล็คตริกกับอุณหภูมิแตกต่างไปจากชิ้นงาน BNT โดยเฉพาะที่อุณหภูมิชินเตอร์ 1000 และ 1050 °C

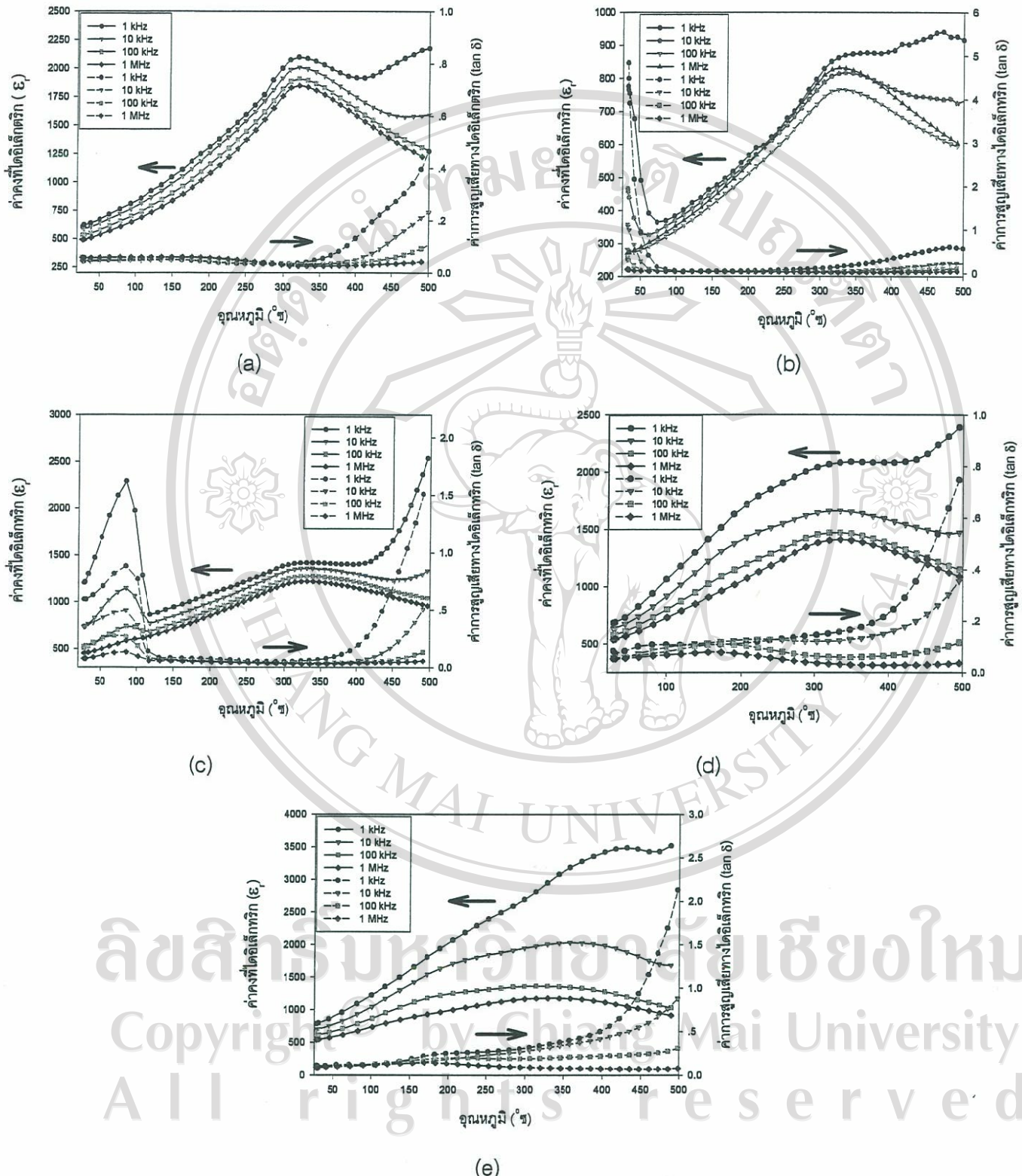
ที่อุณหภูมิ 1000 °C ในชิ้นงานที่มี 5mol%Zr พบว่าค่าไดอิเล็คตริกมีค่าสูงกว่าของ BNT จากนั้นค่าคงคลงและสูงขึ้นเป็นพีคที่อุณหภูมิครึ่ง การเกิดขึ้นของพีคนี้จะเกิดจากการเปลี่ยนโครงสร้างภายในวัสดุซึ่งอาจจะเป็นการเปลี่ยนโครงสร้างผลึกหรือการเปลี่ยนสภาพทางไฟฟ้าก็ได้ เมื่อเพิ่มปริมาณของเซอร์โคเนียมเป็น 10mol%Zr จะเห็นว่าค่าไดอิเล็คตริกที่มีค่าสูงนั้น ขยายออกมาเป็นพีคที่อุณหภูมิประมาณ 85 °C อาจจะเป็นไปได้ว่าปริมาณของไอออนเซอร์โคเนียมที่เพิ่มขึ้นทำให้การเปลี่ยนโครงสร้างผลึกหรือสภาพทางไฟฟ้าเกิดได้ยากขึ้น ในกรณีที่ปริมาณของเซอร์โคเนียมสูงกว่า 10mol%Zr ดูเหมือนว่าพีคที่อุณหภูมิต้านนี้จะยังขยายไปทางขวามือเข้าไปใกล้อุณหภูมิครึ่งมากขึ้น ทำให้ลักษณะโดยรวมของกราฟมีลักษณะที่กว้างและค่าคงที่ไดอิเล็คตริกที่อุณหภูมิสูงมีค่าสูงขึ้นหรือใกล้เคียงกับของ BNT ส่วนค่าสูญเสียไดอิเล็คตริกนั้น จะเปรียบันตามขนาดของค่าคงที่ไดอิเล็คตริกซึ่งถ้าเทียบกับ BNT ชิ้นงานที่มีไอออนเซอร์โคเนียมยังมีค่าที่ค่อนข้างสูง

ที่อุณหภูมิ 1050 °C ในชิ้นงานที่มี 5mol%Zr จะเห็นว่าเริ่มน้ำพีคที่ช่วงอุณหภูมิประมาณ 70-75 °C คล้ายคลึงกับที่อุณหภูมิชินเตอร์ 1000 °C แต่เมื่อปริมาณของไอออนเซอร์โคเนียมสูงกว่า 5mol%Zr พีคดังกล่าวจะหายไป แต่ทำให้ลักษณะของกราฟโดยรวมมีลักษณะที่กว้างขึ้น เช่นเดียวกัน จะเห็นว่าการเปลี่ยนอุณหภูมิชินเตอร์มีผลต่อค่าไดอิเล็คตริกของเซรามิก BNT ที่เจอด้วยเซอร์โคเนียม

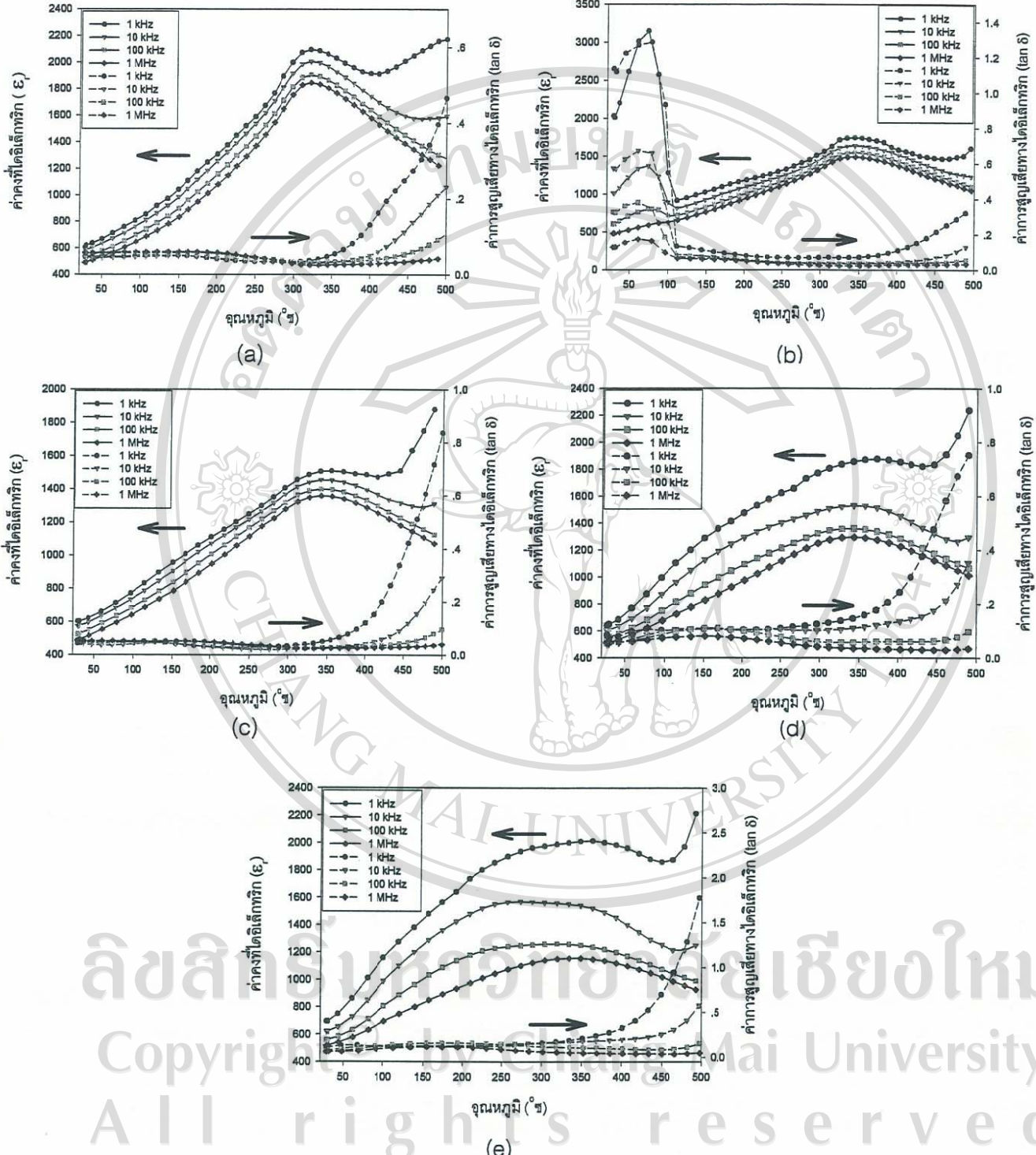
ที่อุณหภูมิชินเตอร์ 1100 °C ที่ 5mol%Zr จะพบเพียงแต่พีคเด็กๆที่อยู่ภายใต้กราฟรวม และเมื่อเพิ่มปริมาณของไอโอนเซอร์โคเนียม พบว่าจะทำให้ลักษณะของกราฟโดยรวมของค่าคงที่ไดอิเล็คตริกมีความกว้างเพิ่มขึ้นซึ่งกัน

จากผลการทดลองนี้ ถึงแม่ว่าจะยังบอกไม่ได้แน่ชัดว่า พีคที่อุณหภูมิต่ำเกิดขึ้นเนื่องจากสาเหตุใด แต่การเปลี่ยนโครงสร้างผลึกและการเปลี่ยนสภาพทางไฟฟ้าอาจจะมีส่วนอยู่มาก นอกจากนี้ ผลของอุณหภูมิชินเตอร์ที่มีต่อลักษณะของกราฟค่าคงที่ไดอิเล็คตริกกับอุณหภูมิ ยังต้องมีการศึกษาต่อไป ทั้งในแง่ของการวัดไฮสเตอริสสูลป (Hysteresis loop) เพื่อดูสมบัติและสภาพทางไฟฟ้าของชิ้นงานว่ามีสภาพเป็นแบบเฟริโรอิเล็คตริกหรือเอนไทเฟริโรอิเล็คตริก นอกจากนี้ หากสามารถที่จะวัดสมบัติตั้งกล่าวพร้อมกับการศึกษาโครงสร้างผลึกที่อุณหภูมิสูงแล้ว น่าจะนำไปสู่ความเข้าใจในตัววัสดุ BNT ที่เจือด้วยเซอร์โคเนียมมากยิ่งขึ้น

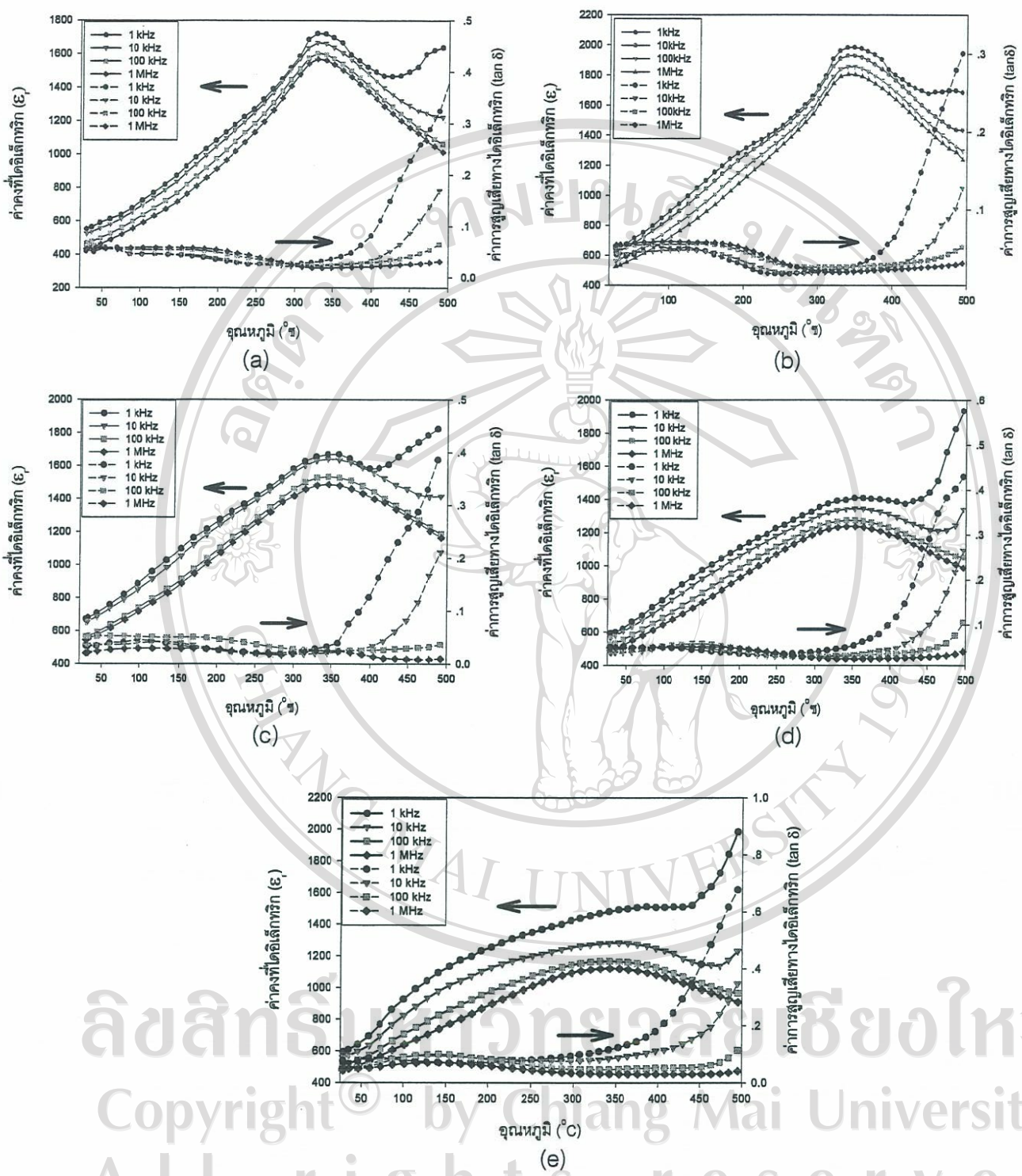
ลิขสิทธิ์มหาวิทยาลัยเชียงใหม่
Copyright © by Chiang Mai University
All rights reserved



รูป 4.19 กราฟค่าคงที่ไดโอลีคตทริกและค่าสูญเสียไดโอลีคตทริกเทียบกับอุณหภูมิของเซรามิก BNT เจือด้วย Zr (a) 0 mol% (b) 5 mol% (c) 10 mol% (d) 15 mol% (e) 20 mol% เผาที่ 1000 °C



รูป 4.20 กราฟค่าคงที่ไดอิเล็กตริกและค่าสูญเสียไดอิเล็กตริกเทียบกับอุณหภูมิของเซรามิก BNT เจือด้วย Zr (a) 0 mol% (b) 5 mol% (c) 10 mol% (d) 15 mol% (e) 20 mol% เมื่อ 1050°C



รูป 4.21 กราฟค่าคงที่ไดอิเล็คตрактиกและค่าสูญเสียไดอิเล็คตрактиกเทียบกับอุณหภูมิของเซรามิก BNT เคลือด้วย Zr (a) 0 mol% (b) 5 mol% (c) 10 mol% (d) 15 mol% (e) 20 mol% เม็ด 1100 $^{\circ}\text{C}$